



UNIVERSIDAD DE SEVILLA



601280236

UNIVERSIDAD DE SEVILLA
Facultad de Matemáticas
Biblioteca

o. 127382

i. 31210913

-Bib.-

C

TAP/010

EJECUTADO

VARIANTE DEL MODELO M-49.1, DE

IGUAL FORMA Y DIMENSIONES, SIEN-

DO EL DODECAEDRO ESTRELLADO DE CA-

RAS VACIADAS, Y EL DODECAEDRO RE-

GULAR CONVEXO DEL NÚCLEO, DE CARAS

MACIZAS

Radio de la esfera que pasa por los vértices:

$$r' = 110 \text{ m m.}$$

ENUNCIADO:

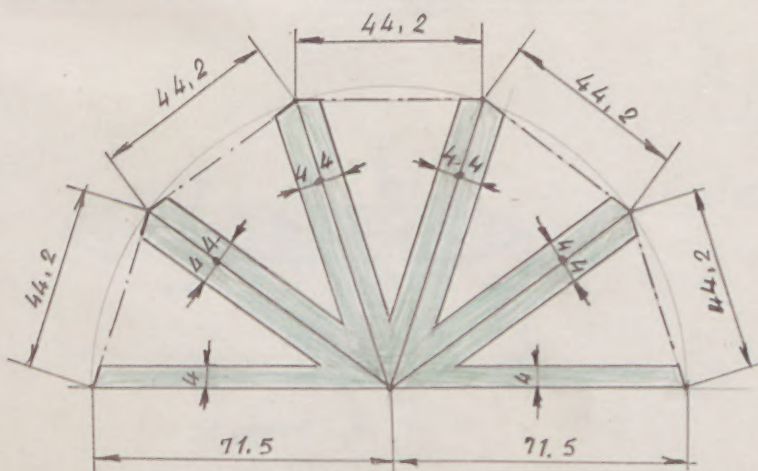
Construir el modelo corpóreo de la variante del modelo M-49.1, de igual forma y dimensiones, siendo el dodecaedro estrellado, de caras vaciadas, y el dodecaedro regular convexo del núcleo, de caras macizas.

Las dimensiones de los poliedros componentes de este modelo, son iguales a las del M-49.1, siendo necesarias para su construcción las siguientes piezas.

A) DODECAEDRO REGULAR ESTRELLADO DE CARAS VACIADAS.

PIEZA N° 1 DESARROLLO DE LAS PIRÁMIDES PENTAGONALES RECTAS,
CUYAS CARAS LATERALES LIMITAN AL DODECAEDRO
ESTRELLADO. 20 unidades

La forma y dimensiones se detallan en la figura 1



PIEZA N° 1 20 (u)

Figura 1

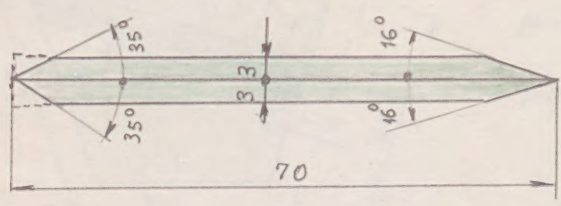
Figura 1

PIEZA N° 2

UNIONES ARISTAS

60 unidades

La forma y dimensiones se detallan en la figura 2



PIEZA N° 2

60 (u)

Figura 2

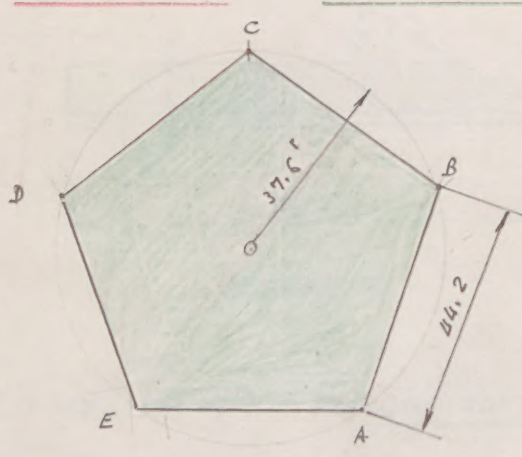
Figura 2

B) DODECAEDRO REGULAR CONVEXO DEL NÚCLEO, CON SUS CARAS MACIZAS.

PIEZA N° 3

CARAS SUPERFICIALES

12 unidades



Los pentágonos regulares que se detallan en la figura 3

PIEZA N° 3

12 (u)

Figura 3

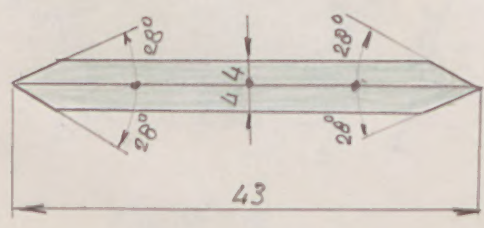
Figura 3

PIEZA N° 4

UNIONES A DISTAS

30 unidades

La forma y dimensiones se detallan en la figura 4



PIEZA N° 4

30 (u)

Figura 4

Figura 4

PIEZA N° 5 REFUERZO NORMAL EN CARAS LATERALES 12 unidades

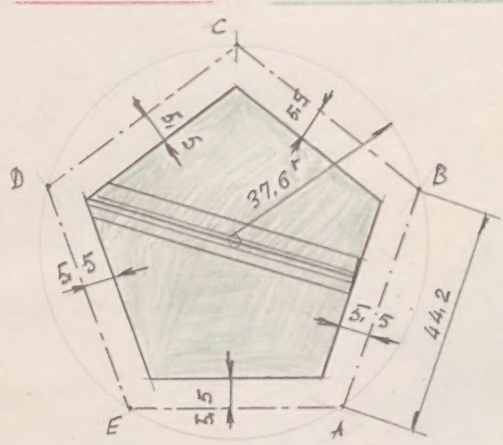


Figura 5

La forma y dimensiones se representan en la figura 5, y se deducen de las del pentágono regular convexo ABCDE, de la figura 3

PIEZA N° 5 12 (u)

Figura 5

PIEZA N° 6 REFUERZO TRANSVERSAL EN CARAS LATERALES 24 unidades (simétricas dos a dos)

La forma y dimensiones se detallan en la figura 6, y en colocación en la figura 5

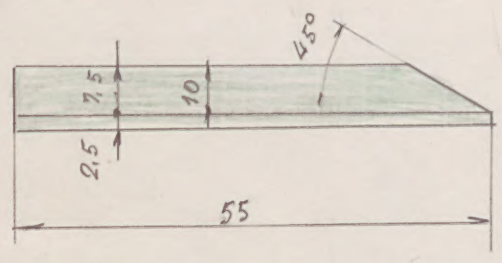


Figura 6

PIEZA N° 6 24 (u)
simétricas 2 a 2

Figura 6

PIEZA N° 7 FORRO COLOREADO EN CARAS LATERALES 12 unidades

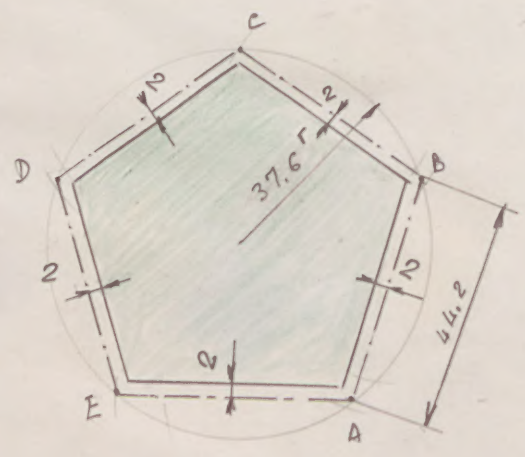


Figura 7

La forma y dimensiones se representan en la figura 7, y se deducen de las del pentágono regular convexo ABCDE, de la figura 3

PIEZA N° 7 12 (u)

Figura 7

estrellado de cías pentagonales estrelladas
 doce vértices de ángulos pentagónicos convexos.
 270: $\frac{1}{2}$ de la esfera circunscrita = $q_{12} = 110 \text{ mm}$



EJEMPLO

VARIANTE DEL MODELO CORPÓREO M-49,3

DE IGUAL FORMA, PERO DE MENOR RA-

DIO EL DE SU ESFERA CIRCUNSCRITA. -

Radio de la esfera que pasa por los vértices
exteriores:

$$r' = 76,1 \text{ mm.}$$

ENUNCIADO:

Construir el modelo corpóreo de la Variante del modelo M-49.3, de igual forma y menor tamaño, siendo el dodecaedro estrellado de caras vaciadas, y el dodecaedro regular convexo del núcleo, de caras macizas.

Este modelo puede considerarse como una variante del modelo M-49.3, ya que es de igual forma, pero es de menor longitud el radio " r_{ec}^{12E} " de su esfera circunscrita.

Para obtener el espesor del mismo, aplicaremos el estudio analítico hecho para el modelo M-49.1, determinando previamente el coeficiente de reducción $k = 76.1 : 110$, o relación entre los radios correspondientes de sus respectivas esferas circunscritas.

DATO ÚNICO DEL MODELO ESTUDIADO:

$$r_{ec}^{12E} = 76.1 \text{ mm}$$

COEFICIENTE DE REDUCCIÓN

$$k = \frac{76.1}{110} = 0.69 \widehat{18}$$

A continuación exponemos en diversas tablas, las longitudes asociadas en las figuras del modelo M-49.3, y de los valores corres-



pendientes a aplicar en la construcción de este nuevo modelo M-49,4, en el que son necesarias las siguientes piezas:

A) DODECAEDRO REGULAR ESTRELLADO DE CARAS VACIADAS

PIEZA N°1 DESARROLLO DE LAS PIRÁMIDES PENTAGONALES RECTAS,
CUYAS CARAS LATERALES LIMITAN EL DODECAEDRO ES-
TRELLADO. 20 unidades

La figura 1, ha de construirse con las siguientes cotas modificadas.

<u>FIGURA 1</u>	Longitudes m m	Cotas modificadas m m
<u>PIEZA N° 1</u>	71,5	49,5
20(u)	44,2	30,6
	4	3

PIEZA N° 2 UNIONES ARISTAS 60 unidades

La figura 2, ha de construirse con las siguientes cotas modificadas.

<u>FIGURA 2</u>	Longitudes m m	Cotas modificadas m m
<u>PIEZA N° 2</u>	70	70
60(u)	3	2,5
	70°	70°
	16°	16°

B) DODECAEDRO REGULAR CONVEXO DEL NÚCLEO, CON SUS CARAS MACIZAS

PIEZA N° 3CARAS SUPERFICIALES12 unidades

La figura 3, ha de construirse con las siguientes cotas modificadas.

<u>FIGURA 3</u>	Longitudes m m	Cotas modificadas m m
<u>PIEZA N° 3</u>	44,2	30,6
12 (u)	37,6	26

PIEZA N° 4UNIONES A DISTAS30 unidades

La figura 4, ha de construirse con las siguientes cotas modificadas.

<u>FIGURA 4</u>	Longitudes m m	Cotas modificadas m m
<u>PIEZA N° 4</u>	43	29
30 (u)	4	3
	28°	28°

PIEZA N° 5 REFUERZO NORMAL EN CARAS LATERALES 12 unidades

La figura 5, ha de construirse con las siguientes cotas modificadas.

<u>FIGURA 5</u>	Longitudes m m	Cotas modificadas m m
<u>PIEZA N° 5</u> 12 (u)	44.2	30.6
	37.6	26
	5.5	4

PIEZA N° 6 REFUERZO TRANSVERSAL EN CARAS LATERALES

La figura 6, ha de construirse con las siguientes cotas modificadas 24 unidades (simétricas 2 a 2)

<u>FIGURA 6</u>	Longitudes m m	Cotas modificadas m m
<u>PIEZA N° 6</u> 24 (u)	57	5.7
	2.5	2.5
	7.5	7.5
	10	10
	45°	45°

PIEZA N° 7 FORRO COLOREADO EN CARAS LATERALES 12 unidades

La figura 7, ha de construirse con las siguientes cotas modificadas.

<u>FIGURA 7</u>	Longitudes m m	Cotas modificadas m m
<u>PIEZA N° 7</u> 12 (u)	44.2	30.6
	37.6	26
	2	2

UNE A 4-210 x 297

MODELO CORPÓREO DEL DODECAEDRO REGULAR ESTRELLADO, CÓNCAVO, DE CARAS MACIZAS, DE TERCERA ESPECIE, FORMADO POR DOCE PENTÁGONOS REGULARES CONVEXOS, Y DOCE VÉRTICES DE ÁNGULOS PENTAÉDRICOS DE SEGUNDA ESPECIE, CONCURRIENDO EN CADA UNO DE DICHS ÁNGULOS CINCO CARAS DEL MISMO.

Radio de la esfera que pasa por los vértices:

$$r' = 110 \text{ m m.}$$

ENUNCIADO:

Construir el modelo corpóreo del dodecaedro regular estrellado, cóncavo, de caras macizas, de tercera especie, formado por doce pentágonos regulares convexos, y doce vértices de ángulos pentaédricos de segunda especie, concurrendo en cada cara de dichos ángulos, cinco caras del mismo.

Este dodecaedro regular estrellado, puede obtenerse de los poliedros regulares convexos, en las dos formas diferentes que a continuación enunciamos:

- A) Del icosaedro regular convexo, uniendo sus vértices convenientemente.
- B) Del dodecaedro regular convexo, prolongando sus aristas convenientemente.

Estudiaremos a continuación sucesivamente cada forma de generación:

- A 1) Obtención del dodecaedro regular estrellado, por unión de los vértices de un icosaedro regular convexo.

Supongamos un icosaedro regular convexo, que llamaremos "generador", de arista " a_{20} ", y tomamos cada uno de sus vértices

tices con los correspondientes a los cinco extremos de las aristas concurrentes en el vértice diametralmente opuesto. Estas rectas, limitadas por los vértices, serán pues "diagonales" del icosaedro generado. Por lo cual, por cada uno de los vértices de dicho icosaedro generado, pasarán cinco diagonales, formándose un total de $\frac{12 \times 5}{2} = 30$ diagonales distintas.

A su vez, estas diagonales, al cortarse mutuamente, formarán doce pentágonos regulares estrellados, planos, de segunda especie. Los pentágonos regulares convexos, generadores de los anteriores estrellados, e inscritos en una misma circunferencia, son las caras del poliedro estrellado estudiado.

ESTUDIO GEOMÉTRICO-ANALÍTICO DE UNA CARA DEL DODECAEDRO REGULAR ESTRELLADO, ESTUDIADO EN ESTE EJERCICIO.

De lo expuesto anteriormente se deduce que dicha cara es un pentágono regular convexo ABCDE (fig. 1), cuyo lado " l_5 " es igual a la arista a_{20} del icosaedro generado ($l_5 = a_{20}$)

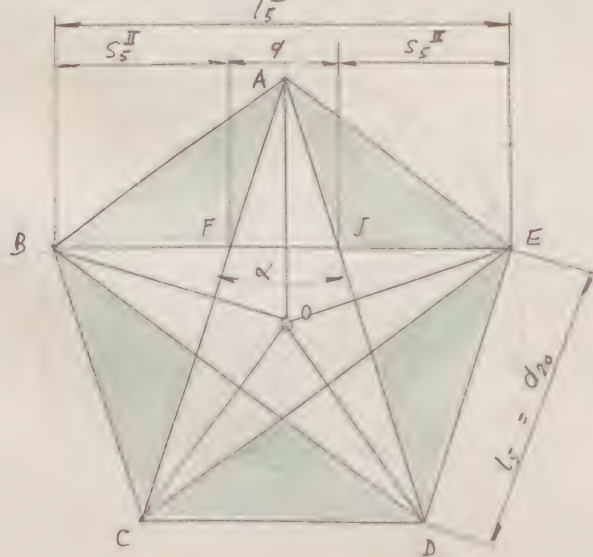


Figura 1

El pentágono regular estrellado de segunda especie inscrito en el anterior, se obtiene como intersección de cada cara ABCDE con las cuatro restantes que concurren en el vértice "O" de la misma.

Este pentágono regular es-

trellado de segunda especie, reduce la superficie del pentágono regular convexo ABCDE de cada cara, que queda limitada a los cinco triángulos isósceles sombreados en la figura, siendo estos cinco triángulos la cara aparente de cada cara.

En el estudio geométrico-analítico que hicimos en el modelo M-49.1, tomamos como base para su desarrollo, la figura 1 (b3), que es de igual forma y dimensiones que la de la figura 1 de este ejercicio, por lo que podemos aplicar las mismas fórmulas deducidas en aquél, a las de éste.

Por consiguiente, tendremos

$$\alpha_{20} = 2 \sqrt{\frac{5 - \sqrt{5}}{10}} r_{ec}^{20} \quad (1)$$

fórmula igual a la (2) del ejercicio M-49.1, que nos permite calcular la arista α_{20} en función del radio r_{ec}^{20} de la esfera circunscrita al poliedro estudiado.

También tendremos que la magnitud S_s^I , igual al lado igual del triángulo isósceles de la parte aparente de la cara ABCDE, es

$$S_s^I = 2 \sqrt{\frac{5 - 2\sqrt{5}}{5}} r_{ec}^{20} \quad (2)$$

fórmula igual a la (3) del ejercicio M-49.1, que nos permite calcular la longitud del lado igual del triángulo isósceles AJE, que en número total de sesenta, forman la superficie exterior del poliedro estrellado estudiado.

4.2) Obtención del dodecaedro regular estrellado, por prolongación de las aristas de un dodecaedro regular convexo.

En efecto, los segmentos "q" (fig. 1) de las doce caras aparentes del poliedro estudiado, forman en cada una de ellas un pentágono regular convexo, y el conjunto de todas ellas, un dodecaedro regular convexo de arista $a_{12} = q$, que podemos denominar como "núcleo" del dodecaedro regular estrellado, estudiado en este ejercicio.

Así pues, prolongando las cinco aristas de cada cara de un dodecaedro regular convexo, se formarían doce pentágonos regulares estrellados de segunda especie, análogos a los de la figura 1, que permiten obtener los pentágonos regulares convexos, caras del poliedro estudiado.

La longitud de la arista a_{12} del dodecaedro núcleo será

$$a_{12} = \sqrt{\frac{2 \times (25 - 11\sqrt{5})}{5}} r_{ec}^{20} \quad (3)$$

fórmula igual a la (4) y (5) del ejercicio M-49.1, que nos permite calcular a_{12} en función del radio r_{ec}^{20} de la esfera circunscrita al poliedro estudiado.

Terminado el estudio analítico de este poliedro estrellado, procedemos a su construcción, para lo cual son necesarias las siguientes piezas:

De lo expuesto anteriormente se deduce que la superficie aparente de las doce caras de los pentágonos regulares convexos de este poliedro estrellado, está formada en cada una de ellas por cinco triángulos isósceles AJE , etc. (fig. 1) en el que el lado de la base \overline{AE} , es igual a la arista a_{20} del icosaedro generador, y los lados iguales \overline{AJ} y \overline{JE} son iguales al segmento S_5^{II} del pentágono regular estrellado de vértices $ABCDE$. Las fórmulas de las longitudes de estos segmentos, (1) y (2) nos permiten obtener sus longitudes para $r = 110$, y son las siguientes:

$$a_{20} = 2 \sqrt{\frac{5 - \sqrt{5}}{10}} \times 110 \approx 1,051462224... \times 110 \approx 115,7 \text{ mm}$$

$$S_5^{\text{II}} = 2 \sqrt{\frac{5 - 2\sqrt{5}}{5}} \times 110 \approx 0,649839393... \times 110 \approx 71,5 \text{ mm}$$

Con cuyos valores puede dibujarse dicha cara, representada en la figura. 2 por el triángulo ABC , debidamente acotado.

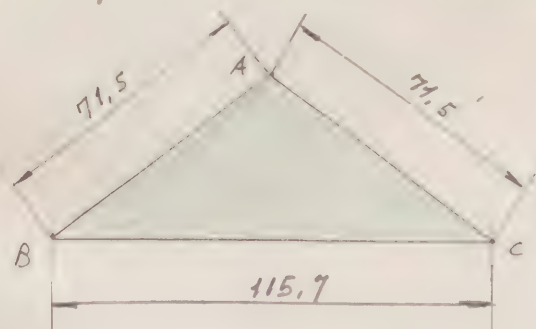


Figura 2

El poliedro estudiado, se compone pues de $5 \times 12 = 60$ caras iguales ABC , y cada tres de ellas forman una pirámide regular

recta, cóncava, cuya base es una cara del icosaedro generador, estando su vértice en el interior del mencionado icosaedro.

Para simplificar la construcción, es conveniente construir previamente estas veinte pirámides, y acoplarlas posteriormente por

las aristas de sus bases de forma que sus vértices se dirijan hacia el centro del icosaedro generador.

PIEZA N° 1 DESARROLLO DE LAS PIRÁMIDES REGULARES TRIANGULARES,
CÓNCAVAS Y RECTAS, CUYAS CARAS LATERALES LIMITAN EL
DODECAEDRO ESTRELLADO 20 unidades

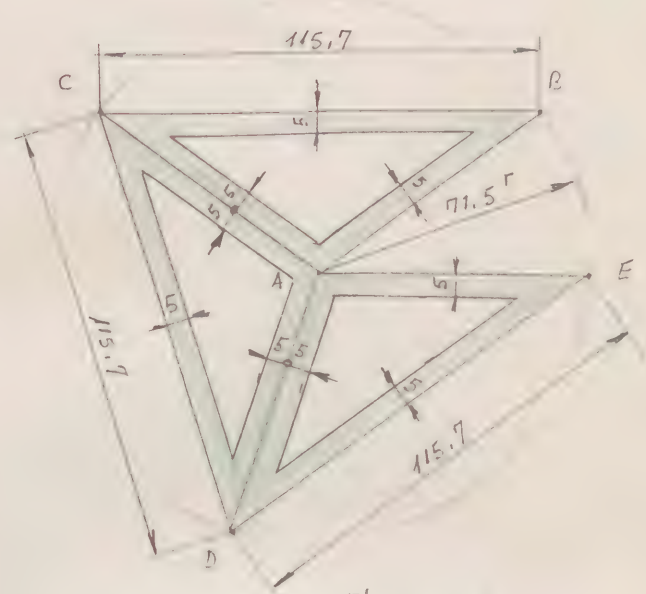


Figura 3

La forma y dimensiones se detallan en la figura 3, y se obtiene por acoplamiento de tres caras iguales de la fig. 2

PIEZA N° 1 20 (u)

Figura 3

PIEZA N° 2 FORRO MACIZO DE LAS CARAS LATERALES
60 unidades

La forma y dimensiones son las del triángulo ABC de la figura 2 y se detallan en la figura 4

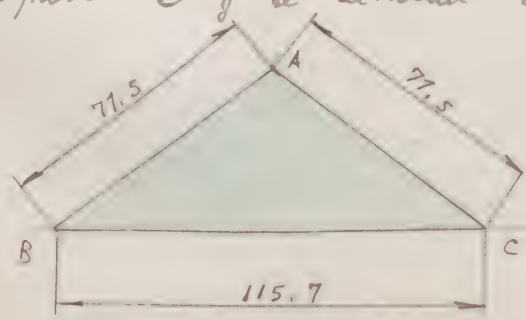


Figura 4

PIEZA N° 2 60 (u)

Figura 4

PIEZA N° 3 UNIONES ARISTAS EN BASES PIRÁMIDES TRIANGULARES

30 unidades

La forma y dimensiones se detallan en la figura 5

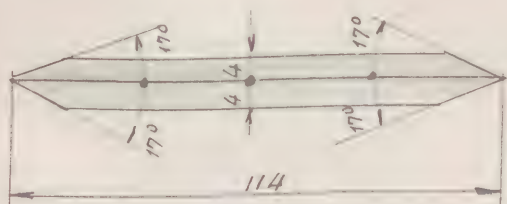


Figura 5

PIEZA N° 3 30 (u)

Figura 5

PIEZA N° 4 UNIONES ARISTAS EN CARAS LATERALES PIRÁMIDES TRIANGULARES

60 unidades

La forma y dimensiones se detallan en la figura 6

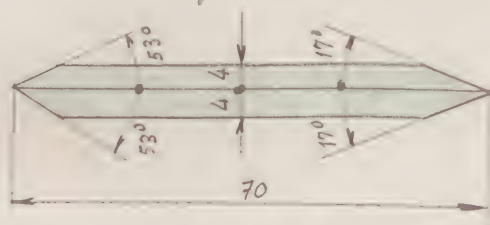


Figura 6

PIEZA N° 4 60 (u)

Figura 6

PIEZA N° 5 REFUERZO DE LAS CARAS LATERALES

60 unidades

La forma y dimensiones se deducen de las del Triángulo ABC de la figura 4, y se detallan en la figura 7.

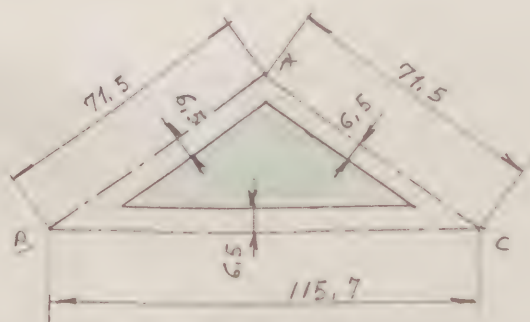


Figura 7

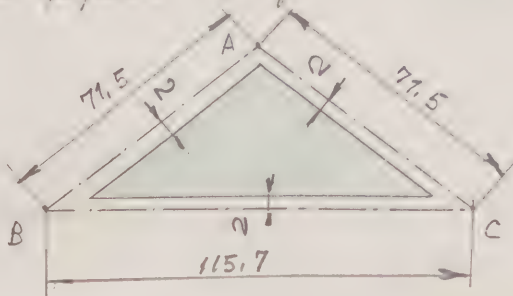
PIEZA N° 5 60 (u)

Figura 7

PIEZA N° 6 FORDO COLOREADO EN CARAS LATERALES

60 unidades

La forma y dimensiones se deducen de las del triángulo ABC de la figura 4, y se detallan en la figura 8



PIEZA N° 6 60 (u)

Figura 8

Figura 8

ESPECIFICADO

VARIANTE DEL MODELO CORPÓREO M-50.1,
DE IGUAL FORMA Y DIMENSIONES, SIENDO
MENOR EL RADIO DE SU ESFERA CIRCUNSCRITA.

Radio de la esfera circunscrita:

$$r' = 76.1 \text{ mm.}$$



ENUNCIADO:

Construir el modelo completo del dodecaedro regular re-
trellado, cóncavo, de caras macizas, de tercera especie,
formado por doce pentágonos regulares convexos, y doce
vértices de ángulos pentáedricos de segunda especie, con-
curriendo en cada cara de dichos ángulos, cinco caras
del mismo.

Este modelo puede considerarse como una variante del mo-
delo M-50.1, de igual forma, siendo menor el radio de
su esfera circunscrita ($r_{ec} = 76.1 \text{ m m}$).

Para obtener el desarrollo de este modelo, utilizaremos el mis-
mo estudio analítico hecho para el modelo M-50.1, determi-
nando el coeficiente "k" de reducción, $k = 76.1 : 110$, o relación
entre los radios correspondientes de sus respectivas esferas cir-
cunscritas.

DATO ÚNICO DEL EJERCICIO

$$r_{ec}^{12E} = 76.1 \text{ m m}$$

COEFICIENTE DE REDUCCIÓN

$$k = \frac{76.1}{110} = 0.6918$$

A continuación presentamos diversas tablas de longitudes

diseñadas en las figuras del modelo M-50.1, y de los valores correspondientes a aplicar en la construcción de este nuevo modelo M-50.2, en el que son necesarias las siguientes piezas:

PIEZA N°1 DESARROLLO DE LAS PIRÁMIDES REGULARES TRIANGULARES, CÓNCAVAS, RECTAS, CUYAS CARAS LATERALES LIMITAN EL DODECAEDRO ESTRELLADO, -20 (u)

La figura 3, ha de construirse con las siguientes cotas modificadas:

<u>FIGURA 3</u>	Longitudes m m	Cotas modificadas m m
<u>PIEZA N° 1</u>	115.7	80
	71.5	49.5
20 (u)	5	4

PIEZA N° 2 FORRO MACIZO DE LAS CARAS LATERALES 60 (u)

La figura 4, ha de construirse con las siguientes cotas modificadas:

<u>FIGURA 4</u>	Longitudes m m	Cotas modificadas m m
<u>PIEZA N° 2</u>	115.7	80
60 (u)	71.5	49.5

FIGURA N° 3 UNIONES ARISTAS EN BASES PIDÁMIDES TRIANGU-
LARES 30 unidades

La figura 5, ha de constuirse con las siguientes cotas mo-
dificadas:

<u>FIGURA 5</u>	Longitudes m m	Cotas modificadas m m
<u>PIEZA N° 3</u>	114	78.5
30 (u)	4	3
	17°	17°

PIEZA N° 4 UNIONES ARISTAS EN CARAS LATERALES PIDÁMI-
DES TRIANGULARES 60 unidades

La figura 6, ha de constuirse con las siguientes cotas modi-
ficadas:

<u>FIGURA 6</u>	Longitudes m m	Cotas modificadas m m
<u>PIEZA N° 4</u>	70	48
60 (u)	4	3
	53°	53°
	17°	17°



PIEZA N° 5 REFUERZO DE LAS CARAS LATERALES 60 unidades

La figura 7, ha de construirse con las siguientes cotas modificadas:

<u>FIGURA 7</u>	Longitudes m m	Cotas modificadas m m
<u>PIEZA N° 5</u>	115,7	80
60 (4)	71,5	49,5
	61,5	51,5

PIEZA N° 6 FORRO COLOREADO EN CARAS LATERALES 60 unidades

La figura 8, ha de construirse con las siguientes cotas modificadas:

<u>FIGURA 8</u>	Longitudes m m	Cotas mod/ Ficadas m m
<u>PIEZA N° 6</u>	115,7	80
60 (4)	71,5	49,5
	2	2

CONTADO

VARIANTE DEL MODELO M-50.1, DE
 IGUAL FORMA Y DIMENSIONES, SIENDO
 EL DODECAEDRO ESTRELLADO DE CARAS
 VACIADAS, Y EL DODECAEDRO REGULAR
 CONVEXO DEL NÚCLEO, DE CARAS MACIZAS.

Radio de la esfera que pasa por los
 vértices:

$$r' = 110 \text{ m m.}$$

ENUNCIADO:

Construir el modelo corpóreo de la variante del modelo M-50.1, de igual forma y dimensiones, siendo el dodecaedro estrellado, de caras vaciadas, y el dodecaedro regular convexo del núcleo, de caras macizas.

Las dimensiones de los poliedros componentes de este modelo, son iguales a las del M-50.1, siendo necesarias para su construcción, las siguientes piezas:

A) DODECAEDRO REGULAR ESTRELLADO, DE CARAS VACIADAS.

PIEZA N° 1 DESARROLLO DE LAS PIRÁMIDES REGULARES TRIANGULARES, CÓNCAVAS Y RECTAS, CUYAS CARAS LATERALES LIMITAN EL DODECAEDRO ESTRELLADO

20 unidades

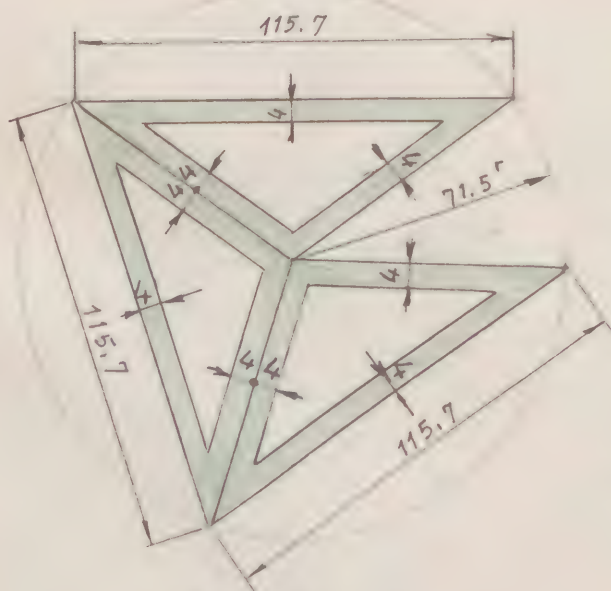


Figura 1

La forma y dimensiones se detallan en la figura 1.

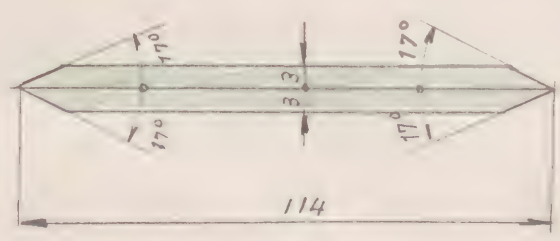
PIEZA N° 1

20 (u)

Figura 1

PIEZA N° 2 UNIONES ADISTAS EN BASES PIRÁMIDES TRIANGU-
LARES 30 unidades

La forma y dimensiones se detallan en la figura 2



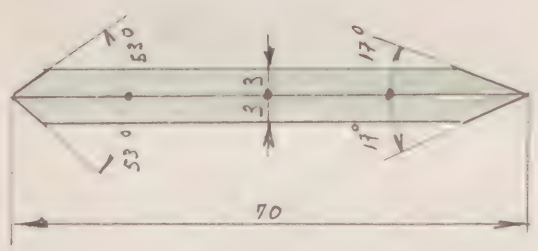
PIEZA N° 2 30 (u)

Figura 2

Figura 2

PIEZA N° 3 UNIONES ADISTAS EN CARAS LATERALES PIRÁMIDES
TRIANGULARES 60 unidades

La forma y dimensiones se detallan en la figura 3



PIEZA N° 3 60 (u)

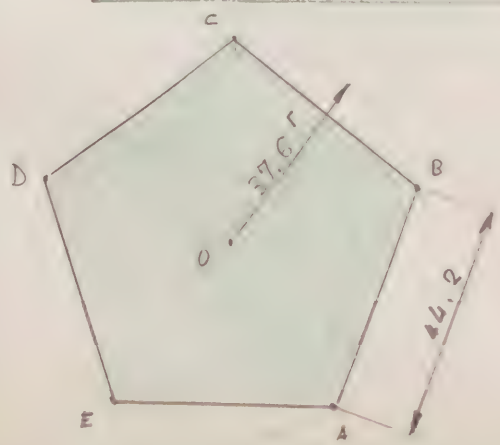
Figura 3

Figura 3

B) DODECAEDRO REGULAR CONVEXO DEL NÚCLEO, CON SUS CARAS
MACIZAS.- 12 unidades

PIEZA N° 4 CARAS SUPERFICIALES

son pentágonos regulares, cuya forma y dimensiones se detallan en la fig. 4



PIEZA N° 4 12 (u)

Figura 4

Figura 4

30 unidades

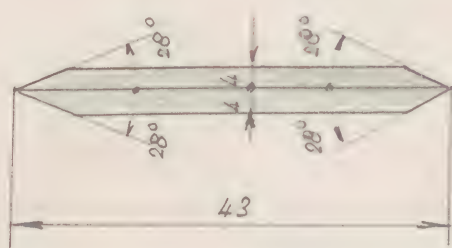


Figura 5

La forma y dimensiones, se detallan en la figura 5

PIEZA N° 5 30 (6)

Figura 5

PIEZA N° 6 REFUERZO NORMAL EN CARAS LATERALES

12 unidades

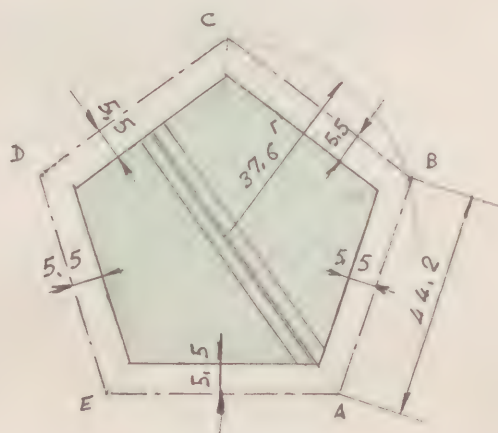


Figura 6

PIEZA N° 6 12 (4)

Figura 6

PIEZ Δ N° 7

DEFUERZO TRANSVERSAL EN CARAS LATERALES

24 unidades (simétricas 2 a 2)

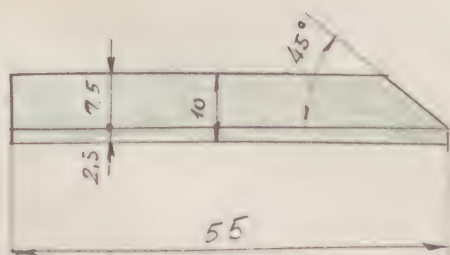


Figura 7

La forma y dimensiones se detallan en la figura 7, en colocación en la figura 6

PIEZA N° 7 24 (u) simétricas

Figura 7



PIEZA N° 8 FORRO COLOREADO EN CARAS LATERALES

12 unidades

La forma y dimensiones se representan en la figura 8, se deduce de las del pentágono ABCDE, de la figura 3.

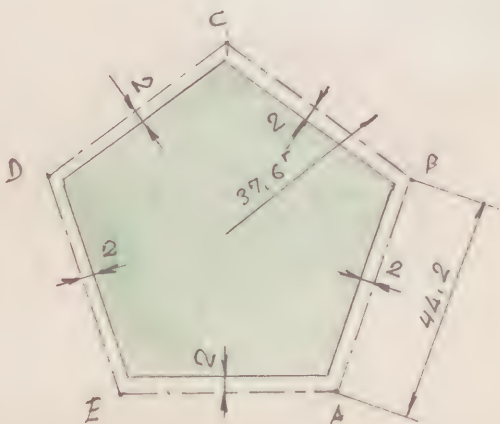


Figura 8

PIEZA N° 8

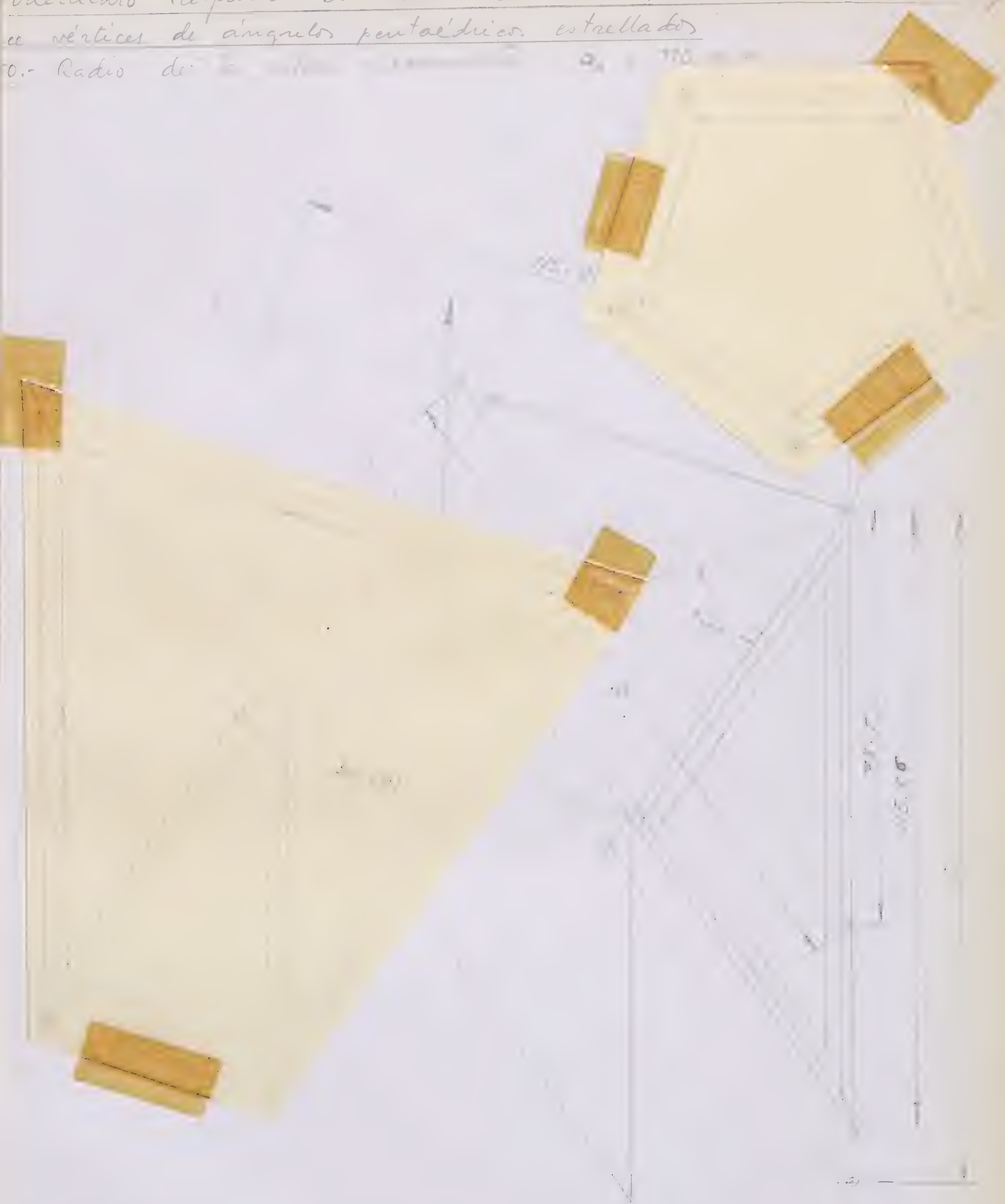
12 (u)

Figura 8



icosaedro regular estrellado de caras pentagonales convexas
 y vértices de ángulos pentagónicos estrellados

0.- Radio de la esfera $a_s = 110$



lado del pentágono regular de una cara, $l_5 =$ lado del icosaedro
 inscrito en la esfera de radio a_s

$$l_5 = 110 : 0.951057... = 115.67 \text{ mm} = l_{20}$$

radio a_5 de la circunferencia circunscrita al pentágono regular

$$a_5 = 115.67 \times 0.850651... = 98.29 \text{ mm}$$

VARIANTE DEL MODELO CORPÓREO M-50.3

DE IGUAL FORMA, SIENDO MENOR EL RADIO

DE SU ESFERA CIRCUNSCRITA.

Radio de la esfera que pasa por los vértices exteriores:

$$r' = 76.1 \text{ mm.}$$

ENUNCIADO: Construir el modelo corpóreo de la variante del modelo M-50.3, de igual forma y menor tamaño siendo el dodecaedro estrellado de caras vaciadas, y el dodecaedro convexo del núcleo, de caras macizas.

Este modelo puede considerarse como una variante del modelo M-50.3, ya que es de igual forma, pero de menor longitud el radio " r_{ec}^{12E} " de su esfera circunscrita.

Para obtener el despiece del mismo, aplicaremos el estudio analítico hecho para el modelo M-50.1, determinando previamente el coeficiente de reducción $k = 76,1 : 110$, o relación entre los radios correspondientes de sus respectivas esferas circunscritas.

DATO ÚNICO DEL MODELO ESTUDIADO:

$$r_{ec}^{12E} = 76,1 \text{ mm}$$

COEFICIENTE DE REDUCCIÓN:

$$k = \frac{76,1}{110} = 0,6918$$

A continuación exponemos en diversas tablas, las longitudes enseñadas en las figuras del modelo M-50.3, y de los

valores correspondientes a aplicar en la construcción de este nuevo modelo M-50.4, en el que son necesarios las siguientes piezas:

A) DODECAEDRO REGULAR ESTRELLADO DE CARAS VACIADAS

PIEZA N° 1 DESARROLLO DE LAS PIRÁMIDES TRIANGULARES, CÓNCAVAS Y RECTAS, CUYAS CARAS LATERALES LIMITAN EL DODECAEDRO ESTRELLADO 20 unidades

La figura 1, ha de construirse con las siguientes cotas modificadas:

<u>FIGURA 1</u>	Longitudes m m	Cotas modificadas m m
<u>PIEZA N° 1</u>	115,7	80
	71,5	49,5
20 (u)	4	3

PIEZA N° 2 UNIONES ADISTAS EN BASES PIRÁMIDES TRIANGULARES 30 unidades

La figura 2, ha de construirse con las siguientes cotas modificadas:

<u>FIGURA 2</u>	Longitudes m m	Cotas modificadas m m
<u>PIEZA N° 2</u>	114	78
	3	2,5
30 (u)	17°	17°

PIEZA Nº 3 UNIONES ARISTAS EN CARAS LATERALES PIRÁMIDES TRIANGULARES 60 unidades

La figura 3, ha de construirse con las siguientes cotas modificadas:

<u>FIGURA 3</u>	Longitudes m m	Cotas modificadas m m
<u>PIEZA Nº 3</u> 60 (u)	70	48
	3	2.5
	53°	53°
	17°	17°

B) DODECAEDRO REGULAR CONVEXO DEL NÚCLEO, CON SUS CARAS MACIZAS

PIEZA Nº 4 CARAS SUPERFICIALES 12 unidades

La figura 4, ha de construirse con las siguientes cotas modificadas:

<u>FIGURA 4</u>	Longitudes m m	Cotas modificadas m m
<u>PIEZA Nº 4</u> 12 (u)	44.2	30.6
	37.6	26

PIEZA Nº 5 UNIONES ARISTAS 30 unidades

La figura 5, ha de construirse con las siguientes cotas modificadas:

UNE A 4-210 x 287

<u>FIGURA 5</u>	Longitudes m m	Cotas modificadas m m
<u>PIEZA N° 5</u>	43	29
30 (u)	4	3
	28°	28°

PIEZA N° 6 REFUERZO NORMAL EN CARAS LATERALES

La figura 6, ha de construirse con las 12 unidades
siguientes cotas modificadas:

<u>FIGURA 6</u>	Longitudes m m	Cotas modificadas m m
<u>PIEZA N° 6</u>	44.2	30.6
12 (u)	37.6	26
	5.5	4

PIEZA N° 7 (No se necesita)

PIEZA N° 8 FORDO COLOREADO EN CARAS LATERALES

12 unidades

La figura 8, ha de construirse con las siguientes cotas modificadas:

<u>FIGURA 8</u>	Longitudes m m	Cotas modificadas m m
<u>PIEZA N° 8</u>	44.2	30.6
12 (u)	37.6	26
	2	2

MODELO CORPÓREO DEL ICOSAEDRO REGULAR ESTRELLADO, CÓNCAVO, DE CARAS MACIZAS, DE SÉPTIMA ESPECIE, FORMADO POR VEINTE TRIÁNGULOS EQUILÁTEROS, Y DOCE VÉRTICES DE ÁNGULOS PENTAÉDRICOS DE SEGUNDA ESPECIE, CONCURRIENDO EN CADA UNO DE DICHS ÁNGULOS, CINCO CARAS DEL MISMO.

Radio de la esfera que pasa por los vértices:

$$r' = 110 \text{ m m.}$$

ENUNCIADO:

Construir el modelo corpóreo del icosaedro regular estrellado, cóncavo, de caras macizas, de séptima especie, formado por veinte triángulos equiláteros, y doce vértices de ángulos pentáedricos de segunda especie, concurrendo en cada uno de dichos ángulos, cinco caras del mismo.

Este icosaedro regular estrellado, puede obtenerse del icosaedro regular convexo, de las tres formas diferentes que enunciaremos a continuación:

- A) Uniendo convenientemente los vértices del icosaedro regular convexo.
- B) Hallando las intersecciones de los planos de cada cara del mencionado icosaedro regular convexo, con los planos de las caras contiguas a la opuesta, y tomando como nueva cara el triángulo formado por las tres rectas así determinadas.
- C) Formando ángulos sólidos pentáedricos de segunda especie, alrededor de cada vértice del icosaedro regular convexo, dentro del cual queda inscrito el estrellado.

Estudiaremos sucesivamente, a continuación cada forma de generación.

A1) Obtención del icosaedro regular estrellado, por unión de los vértices de un icosaedro regular convexo.

Supongamos un icosaedro regular convexo, que llamaremos "generador", de arista " a_{20} ", y unamos cada uno de sus vértices con los correspondientes a los cinco extremos de las aristas concurrentes en el vértice diametralmente opuesto. Estas rectas, limitadas por los vértices, serán pues "diagonales" del icosaedro generador (ninguna de ellas son aristas del icosaedro). Por consiguiente, por cada uno de los vértices de dicho icosaedro generador, pasarán cinco diagonales, formando un total de $\frac{12 \times 5}{2} = 30$ diagonales distintas.

Estas rectas al cortarse mutuamente, forman veinte triángulos equiláteros y a su vez doce pentágonos regulares estrellados de segunda especie. Los triángulos equiláteros son las caras del poliedro estudiado; los lados de dichos triángulos, así como los lados de los pentágonos estrellados, son aristas de dicho poliedro estrellado.

Las mutuas intersecciones de las veinte caras triangulares, forman en cada cara nueve zonas triangulares que son las partes vistas del poliedro estrellado, según puede apreciarse en la figura 1, cuyas zonas vistas se han destacado en color, pudiendo observarse seis zonas triangulares (A) en forma de triángulos escalares iguales, y tres zonas (B) en forma de triángulos isósceles también iguales.

Elvira

Enero 1980

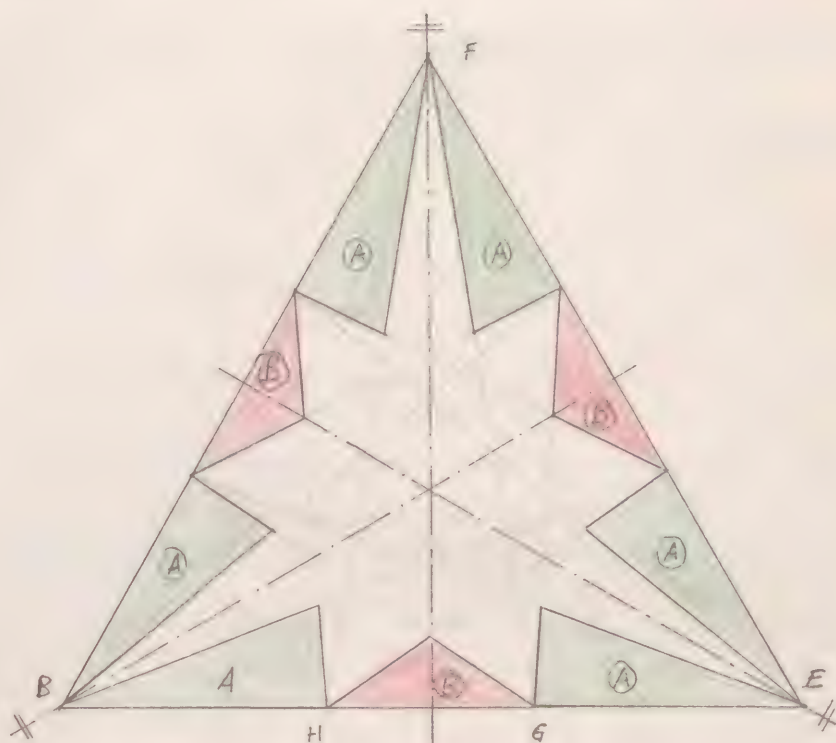


Figura 1

la construcción gráfica y analítica de estos cuete triángu-
los, así como las del equilátero BEF de la cara de este
poliedro estrellado, la estudiaremos seguidamente.

a) ESTUDIO GEOMÉTRICO-ANALÍTICO DE UNA CARA DEL ICOSAEDRO
REGULAR ESTRELLADO Y DE LAS MUTUAS INTERSECCIONES DE
ÉSTA CON SEIS DE LAS RECTAS CONCURRENTES EN CADA VÉR-
TICE, Y CUATRO NO CONCURRENTES EN ELLOS.

De lo expuesto anteriormente se deduce que la arista " a_{20}^E "
de este icosaedro estrellado, es el lado " l_5^{II} " de un pentágo-
no regular estrellado de segunda especie, a su vez ins-
crito en un pentágono regular convexo de lado " l_5 ", igual
a la arista " a_{20} " del icosaedro regular convexo, generador de

este poliedro estrellado. Ésto se deduce de la generación del mismo por unión de los vértices de un icosaedro regular convexo, detallada al principio. (Ver párrafo A1)

b). SOLUCIÓN GRÁFICA- ANALÍTICA

Las consideraciones anteriores justifican las construcciones gráficas siguientes, que comienzan por la obtención del lado l_3 de una cara triangular del poliedro estrellado, que es a su vez la arista " a_{20}^E " de éste. Las construcciones se detallan en la figura 2.

DATO ÚNICO: Radio " r_{ec}^{20E} " de la esfera circunscrita al poliedro estudiado:

$$r_{ec}^{20E} = 110 \text{ m m}$$

L°

Construimos un pentágono regular convexo ABCDE, de lado igual a $l_5 = a_{20} =$ arista del icosaedro regular convexo generador. (ver ejercicio G.P. 1400-44).

Para ello es preciso conocer previamente el valor de l_5 en función de r_{ec}^{20} ; se deduce de la fórmula

$$r_{ec}^{20} = \frac{\sqrt{10+2\sqrt{5}}}{4} a_{20}, \text{ obtenida en el ejercicio G.E. 5,}$$

despejando en ella a_{20} , tendremos:

$$a_{20} = 1 : \frac{\sqrt{10+2\sqrt{5}}}{4} r_{ec}^{20} = 1 : \sqrt{\frac{10+2\sqrt{5}}{16}} r_{ec}^{20} = 1 : \sqrt{\frac{5+\sqrt{5}}{8}} r_{ec}^{20} =$$

$$= \sqrt{\frac{8}{5+\sqrt{5}}} r_{ec}^{20} = \sqrt{\frac{8(5-\sqrt{5})}{20}} r_{ec}^{20} = \sqrt{\frac{4(5-\sqrt{5})}{10}} r_{ec}^{20} = 2 \sqrt{\frac{5-\sqrt{5}}{10}} r_{ec}^{20}$$

de donde se obtiene finalmente:

$$(1) \quad a_{90} = 2 \sqrt{\frac{5-\sqrt{5}}{10}} r_{ec}^{20} \approx 1.051462224... \times 110 \approx 115.7 \text{ mm}$$

La construcción del pentágono regular de lado $l_1 = 115.7 \text{ mm}$ es más exacta, calculando previamente el radio r_{c-5} de su circunferencia circunscrita. Su valor es (ver G.P. 1.400-44 (3))

$$(2) \quad r_{c-5} = \sqrt{\frac{5+\sqrt{5}}{10}} l_1 \approx 0.85065 \times 115.7 = 98.4 \text{ mm}$$

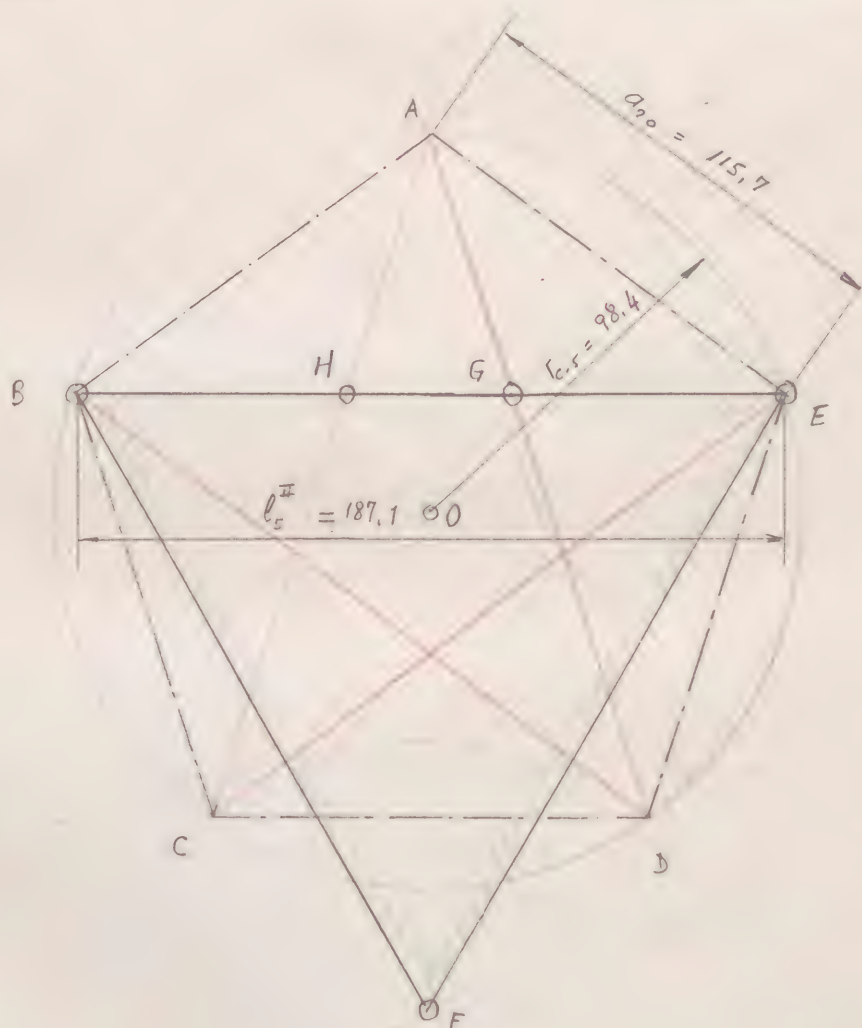


Figura 2

2º Construir el pentágono regular estrellado ACEBDA de segunda especie, uniendo los vértices del pentágono regular convexo ABCDE de dos en dos.

El lado \overline{BE} de dicho pentágono estrellado, es el lado l_2



de una cara triangular del poliedro estudiado, y a su vez la arista " a_{20}^E " del mismo.

[3°] Con lado BE , construir el triángulo equilátero BEF , cara del poliedro estudiado (ver ejercicio G.E. 1400-42).

El lado " l_5^{II} " = a_{20}^E se obtiene de la fórmula

$$(3) \quad l_5^{\text{II}} = \frac{\sqrt{5} + 1}{2} l_5$$

deducida en el ejercicio G.P. 1:400-62 (1) en la que $[l_5] = a_{20} =$

$$= 2 \sqrt{\frac{5 - \sqrt{5}}{10}} r_{ec}^{20} = 1,05 \ 14 \ 62 \ 22 \ 4 \dots r_{ec}^{20}, \text{ por lo que será:}$$

$$(4) \quad [BE] = [l_5^{\text{II}}] = \frac{\sqrt{5} + 1}{2} \times l_5 = \frac{\sqrt{5} + 1}{2} \times 2 \sqrt{\frac{5 - \sqrt{5}}{10}} \times r_{ec}^{20} = \left[(\sqrt{5} + 1) \times \sqrt{\frac{5 - \sqrt{5}}{10}} \times r_{ec}^{20} \right] =$$

$$= 1,70 \ 13 \ 01 \ 61 \ 7 \dots \times 110 = [187,2 \text{ mm}]$$

A continuación vamos a indicar el proceso a seguir para conseguir el trazado de las comas (A) y (B) de la figura 1, que nos han de servir para la construcción del poliedro estrellado.

Para ello, destaquemos que la situación de los puntos H y G en el lado BE de la cara triangular, se obtiene por la intersección de los lados AC y AD (figura 2) del pentágono regular estrellado de segunda especie $ACEBDA$, con el lado BE del triángulo equilátero BEF de la cara del poliedro estrellado.

Así pues, podemos construir el triángulo equilátero BEF (fig. 3) y situar en sus tres lados los puntos H y G .



por medio de la construcción realizada en la figura 2. (puntos H_1, H_2, G_1, G_2). Con ellos obtendremos en la figura 3, los segmentos

$$\overline{BH} = \overline{GE} = \overline{EH_1} = \overline{G_1F} = \overline{FG_2} = \overline{H_2B} \quad \text{y también:}$$

$$\overline{HG} = \overline{H_1G_1} = \overline{H_2G_2}$$

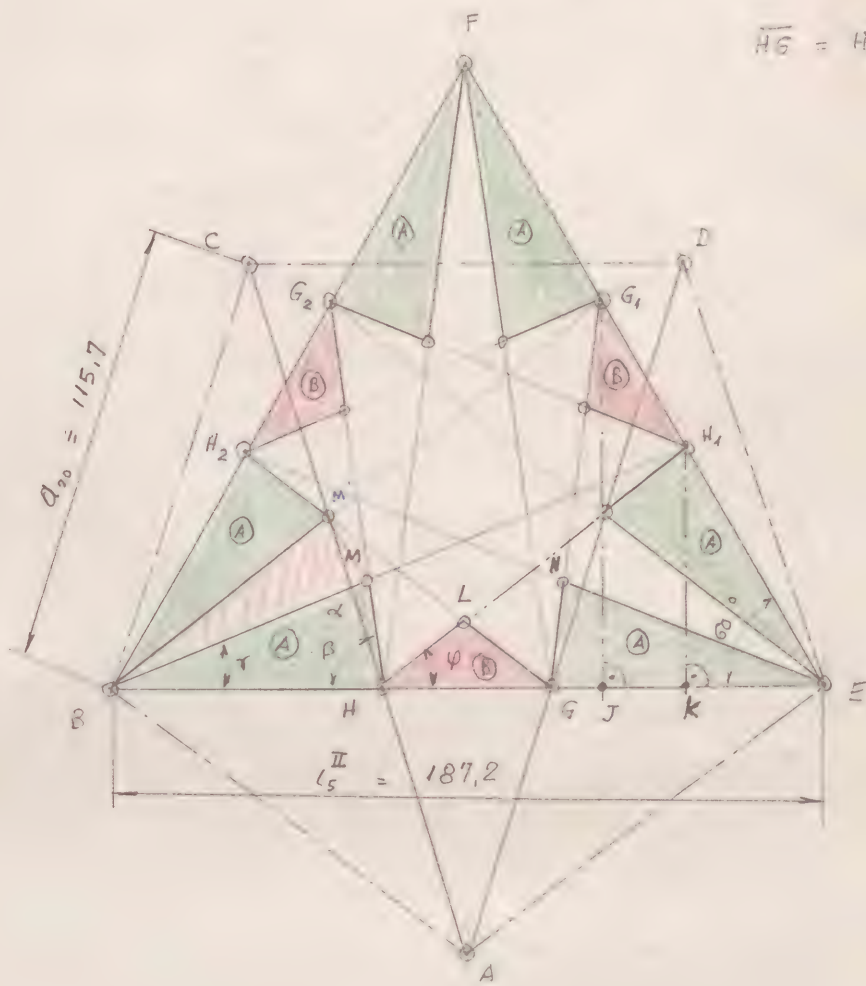


Figura 3

Uniendo los puntos intermedios de los lados del triángulo, BEF, con los vértices B, E y F del mismo, y los intermedios entre sí, en la forma que se indica en la figura 3, obtendremos las distintas zonas coloreadas (A) y (B) que son las partes vistas de cada una de las veinte caras triangulares del poliedro estrellado.

Las seis zonas (A) tienen la forma de triángulos escalenos iguales, y las tres zonas (B), la de triángulos isósceles tam-



bien iguales entre sí.

Vamos a resolver trigonométricamente ambos triángulos.

a) Triángulo escaleno BHM (fig. 3)

Tracemos previamente por los puntos H_1 y G_1 , rectas perpendiculares al lado \overline{BE} , siendo K y J los pies de dichas perpendiculares respectivamente.

De la figura se deducen las siguientes relaciones métricas:

$$(5) \quad \overline{BH} = a = s_5^I = \frac{\sqrt{5}-1}{2} a_{20} \quad (\text{ver G.P. 1400-62 (4)})$$

$$(6) \quad \overline{EH_1} = \overline{BH} = \frac{\sqrt{5}-1}{2} a_{20}$$

$$(7) \quad \overline{BE} = l_5^I = \frac{\sqrt{5}+1}{2} a_{20} \quad (\text{ver G.P. 1400-62 (1)})$$

$$(8) \quad \overline{KE} = \overline{EH_1} \cos 60^\circ = \frac{\sqrt{5}-1}{2} a_{20} \times \frac{1}{2} = \frac{\sqrt{5}-1}{4} a_{20}$$

$$(9) \quad \overline{HG} = \frac{3-\sqrt{5}}{2} a_{20} \quad (\text{ver G.P. 1400-62 (5)})$$

$$(10) \quad \overline{BK} = \overline{BE} - \overline{KE} = \frac{\sqrt{5}+1}{2} a_{20} - \frac{\sqrt{5}-1}{4} a_{20} = \left[\frac{2\sqrt{5}+2}{4} - \frac{\sqrt{5}-1}{4} \right] a_{20} =$$

$$= \frac{2\sqrt{5}+2 - \sqrt{5}+1}{4} a_{20} = \frac{\sqrt{5}+3}{4} a_{20}$$

$$(11) \quad \overline{H_1K} = \overline{EH_1} \times \cos 30^\circ = \frac{\sqrt{5}-1}{2} a_{20} \times \frac{\sqrt{3}}{2} = \frac{\sqrt{3}(\sqrt{5}-1)}{4} a_{20} = \frac{\sqrt{15}-\sqrt{3}}{4} a_{20}$$

$$(12) \quad \overline{G_1H_1} = \overline{HG} = \frac{3-\sqrt{5}}{2} a_{20}$$

$$(13) \quad \overline{G_1E} = \overline{G_1H_1} + \overline{EH_1} = \frac{3-\sqrt{5}}{2} a_{20} + \frac{\sqrt{5}-1}{2} a_{20} = \frac{3-\sqrt{5}+\sqrt{5}-1}{2} a_{20} = a_{20}$$

$$(14) \quad \overline{G_1 J} = \overline{G_1 E} \times \cos 30^\circ = a_{20} \times \frac{\sqrt{3}}{2} = \frac{\sqrt{3}}{2} a_{20}$$

$$(15) \quad \overline{J E} = \overline{G_1 E} \times \cos 60^\circ = a_{20} \times \frac{1}{2} = \frac{1}{2} a_{20}$$

$$(16) \quad \overline{G E} = \overline{B H} = \frac{\sqrt{5}-1}{2} a_{20}$$

$$(17) \quad \overline{G J} = \overline{G E} - \overline{J E} = \frac{\sqrt{5}-1}{2} a_{20} - \frac{a_{20}}{2} = \frac{\sqrt{5}-1-1}{2} a_{20} = \frac{\sqrt{5}-2}{2} a_{20}$$

$$(18) \quad \begin{aligned} \frac{1}{5} Y &= \frac{H_1 K}{B K} = \frac{\sqrt{5}-\sqrt{3}}{4} a_{20} : \frac{\sqrt{5}+3}{4} a_{20} = \frac{\sqrt{5}-\sqrt{3}}{3+\sqrt{5}} = \frac{(\sqrt{5}-\sqrt{3})(3-\sqrt{5})}{4} \\ &= \frac{3\sqrt{5}-3\sqrt{3}-\sqrt{75}+\sqrt{15}}{4} = \frac{3\sqrt{5}-3\sqrt{3}-5\sqrt{3}+\sqrt{15}}{4} = \frac{4\sqrt{5}-8\sqrt{3}}{4} \\ &= \sqrt{5}-2\sqrt{3} \end{aligned}$$

$$(19) \quad Y = \arctan (\sqrt{5}-2\sqrt{3}) = \arctan (0.40888173...) = 22^\circ, 23' 87.56'' 04$$

$$(20) \quad \angle NGE = \angle MHB = \beta$$

$$(21) \quad \begin{aligned} \frac{1}{5} \beta &= \frac{G_1 J}{G J} = \frac{\sqrt{3}}{2} a_{20} : \frac{\sqrt{5}-2}{2} a_{20} = \frac{\sqrt{3}}{2} : \frac{\sqrt{5}-2}{2} = \frac{\sqrt{3}}{\sqrt{5}-2} \\ &= \frac{\sqrt{3}(\sqrt{5}+2)}{1} = \sqrt{5}+2\sqrt{3} \end{aligned}$$

$$(22) \quad \beta = \arctan (\sqrt{5}+2\sqrt{3}) = \arctan (7.237084962...) = 82^\circ, 23' 87.56'' 04...$$

$$(23) \quad \begin{aligned} \overline{H K} &= \overline{B E} - (\overline{B H} + \overline{K E}) = \frac{\sqrt{5}+1}{2} a_{20} - \left(\frac{\sqrt{5}-1}{2} a_{20} + \frac{\sqrt{5}-1}{4} a_{20} \right) \\ &= \left(\frac{\sqrt{5}+1}{2} - \frac{\sqrt{5}-1}{2} - \frac{\sqrt{5}-1}{4} \right) a_{20} = \left(1 - \frac{\sqrt{5}-1}{4} \right) a_{20} = \frac{4-\sqrt{5}+1}{4} a_{20} = \frac{5-\sqrt{5}}{4} a_{20} \end{aligned}$$



$$\begin{aligned}
 (24) \quad \boxed{\tan \varphi} &= \frac{H_1 K}{H K} = \frac{\sqrt{15} - \sqrt{3}}{4} a_{20} : \frac{5 - \sqrt{5}}{4} a_{20} = \left[\frac{\sqrt{15} - \sqrt{3}}{4} : \frac{5 - \sqrt{5}}{4} \right] a_{20} = \\
 &= \frac{\sqrt{15} - \sqrt{3}}{5 - \sqrt{5}} = \frac{(\sqrt{15} - \sqrt{3}) \times (5 + \sqrt{5})}{20} = \frac{5\sqrt{15} - 5\sqrt{3} + \sqrt{75} - \sqrt{15}}{20} = \\
 &= \frac{4\sqrt{15} - 5\sqrt{3} + 5\sqrt{3}}{20} = \frac{4\sqrt{15}}{20} = \frac{\sqrt{15}}{5} = \sqrt{\frac{15}{25}} = \boxed{\sqrt{\frac{3}{5}}}
 \end{aligned}$$

$$(25) \quad \boxed{\varphi} = \arctan \sqrt{\frac{3}{5}} = \arctan 0,774596669... = 37^{\circ} 76' 12,439...$$

Los cálculos previos anteriores (fórmulas (5) a (25)) nos permiten resolver los triángulos de las zonas aparentes (A) y (B) detalladas en la figura 3, y poder construir este modelo. Los resultados finales los determinaremos en función del radio r_{ec}^{20} de la esfera circunscrita, dato único del ejercicio; sustituyendo a_{20} por el valor deducido en la fórmula (1), hoja 5

$$\boxed{a_{20} = 2 \sqrt{\frac{5 - \sqrt{5}}{10}} r_{ec}^{20}} \quad (1)$$

RESOLUCIÓN DEL TRIÁNGULO OBLICUÁNGULO BHM DE LA FIGURA 3

DATOS : El lado BH y los dos ángulos γ y β , adyacentes a dicho lado.

INCÓGNITAS Los lados \overline{BM} , \overline{MH} y el ángulo α

RESULTADOS

$$(26) \quad \boxed{\alpha} = 180^\circ - (\beta + \gamma) = 180^\circ - (82^\circ, 23 \ 87 \ 56 \ 04 + 22^\circ, 23 \ 87 \ 56 \ 04) =$$

$$= \boxed{75^\circ, 52 \ 24 \ 87 \ 92 \dots}$$

$$(27) \quad \boxed{\overline{BM}} = \overline{BH} \times \frac{\sin \beta}{\sin \alpha} = \frac{\sqrt{5}-1}{2} a_{20} \times \frac{\sin 82^\circ, 23 \ 87 \ 56 \ 04}{\sin 75^\circ, 52 \ 24 \ 87 \ 92} =$$

$$= \frac{\sqrt{5}-1}{2} \times 2 \sqrt{\frac{5-\sqrt{5}}{10}} \times \frac{0,99 \ 08 \ 39 \ 41 \ 5}{0,96 \ 82 \ 45 \ 83 \ 7} r_{ec}^{20} = \boxed{0,66 \ 50 \ 03 \ 10 \ 0 \dots r_{ec}^{20}}$$

$$(28) \quad \boxed{\overline{MH}} = \overline{BH} \times \frac{\sin \gamma}{\sin \alpha} = \frac{\sqrt{5}-1}{2} a_{20} \times \frac{\sin 22^\circ, 23 \ 87 \ 56 \ 04}{\sin 75^\circ, 52 \ 24 \ 87 \ 92} =$$

$$= \frac{\sqrt{5}-1}{2} \times 2 \sqrt{\frac{5-\sqrt{5}}{10}} \times \frac{0,37 \ 84 \ 66 \ 97 \ 8}{0,96 \ 82 \ 45 \ 83 \ 7} r_{ec}^{20} = \boxed{0,25 \ 40 \ 08 \ 58 \ 1 \dots r_{ec}^{20}}$$

$$(29) \quad \boxed{\overline{BH}} = \frac{\sqrt{5}-1}{2} a_{20} = \frac{\sqrt{5}-1}{2} \times 2 \sqrt{\frac{5-\sqrt{5}}{10}} r_{ec}^{20} = \boxed{0,64 \ 98 \ 39 \ 39 \ 2 \dots r_{ec}^{20}}$$

Las fórmulas (27), (28) y (29) nos permiten calcular los tres lados de los triángulos de las zonas (A) de la figura 3. en función del radio r_{ec}^{20} de la esfera inscrita al poliedro estrellado estudiado.

Los valores de ellos, para $r_{ec}^{20} = 110 \text{ mm}$, serán pues

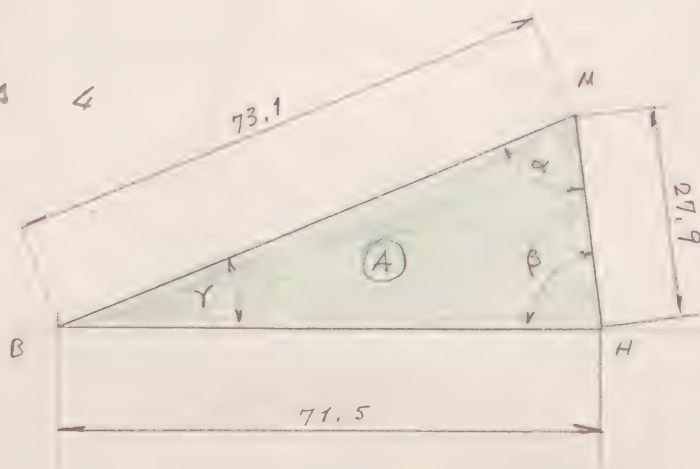
$$\boxed{\overline{BH}} \approx 0,64 \ 98 \ 39 \ 39 \ 2 \dots \times 110 \approx \boxed{71,5 \text{ mm}}$$

$$\boxed{\overline{BM}} \approx 0,66 \ 50 \ 03 \ 10 \ 0 \dots \times 110 \approx \boxed{73,1 \text{ mm}}$$

$$\boxed{\overline{MH}} \approx 0,25 \ 40 \ 08 \ 58 \ 1 \dots \times 110 \approx \boxed{27,9 \text{ mm}}$$

En la figura 4 representamos detalladamente acotada la mencionada cara zona (A).

FIGURA 4



$$\alpha = 75^{\circ}, 52 \ 24 \ 87 \ 92 \dots = 75^{\circ} \ 31' \ 21''$$

$$\beta = 82^{\circ}, 23 \ 87 \ 56 \ 04 \dots = 82^{\circ} \ 14' \ 19.5''$$

$$\gamma = 22^{\circ}, 23 \ 87 \ 56 \ 04 \dots = 22^{\circ} \ 14' \ 19.5''$$

$$\underline{\underline{\text{Suma} = 180^{\circ} \ 0' \ 0''}}$$

RESOLUCIÓN DEL TRIÁNGULO ISÓSCELES HLG DE
LA FIGURA 3

DATOS: La base \overline{HG} y uno de los ángulos φ , adyacentes a la base \overline{HG} .

INCÓGNITAS: El ángulo \widehat{HLG} opuesto a la base
Los lados $\overline{HL} = \overline{LG}$ iguales

RESULTADOS

$$\begin{aligned} (30) \quad \boxed{\text{Ángulo } \widehat{HLG}} &= 180^{\circ} - 2\varphi = 180^{\circ} - 2 \times 37^{\circ}, 76 \ 12 \ 43 \ 9 \dots = \\ &= \boxed{104^{\circ}, 47 \ 75 \ 12 \ 2} \end{aligned}$$

$$(31) \quad \boxed{\overline{HL} = \overline{LG}} = \frac{\overline{HG}}{2} : \cos \varphi = \frac{3 - \sqrt{5}}{4} : \times d_{20} : \cos \varphi =$$

$$= \frac{3 - \sqrt{5}}{4 \cos \varphi} \times 2 \sqrt{\frac{5 - \sqrt{5}}{10}} \times r_{ec}^{20} = \frac{3 - \sqrt{5}}{2 \cos \varphi} \times \sqrt{\frac{5 - \sqrt{5}}{10}} \times r_{ec}^{20} =$$

$$= \frac{3 - \sqrt{5}}{2 \cos 37,7612439\dots} \times \sqrt{\frac{5 - \sqrt{5}}{10}} \times r_{ec}^{20} = \boxed{0,254008581\dots \times r_{ec}^{20}}$$

$$(32) \quad \boxed{\overline{HG}} = \frac{3 - \sqrt{5}}{2} d_{20} = \frac{3 - \sqrt{5}}{2} \times 2 \sqrt{\frac{5 - \sqrt{5}}{10}} \times r_{ec}^{20} =$$

$$= \boxed{0,401622832\dots \times r_{ec}^{20}}$$

Las fórmulas (31) y (32) nos permiten calcular los lados de los triángulos de las caras (B) de la figura 3, en función del radio r_{ec}^{20} de la esfera circunscrita al poliedro estrellado estudiado.

Los valores de ellos, para $r_{ec}^{20} = 110$ mm, serán pues:

$$\boxed{\overline{HL} = \overline{LG}} \approx 0,254008581\dots \times 110 = \boxed{27,9 \text{ mm}}$$

$$\boxed{\overline{HG}} = 0,401622832\dots \times 110 = \boxed{44,2 \text{ mm}}$$

En la figura 5, representamos, debidamente acotada la mencionada cara (B).



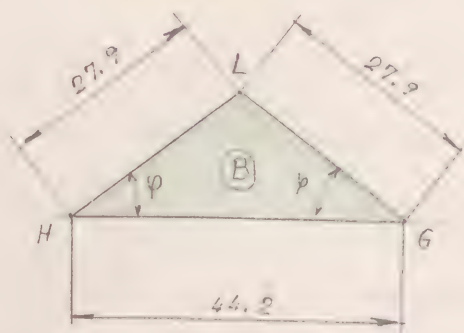


Figura 5

$$\varphi = 37^{\circ}, 76 \ 12 \ 43 \ 9 \dots \approx 37^{\circ} \ 45' \ 40.5''$$

$$\angle HLG = 104^{\circ}, 47 \ 75 \ 12 \ 2 \dots =$$

$$= 104^{\circ} \ 28' \ 39''$$

$$2\varphi + \angle HGL = 180^{\circ}$$

Terminado el estudio geométrico-analítico de este poliedro entrelado, procederemos a su construcción, para lo cual son necesarias las piezas que enseñamos a continuación.

Observemos previamente, que después de construido el poliedro estudiado, las zonas pintas (A) y (B) de la figura 3, quedarán acopladas de tal manera que formen doce conjuntos parciales, en forma de pirámides pentaédricas de segunda especie, compuesta cada una de ellas de 10 caras (A) y 5 caras (B). Las caras (A), pueden considerarse como caras laterales de dichas pirámides, y las caras (B) como sus bases, aún cuando estas cinco están en distintos planos. Construidas las doce pirámides, se acoplarán por las aristas de sus bases, como si construyéramos un dodecaedro regular convexo.

Para la construcción de estas pirámides, son necesarias las siguientes piezas:

PIEZA N° 1. DESARROLLO TOTAL DE UNA PIRÁMIDE PENTAÉDRICA QUE FORMAN EL CONTORNO DEL POLIEDRO ENTRE-
LLADO. 12 unidades

La forma y dimensiones se detallan en la figura 6, compuesta por 10 caras iguales a las de la figura 4, y de cinco caras iguales a las de la figura 5, acopladas entre sí de la forma representada en su desarrollo total. En dicha forma se detallan además sus dobleces y cortes. Obsérvese que al acoplar a una cara (A) otra (B), los lados 0-7 y 7-C quedan alineados, por

$$\text{por } \angle \widehat{076} + \widehat{67C} = 180^\circ$$

como puede comprobarse con sus datos numéricos dados en fig. 4 y fig. 5

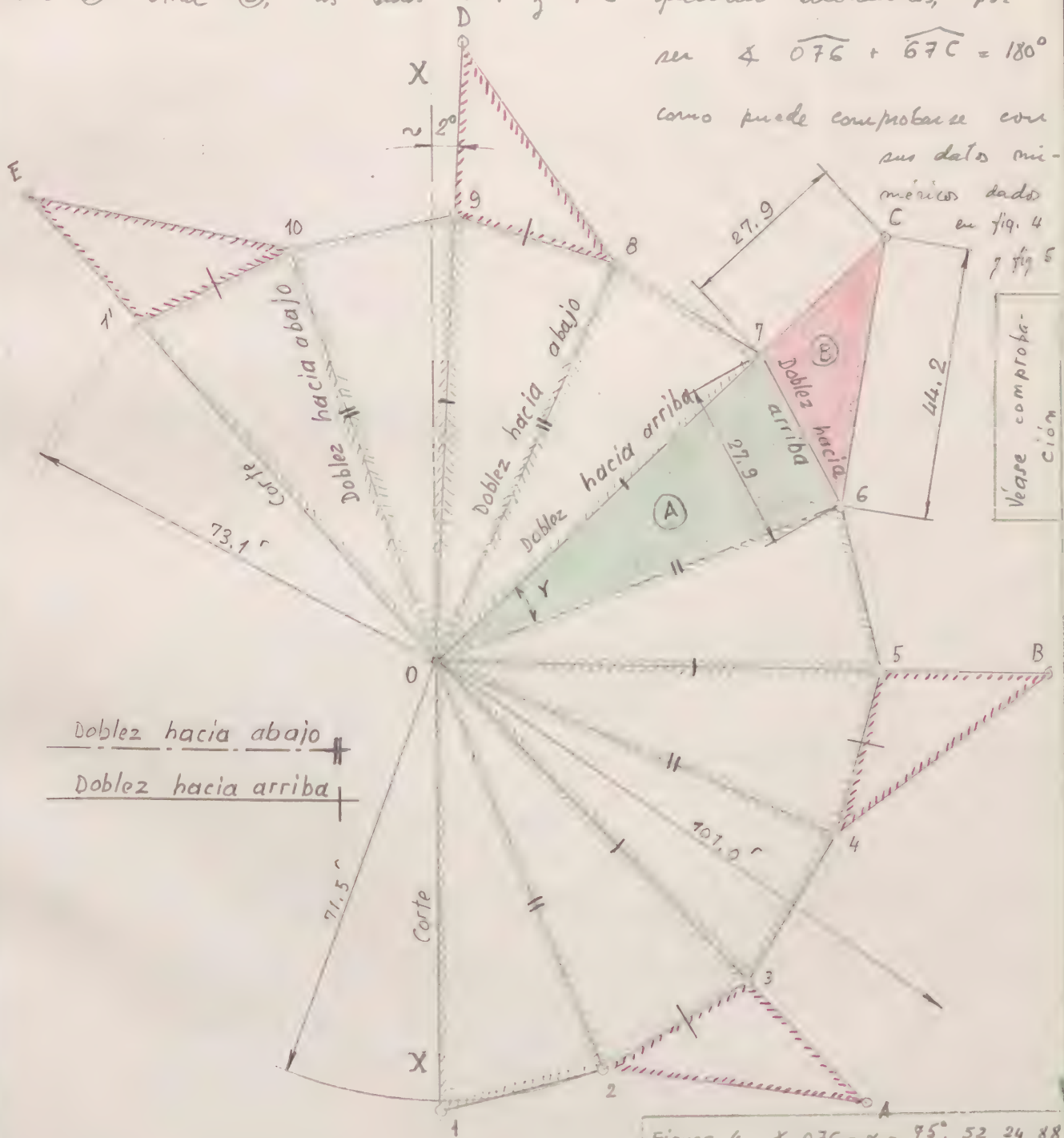


Figura 6

Figura 4 $\angle 076 = \alpha = 95^\circ, 52' 24'' 88$
 Figura 5 $\angle 46L = 106^\circ, 47' 75'' 12$
 suma = 180°

Alvarez

Febrero 1980

Para el trazo gráfico de la figura 6, debe seguirse el siguiente orden:

- 1° Sobre una recta indefinida XX , y centro en O , trázese una circunferencia de radio igual a 73.1 mm , otra concéntrica con radio 71.5 mm , y otra excéntrica con radio 101.0 mm .
- 2° Con radio igual a 27.9 mm , y centro en 1 (punto de intersección de la circunferencia de radio 73.1 mm con el eje XX), trázese un arco que corte a la menor en el punto 2 .
- 3° Con centro en 2 , y con el mismo radio anterior, trázese otro arco que corte a la circunferencia mayor en el punto 3 .
- 4° Repítanse sucesivamente las operaciones 2° y 3° , para determinar los puntos $(4, 5)$; $(6, 7)$; $(8, 9)$; $(10 - 1')$.
- 5° Únase los puntos $1, 2, \dots, 9, 10, 1'$ sucesivamente entre sí, y con el centro O , con lo que obtendremos diez triángulos escalenos iguales entre sí e iguales a los de la figura 4, que formarán el desarrollo lateral de las pirámides pentagónicas.
- 6° Tomando como base los lados $(2-3)$; $(4-5)$; $(6-7)$; $(8-9)$; y $(10-1')$, constrúyanse los triángulos tipo B, iguales a los de la figura 5, prolongando los radios $O-3, O-5, \dots, O-1'$, hasta cortar a la circunferencia mayor en los puntos A, B, \dots, D, E , vértices terceros de dichos triángulos.

NOTA IMPORTANTE Compruébese que el punto 9 , no debe quedar sobre la recta inicial XX , tomada como

bases del trasado, puesto que el radio 0-9, debiera estar derivado de dicho eje uno de los grados aproximadamente.

Véase que el ángulo γ (fig. 4) es de $22^{\circ}, 239$, que repetido ocho veces nos dará: $8 \times 22^{\circ}, 239 = 177^{\circ}, 9 < 180^{\circ}$

PIEZA N° 2 REFUERZO NORMAL EN CARAS TIPO "A"

60 unidades

La forma y dimensiones se detallan en la figura 7, y se deducen de las del Triángulo escaleno BMH de la figura 4.

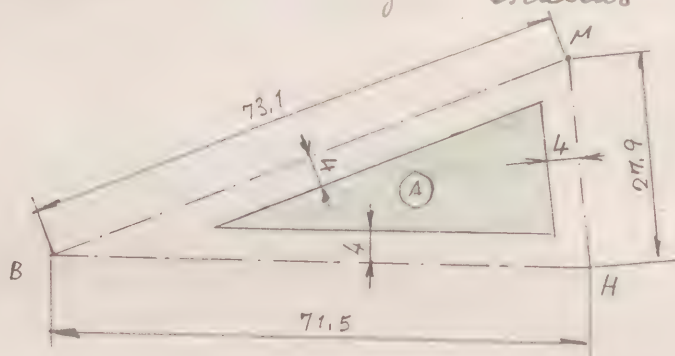


Figura 7

PIEZA N° 2 60 (u)

Figura 7

PIEZA N° 3 REFUERZO NORMAL EN CARAS TIPO "B"

60 unidades

La forma y dimensiones se detallan en la figura 8, y se deducen de las del triángulo isósceles HGL de la figura 5.

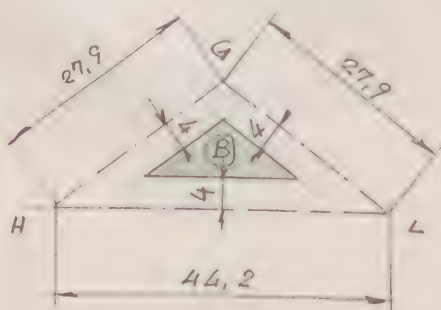


Figura 8

PIEZA N° 3 60 (u)

Figura 8

PIEZA N° 4 UNIONES ARISTAS EN LADOS DE 73,1 m m

60 unidades

La forma y dimensiones se detallan en la figura 9

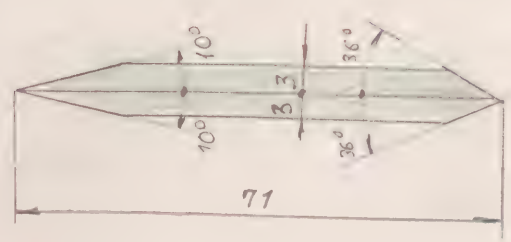


Figura 9

PIEZA N° 4 60 (u)

Figura 9

PIEZA N° 5 UNIONES ARISTAS EN LADOS DE 71,5 m m

La forma y dimensiones se detallan en la figura 10

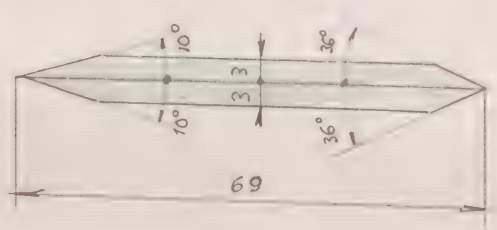


Figura 10

PIEZA N° 5 60 (u)

Figura 10

PIEZA N° 6 UNIONES ARISTAS EN LADOS DE 27,9 m m

30 unidades

La forma y dimensiones se detallan en la figura 11

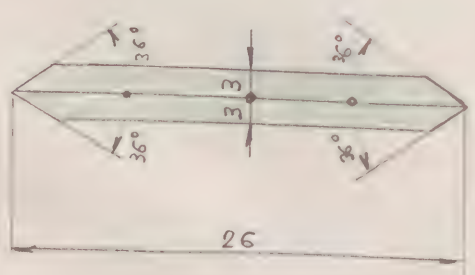


Figura 11

PIEZA N° 6 30 (u)

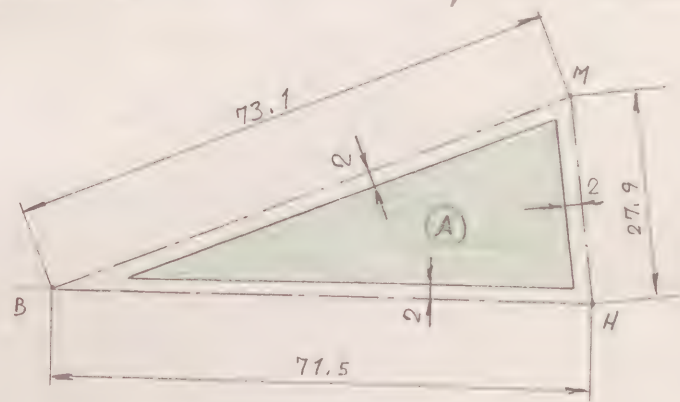
Figura 11



PIEZA N° 7 FORRO COLOREADO EN CARAS TIPO (A)

120 unidades

La forma y dimensiones se detallan en la figura 12, y se deducen de las del triángulo escaleno BMH de la figura 4.



PIEZA N° 7 120 (u)

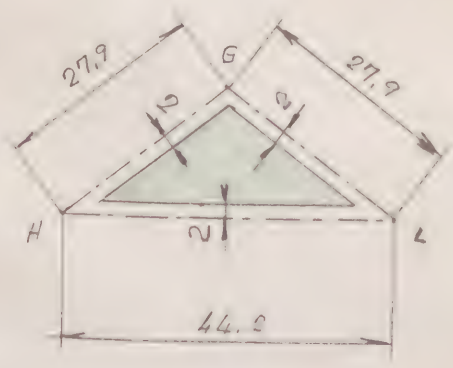
Figura 12

Figura 12

PIEZA N° 8 FORRO COLOREADO EN CARAS TIPO (B)

60 unidades

La forma y dimensiones se detallan en la figura 13, y se deducen de las del triángulo isósceles HGL de la figura 5.



PIEZA N° 8 60 (u)

Figura 13

Figura 13

ESTUDIO COMPLEMENTARIO

Del estudio anterior, se deduce la forma de obtención del modelo corpóreo del poliedro regular estrellado de séptima especie, de veinte caras triangulares y dos vértices de ángulo pentadécico de segunda especie. Los vértices de estos ángulos pentadécicos, son a su vez vértices de doce pirámides, siendo equidistantes del centro "O" del poliedro.

Si unimos cada uno de los vértices anteriores, con los cinco que los rodean, más cercanos al mismo, los segmentos correspondientes son todos de igual longitud, y son aristas " a_{20} " de un icosaedro regular convexo inscrito en la esfera de radio " r_{ec}^{20E} " que es a su vez esfera circunscrita al poliedro estrellado.

La arista " a_{20} " de dicho icosaedro, ha sido obtenida en este ejercicio (ver fórmula (1), hoja 5); su valor es:

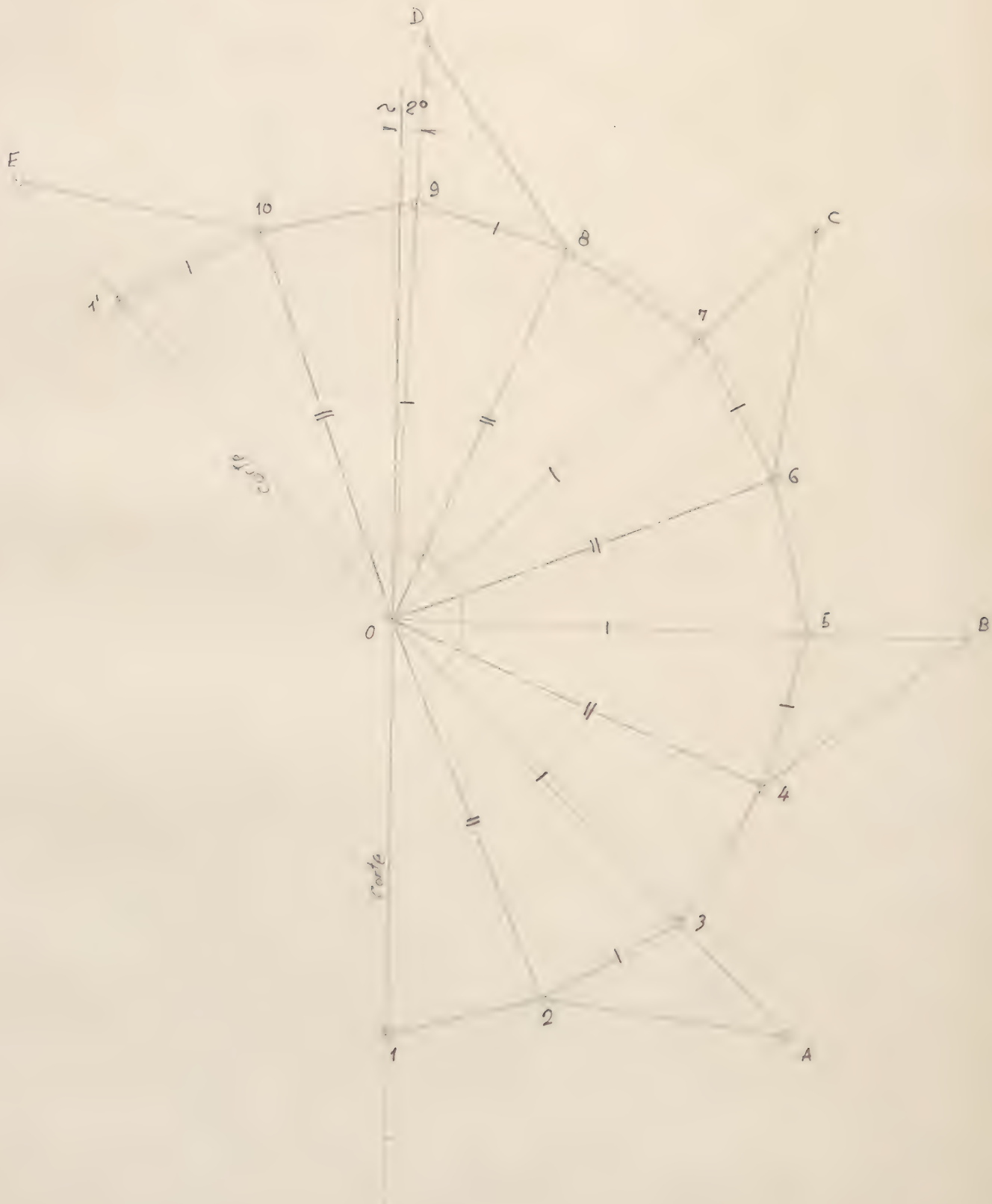
$$a_{20} = 2 \sqrt{\frac{5-\sqrt{5}}{10}} r_{ec}^{20} \cong 1,051462324... \times 110 \cong 115,7 \text{ mm}$$

Para obtener el modelo corpóreo de este estudio complementario, puede utilizarse este mismo modelo M-51.1, completándolo con las treinta aristas del icosaedro $a_{20} = 115,7 \text{ mm}$. Esto es lo que hemos realizado en el mismo.



PATRÓN FIGURA 6

$$E = 1:1$$



Icosaedro regular estrellado de caras triangulares convexas,
dos vértices de ángulos pentáedricos estrellados.

Lado del icosaedro regular inscrito en la esfera de radio $a = 71$ mm.

$$l_{20} = 110 : 0,951057... = 115,7 \text{ mm.}$$

Diagonal del pentágono regular de lado l_{20} = al lado del triángulo equilátero de la cara del icosaedro regular estrellado;

$$d = 115,7 \times 1,618034... = 187,2 \text{ mm.}$$

Radio de la circunferencia ex-circunscrita al pentágono equilátero.

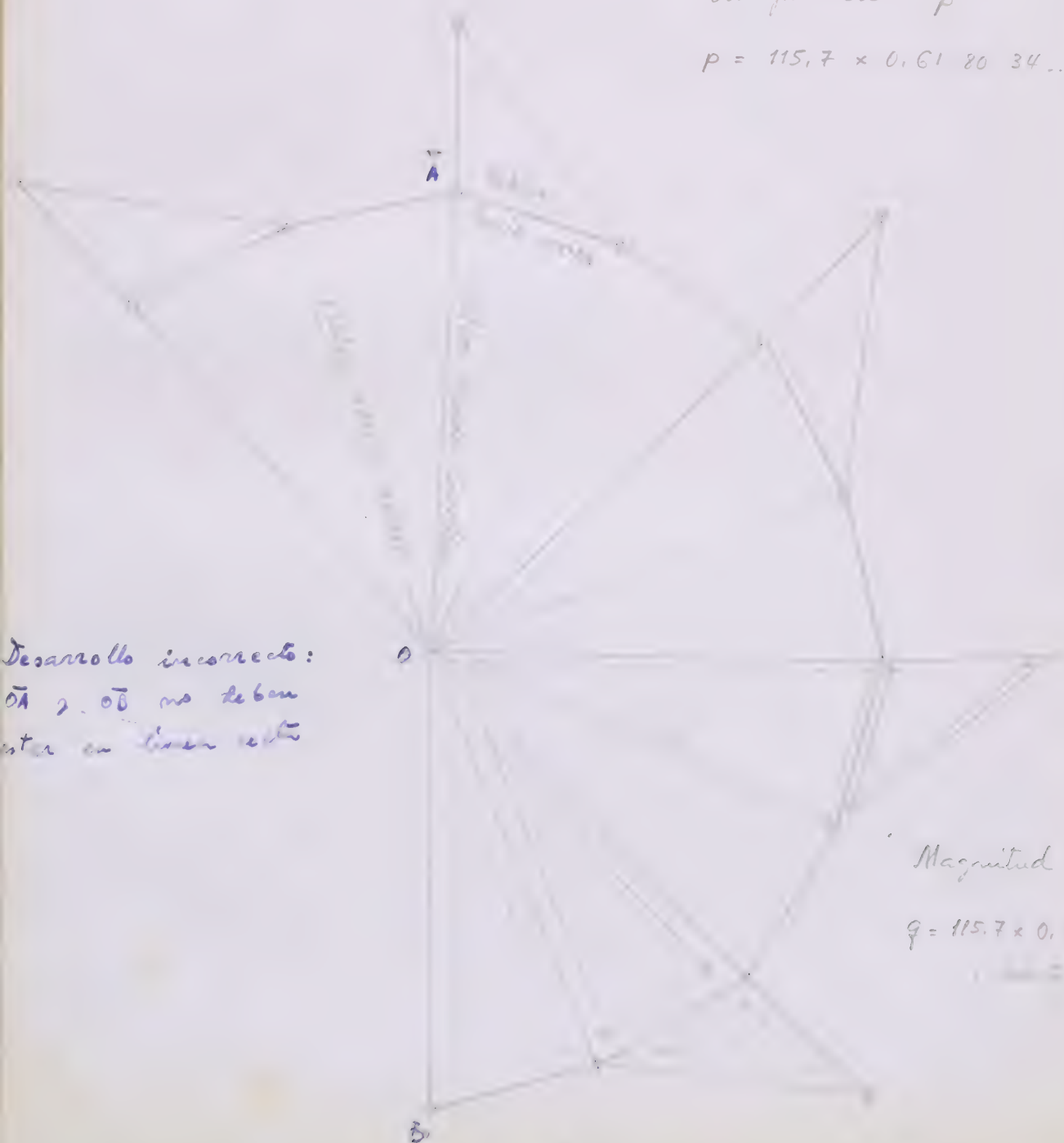
$$r = 115,7 \times 0,850651... = 98,4 \text{ mm.}$$

Magnitud "p"

$$p = 115,7 \times 0,618034... = 71,5 \text{ mm}$$

Desarrollo incorrecto:

\overline{OA} y \overline{OB} no deben estar en línea recta

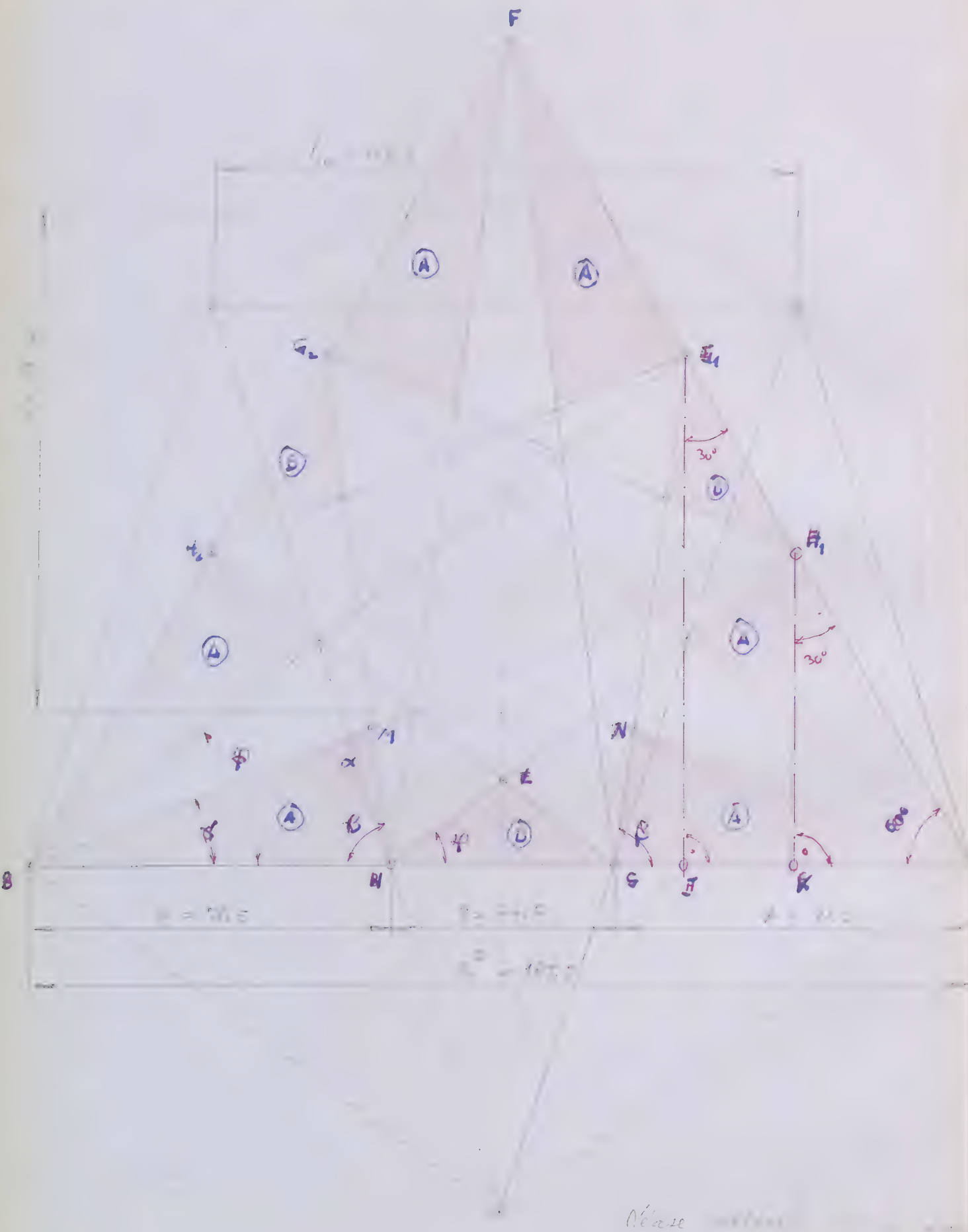


Magnitud "q"

$$q = 115,7 \times 0,381966... = 44,1 \text{ mm}$$

$$C = 2p + q = 2 \cdot 71,5 + 44,1 = 187,1 \text{ mm}$$

Losando regular estrellado de caras triangulares convexas,
 doce vértices de ángulos pentagónicos estrellados.



VARIANTE DEL MODELO CORPÓREO M-51.1,
DE IGUAL FORMA, SIENDO EL RADIO DE SU ES-
FERA CIRCUNSCRITA DE MENOR LONGITUD,
Y DE CARAS MACIZAS.

Radio de la esfera circunscrita:

$$r' = 76.1 \text{ m m.}$$

ENUNCIADO: Construir el modelo corpóreo del icosaedro regular estrellado, cóncavo, de cara macisa, de séptima especie, formado por veinte triángulos equiláteros y doce vértices de ángulos pentaédricos de segunda especie, concavando en cada uno de dichos ángulos, cinco caras del mismo.

Este modelo puede considerarse como una variante del modelo M-51.1, de igual forma, siendo de menor longitud el radio de su esfera circunscrita ${}^{20F}r_{ec} = 76.1 \text{ mm}$.

Para obtener el despiece de este modelo, aplicaremos el estudio analítico hecho para el modelo M-51.1, determinando el coeficiente "K" de reducción $K = 76.1 : 110$, o relación de los radios correspondientes, de sus respectivas esferas circunscritas:

DATO ÚNICO DEL EJERCICIO

$${}^{20F}r_{ec} = 76.1 \text{ mm}$$

COEFICIENTE DE REDUCCIÓN

$$K = \frac{76.1}{110} = 0.6918$$

A continuación presentamos diversas tablas de las longitudes asociadas en las figuras del modelo M-51.1, y de los valores

correspondientes a aplicar en la construcción de este nuevo modelo M-51.2, en el que son necesarias las siguientes piezas:

PIEZA N° 1 DESARROLLO TOTAL DE UNA PIRÁMIDE PENTAÉDRICA
QUE FORMA EL POLIEDRO ESTRELLADO

12 unidades

La figura n° 6, ha de construirse con las siguientes cotas modificadas

<u>FIGURA 6</u>	<u>Longitudes</u> m m	<u>Cotas modificadas</u> m m
<u>PIEZA N° 1</u> 12 (u)	73.1	50.6
	71.5	49.5
	27.9	19.3
	44.2	30.6

PIEZA N° 2 REFUERZO NORMAL EN CARAS TIPO "A"

60 unidades

La figura 7 ha de construirse con las siguientes cotas modificadas:

<u>FIGURA 7</u>	<u>Longitudes</u> m m	<u>Cotas modificadas</u> m m
<u>PIEZA N° 2</u> 60 (u)	73.1	50.6
	71.5	49.5
	27.9	19.3
	4	2.5



PIEZA N° 3 REFUERZO NORMAL EN CARAS TIPO "B"

60 unidades

La figura 8 ha de construirse con las siguientes cotas modificadas:

<u>FIGURA 8</u>	Longitudes m m	Cotas modificadas m m
<u>PIEZA N° 3</u>	44,2	30,6
60 (u)	27,9	19,3
	4	2,5

PIEZA N° 4 UNIONES ARISTAS EN LADOS DE 50,6 m m

60 unidades

La figura 9 ha de construirse con las siguientes cotas modificadas:

<u>FIGURA 9</u>	Longitudes m m	Cotas modificadas m m
<u>PIEZA N° 4</u>	71	50,5
60 (u)	3	2
	10°	10°
	36°	36°



PIEZA N°5 UNIONES ARISTAS EN LADOS DE 49,5 mm
60 unidades

La figura 10 ha de construirse con las siguientes cotas modificadas:

<u>FIGURA 10</u>	<u>Longitudes</u> mm	<u>Cotas modificadas</u> mm
<u>PIEZA N° 5</u>	69	48
60(u)	3	2
	10°	10°
	36°	36°

PIEZA N° 6 UNIONES ARISTAS EN LADOS DE 19,3 mm
30 unidades

La figura 11, ha de construirse con las siguientes cotas modificadas:

<u>FIGURA 11</u>	<u>Longitudes</u> mm	<u>Cotas modificadas</u> mm
<u>PIEZA N° 6</u>	26	18
30(u)	3	2
	36°	36°



PIEZA N° 7 FORRO COLOREADO EN CARAS TIPO (A)

120 unidades

La figura 12, ha de construirse con las siguientes cotas modificadas:

<u>FIGURA 12</u>	<u>Longitudes</u> mm	<u>Cotas modificadas</u> mm
<u>PIEZA N° 7</u>	73.1	50.6
	71.5	49.5
120 (u)	27.9	19.3
	2	2

PIEZA N° 8 FORRO COLOREADO EN CARAS TIPO (B)

60 unidades

La figura 13, ha de construirse con las siguientes cotas modificadas:

<u>FIGURA 13</u>	<u>Longitudes</u> mm	<u>Cotas modificadas</u> mm
<u>PIEZA N° 8</u>	42.2	30.6
	27.9	19.3
60 (u)	2	2

$$l_1 = 28.17 \text{ mm}$$

$$l_2 = 125.2 \text{ mm} \quad \text{B.D.E.}$$

$$l_3 = 49.5 \text{ mm}$$

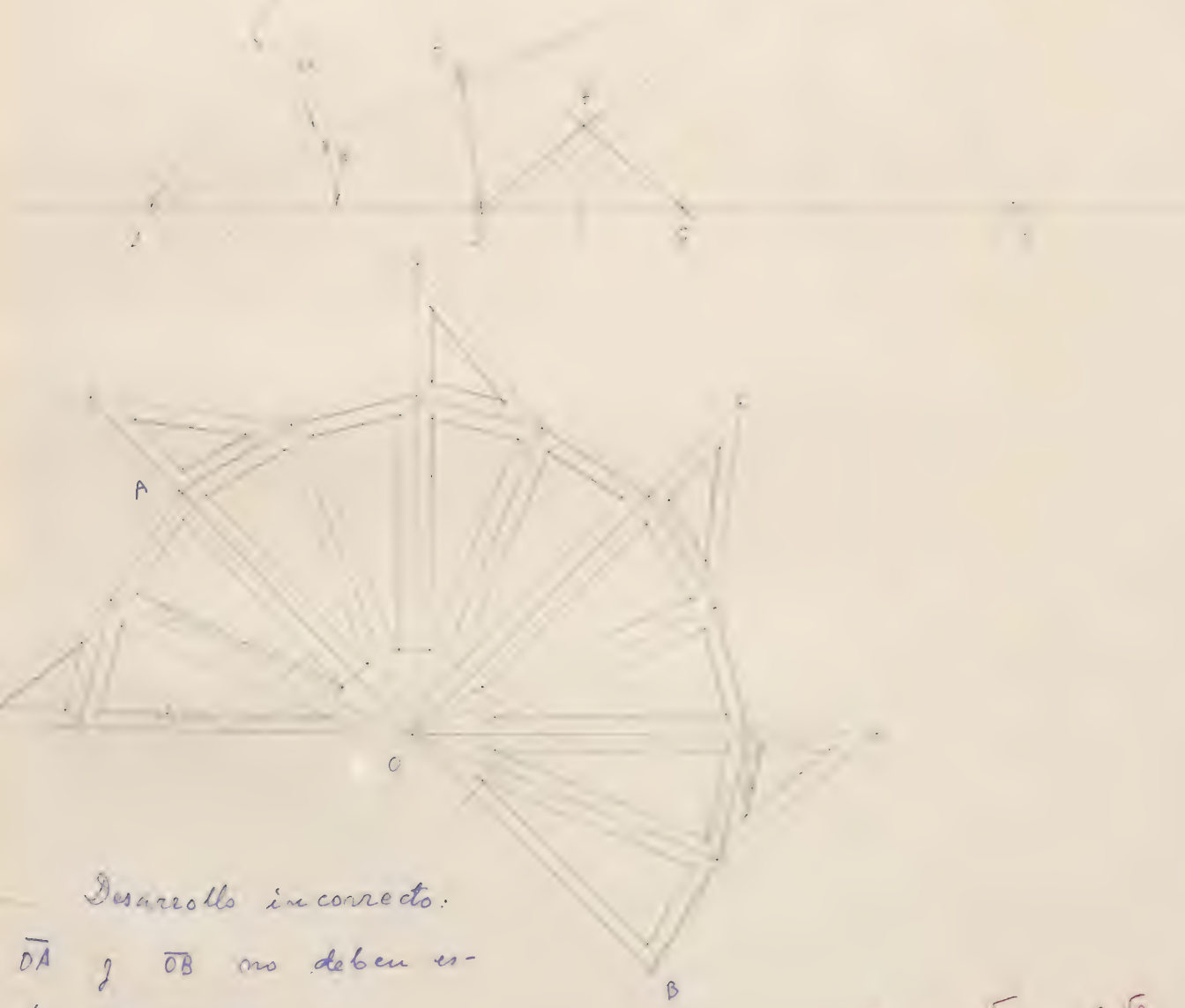
$$l_4 = 28.17 \text{ mm}$$

$$l_5 = 125.2 \text{ mm}$$

$$l_6 = 50.8 \text{ mm}$$

$$l_7 = 28.17$$

$$\frac{l_7}{l_5} \alpha = 0.7746 \quad \text{B}$$



Desarrollo incorrecto.

\overline{OA} y \overline{OB} no deben estar alineados.

$$l_5 \alpha = \sqrt{15} - 2\sqrt{3}$$

$$l_5 \beta = \sqrt{\frac{3}{5}}$$

$$\alpha \beta = 37^\circ 45' 40'' 478''$$

$$\beta = 22^\circ 16' 19'' 521748$$

20.107-11

VARIANTE DEL MODELO M-51.2 DE

IGUAL FORMA Y DIMENSIONES, PERO DE

CARAS VACIADAS

Radio de la esfera circunscrita:

$$r' = 76.1 \text{ m m.}$$

ENUNCIADO: Construir el modelo corpóreo del icosaedro regular estrellado, cóncavo, de caras vaciadas, de séptima especie, formado por veinte triángulos equiláteros y doce vértices de ángulos pentadécicos de segunda especie, concurrendo en cada uno de dichos ángulos cinco caras del mismo.

Este modelo puede considerarse como una variante del modelo M-51.2, de igual forma y dimensiones, pero de caras vaciadas.

Para obtener el dibujo de este modelo, aplicaremos el estudio analítico hecho para el modelo M-51.1, y las figuras del mismo, en las que tabularemos las dimensiones de las cotas modificadas, para poder dibujar las distintas piezas de su despiece, al reducirlas de tamaño en este modelo.

DATO ÚNICO DEL EJERCICIO

$${}^{20}E_{ee} = 76.1 \text{ m m}$$

COEFICIENTE DE REDUCCIÓN

$$K = \frac{76.1}{110} = 0.69 \hat{18}$$

Las piezas necesarias para la construcción de este modelo, son las siguientes:



PIEZA N° 1 DESARROLLO TOTAL DE UNA PIRÁMIDE PENTAÉDRICA
QUE FORMA EL POLIEDRO ESTRELLADO

12 unidades

La figura n° 6, ha de construirse con las siguientes cotas modificadas

<u>FIGURA 6</u>	<u>Longitudes</u> m m	<u>Cotas modificadas</u> m m
	73,1	50,6
<u>PIEZA N° 1</u>	71,5	49,5
	27,9	19,3
12 (u)	44,2	30,6

Esta figura 6, se completará con el contorno del vaciado de sus caras, que estará distanciados 2,5 mm de los bordes de las mismas.

PIEZA N° 2 REFUERZO NORMAL EN CARAS TIPO "A"

No existe en este modelo

PIEZA N° 3 REFUERZO NORMAL EN CARAS TIPO "B"

No existe en este modelo

PIEZA N° 4 UNIONES ARISTAS EN LADOS DE 50,6 m m
60 unidades

La figura 9, ha de construirse con las siguientes cotas modificadas:

FIGURA 9	Longitudes m m	Cotas modificadas m m
PIEZA N° 4	71	50.5
	3	2
	60 (u)	10°
	36°	36°

PIEZA N° 5 UNIONES ARISTAS EN LADOS DE 49.5 m m
60 unidades

La figura 10, ha de construirse con las siguientes cotas modificadas:

FIGURA 10	Longitudes m m	Cotas modificadas m m
PIEZA N° 5	69	48
	3	2
	60 (u)	10°
	36°	36°

PIEZA N° 6 UNIONES ARISTAS EN LADOS DE 19.3 m m
30 unidades

La figura 11, ha de construirse con las siguientes cotas modificadas:

FIGURA 11	Longitudes mm	Cotas modificadas mm
PIEZA N° 6	26	18
	3	2
30 (4)	36°	36°

PIEZA N° 7 FORRO COLOREADO EN CARAS TIPO (A)

No existe en este modelo

PIEZA N° 8 FORRO COLOREADO EN CARAS TIPO (B)

No existe en este modelo

DESCRIPCIÓN

VARIANTE DEL MODELO M-51.1, DE
 IGUAL FORMA Y DIMENSIONES, SIENDO
 EL ICOSAEDRO ESTRELLADO DE CARAS
 VACIADAS, Y EL DODECAEDRO REGU-
 LAR CÓNCAVO DEL NÚCLEO, DE CA-
 DAS MACIZAS.

Radio de la esfera circunscrita:

$$r' = 110 \text{ mm.}$$



ENUNCIADO: Construir el modelo corpóreo de la variante del modelo M-51.1, de igual forma y dimensiones, siendo el icosaedro estrellado, de caras vaciadas, y el dodecaedro regular cóncavo del núcleo, de caras macizas.

Las dimensiones de los poliedros componentes de este modelo, son las mismas que las del modelo M-51.1.

Observemos previamente, que este modelo quedan netamente separados el dodecaedro regular estrellado (de caras vaciadas), del núcleo (de caras macizas).

Este núcleo tiene una superficie exterior cuya forma aparente es la de un dodecaedro regular convexo, y sus caras pentagonales no son planas, sino que por el contrario son cóncavas y compuestas cada una de ellas por dos grupos de cinco triángulos isósceles iguales entre sí en cada grupo pero desiguales en los dos grupos; el fondo de dichas caras cóncavas lo constituye un pentágono regular convexo. El borde exterior de este conjunto de caras, es a su vez un pentágono regular convexo plano.

El conjunto de todas las superficies reseñadas anteriormente se representa en la figura 1 proyectada sobre el plano del borde exterior pentagonal regular.

Las dimensiones de estos polígonos (triángulos y pentágonos), las determinaremos seguidamente.



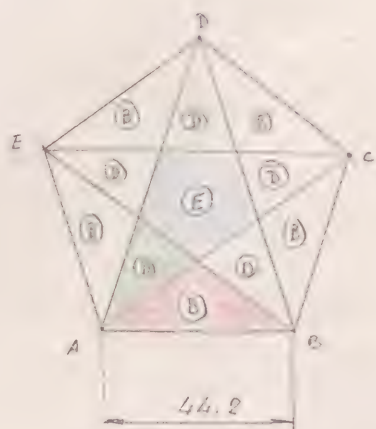


Figura 1

En la figura 1, se representa como base el polígono $ABCDE$, del borde plano de la cara exterior del modelo, que es un pentágono regular convexo, cuyo lado $L_5 = 44,2$, se obtuvo en el ejercicio M-51.1 (fórmula 32) h 13.

Las zonas \textcircled{B} y \textcircled{D} de la figura 1, son triángulos isósceles que se proyectan oblicuamente sobre el plano

$ABCDE$, y por consiguiente no están representados en su verdadera magnitud. La zona \textcircled{E} o fondo de la cara cóncava, es un pentágono regular convexo.

Las dimensiones de las zonas \textcircled{B} , \textcircled{D} y \textcircled{E} , son las siguientes:

- 1) Los cinco triángulos de las zonas \textcircled{B} , iguales entre sí, son los de la figura 5 del ejercicio M-51.1. Su forma y dimensiones se detallan en la figura 2

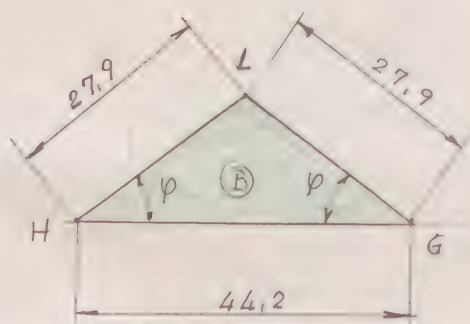


Figura 2

$$\varphi = 37^{\circ}, 76 \ 12 \ 43 \ 9 \dots \approx 37^{\circ} \ 45' \ 40,5''$$

$$\angle HGL = 104^{\circ}, 47 \ 75 \ 12 \ 2 \dots \approx 104^{\circ} \ 28' \ 37''$$

$$2\varphi + \angle HGL = 180^{\circ} \quad r_{ec}^{2a} = 110 \text{ mm}$$

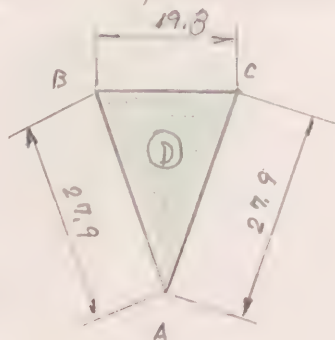
$$\overline{HL} = \overline{LG} = 0,25 \ 40 \ 08 \ 58 \ 1 \dots \times r_{ec}^{2a} = 27,9 \text{ mm}$$

$$\overline{HG} = 0,40 \ 16 \ 22 \ 83 \ 2 \dots \times r_{ec}^{2a} = 44,2 \text{ mm}$$

- 2) De los cinco triángulos isósceles ABC , representados en la



figura 3, como los lados iguales $AB = AC = 27.9$, con
líneas a los $HL = LG$ de la figura 2



$$\overline{AB} = \overline{BC} = \overline{HL} = \overline{LG} = 0.254008581 \dots r_{ec}^{20} = 27.9 \text{ m m.}$$

Figura 3

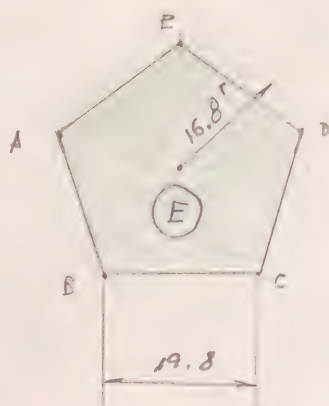
El lado desigual o base BC , se obtiene en la figura 3 del ejercicio M-51.1

(b7) en la que por el cálculo del segmento MM' del triángulo BMM' , nos dará su longitud, por lo que tendremos:

$$\begin{aligned} \boxed{\overline{BC}} &= MM' \text{ en la figura 3 del ejercicio M-51.1} = \\ &= 2 \overline{BM} \operatorname{sen} (30^\circ - \gamma) = 2 \times 0.6650031 \dots \times \operatorname{sen} (30^\circ - \gamma) r_{ec}^{20} = \\ &= 2 \times 0.6650031 \dots \times \operatorname{sen} (30^\circ - 22^\circ, 23875604) \times r_{ec}^{20} = \\ &= 0.17961192 \dots \times 110 = \boxed{19.8 \text{ m m}} \end{aligned}$$

- 3) El pentágono regular convexo de la cara E (fig. 1) o fondo de la cara cóncavo, se representa en la figura 4, siendo su lado $l_5 = 19.8 \text{ m m}$; el radio r_c^5 de su circunferencia circunscrita, será (ver fórmula (3) G.P. 1.400-44)

$$\begin{aligned} \boxed{r_c^5} &= \sqrt{\frac{5 + \sqrt{5}}{10}} l_5 = 0.850650808 \dots \times 0.17961192 \dots \times r_{ec}^{20} = \\ &= 0.152786406 \dots \times 110 = \boxed{16.8 \text{ m m}} \end{aligned}$$



$$\overline{BC} = 0,179611192... = r_{ec}^{20}$$

$$r_5 = 0,152786406... = r_{ec}^{20}$$

Figura 4

Como consecuencia de los cálculos anteriores y los realizados en el ejercicio M-51.1, podemos proceder a la construcción del modelo planteado en el presente ejercicio, siendo para ello necesarias las siguientes piezas:

A) DODECAEDRO REGULAR DE CARAS CÓNCAVAS Y MACIZAS DEL NÚCLEO

PIEZA Nº 1 DESARROLLO LATERAL DE UNA CARA PENTAGONAL CÓNCAVA 12 unidades

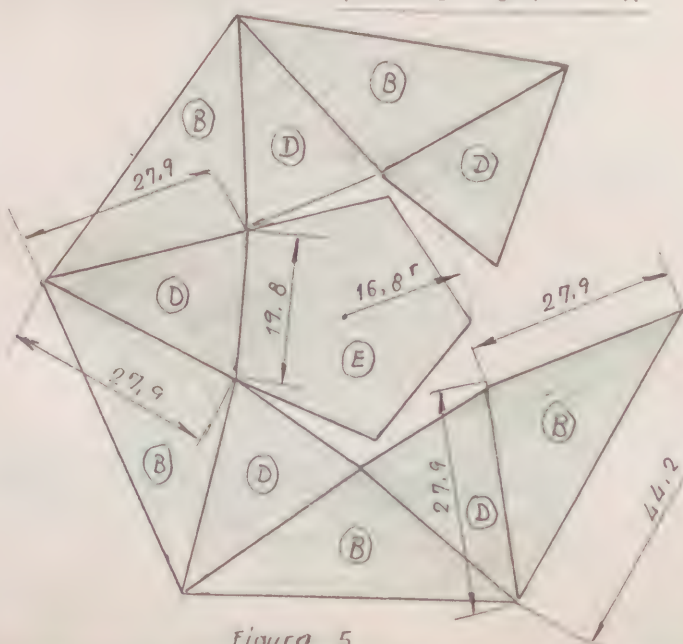


Figura 5

Este desarrollo se compone de 5 triángulos tipo (B); 5 de tipo (D) y un pentágono regular convexo tipo (E); los triángulos (B) y (D) son isósceles. Todos estos polígonos han de estar acoplados como se indica en la fi-

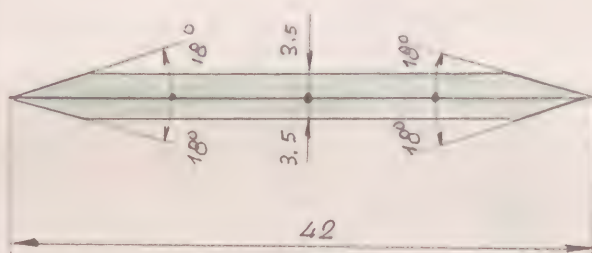
guia 5. Todos los dobleces han de hacerse en el mismo sentido (hacia abajo o hacia arriba).

PIEZA N° 1 12 (u)

Figura 5

PIEZA N° 2 UNIONES ARISTAS DE 44,2 mm 30 unidades

La forma y dimensiones se detallan en la figura 6

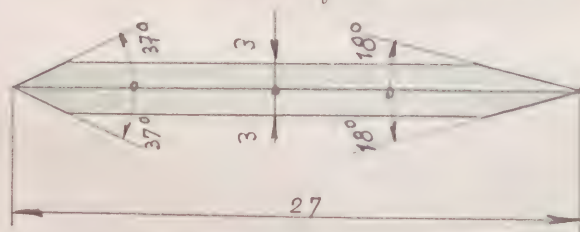


PIEZA N° 2 30 (u)

Figura 6

PIEZA N° 3 UNIONES ARISTAS DE 27,7 mm 60 unidades

La forma y dimensiones se detallan en la figura 7

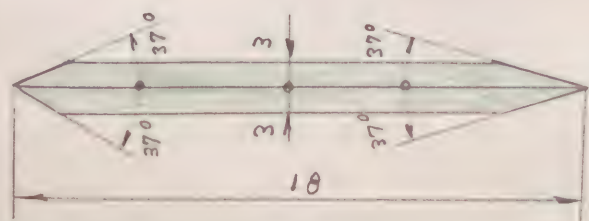


PIEZA N° 3 60 (u)

Figura 7

PIEZA N° 4 UNIONES ARISTAS DE 16,8 mm 60 unidades

La forma y dimensiones se detallan en la figura 8



PIEZA N° 4 60 (u)

Figura 8

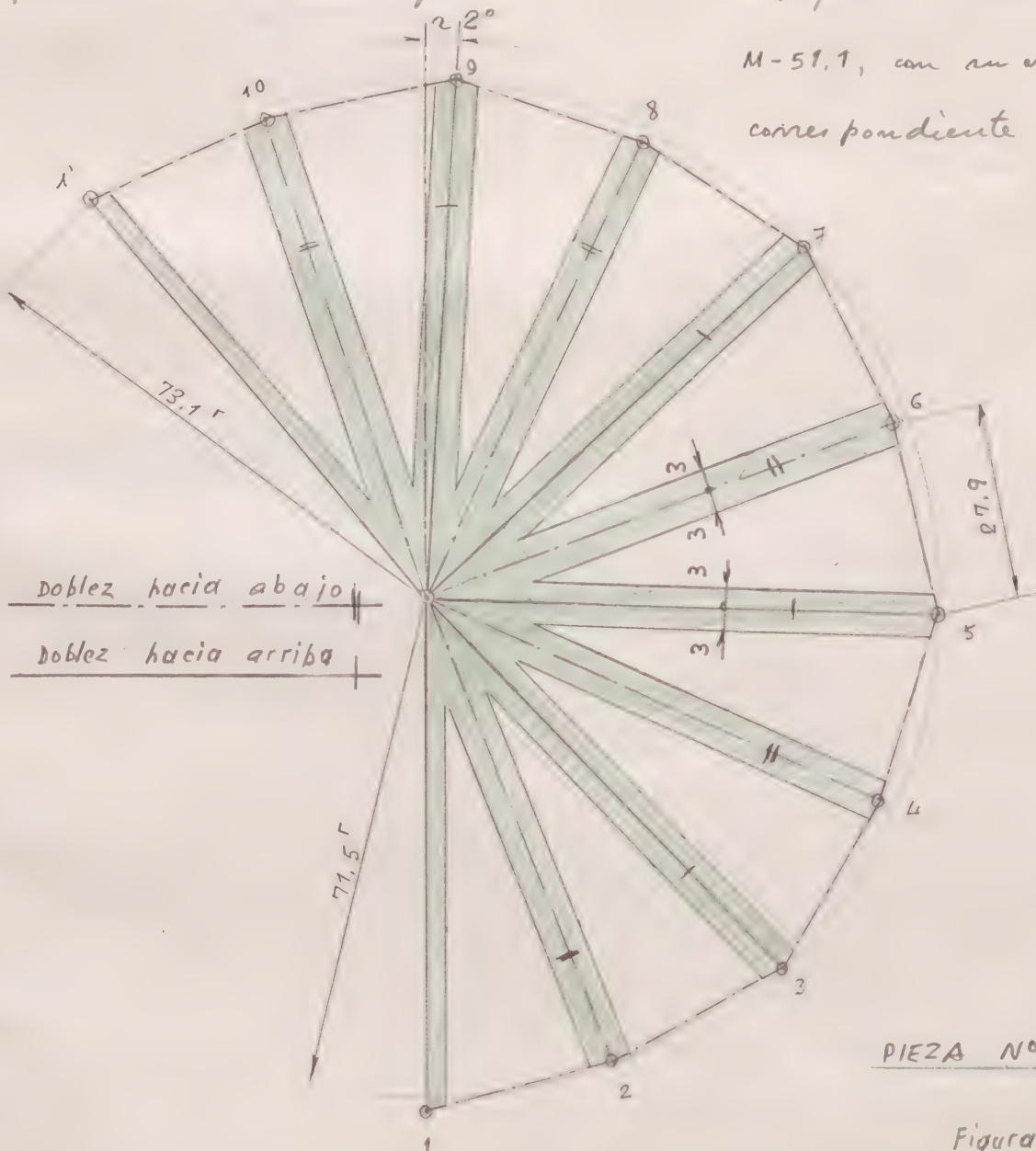
Figura 8

B) ICOSAEDRO ESTRELLADO DE CARAS VACIADAS

PIEZA N°5 DESARROLLO LATERAL DE UNA DE LAS DOCE PIRÁ-
MIDES PENTAÉDRICAS QUE FORMAN EL CONTORNO
APARENTE DEL ICOSAEDRO ESTRELLADO. 12 unidades

La forma y dimensiones se detallan en la figura 9, com-
puesta de 10 caras iguales a las de la figura 4 del ejercicio

M-51.1, con un vaciado
correspondiente



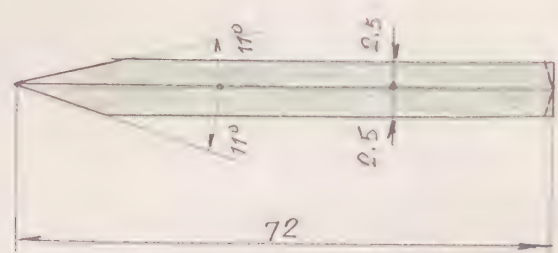
PIEZA N°5 12(u)

Figura 9

Figura 9

PIEZA N° 6 UNIONES EN ARISTAS DE 73.1 mm 60 unidades

La forma y dimensiones se detallan en la figura 10



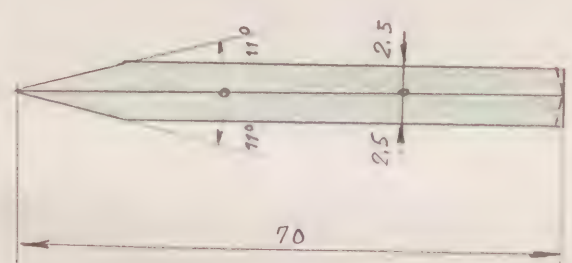
PIEZA N° 6 60 (u)

Figura 10

Figura 10

PIEZA N° 7 UNIONES EN ARISTAS DE 71.5 mm 60 unidades

La forma y dimensiones se detallan en la figura 11



PIEZA N° 7 60 (u)

Figura 11

Figura 11

PATRONES

Figura 9

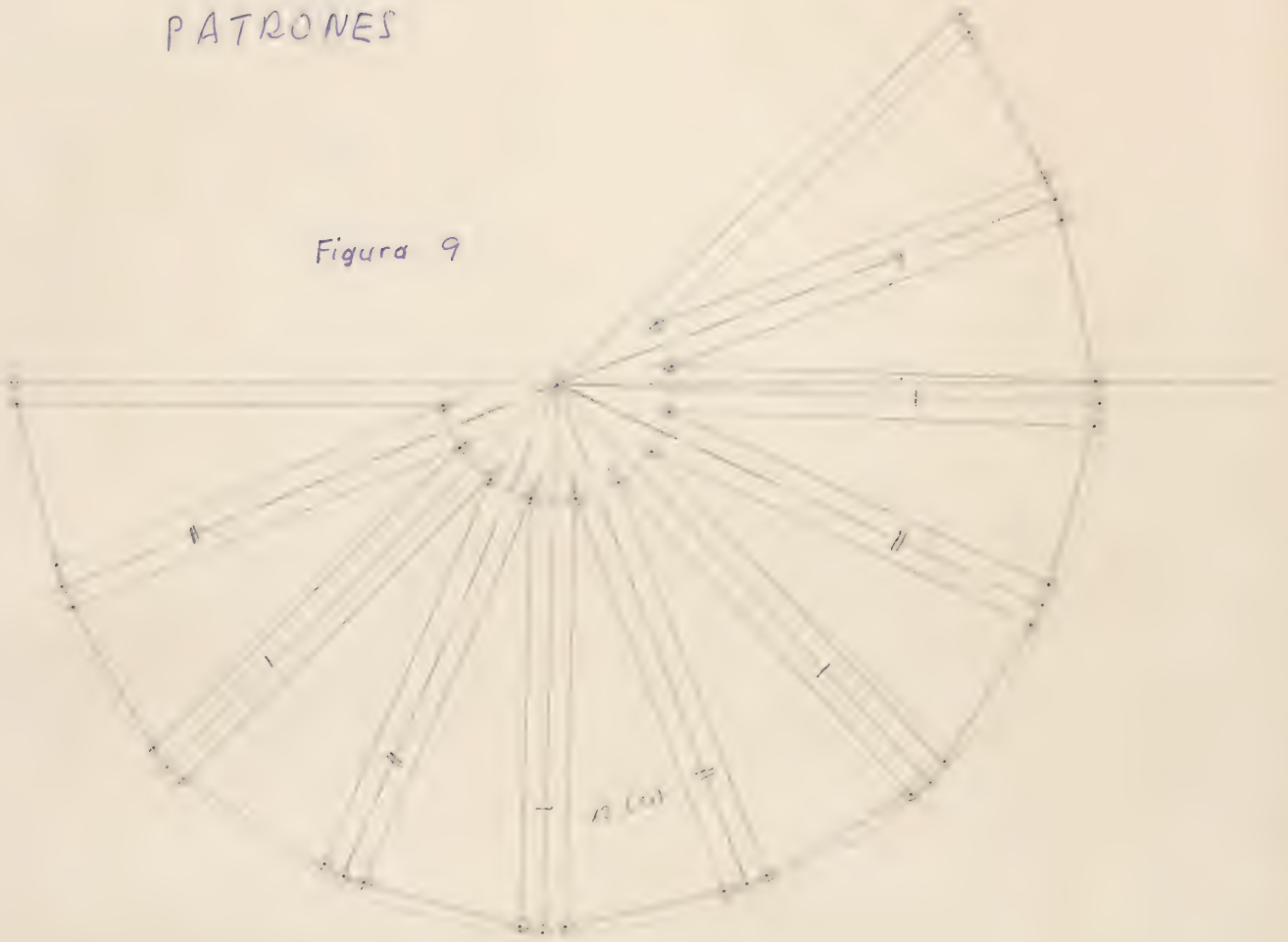
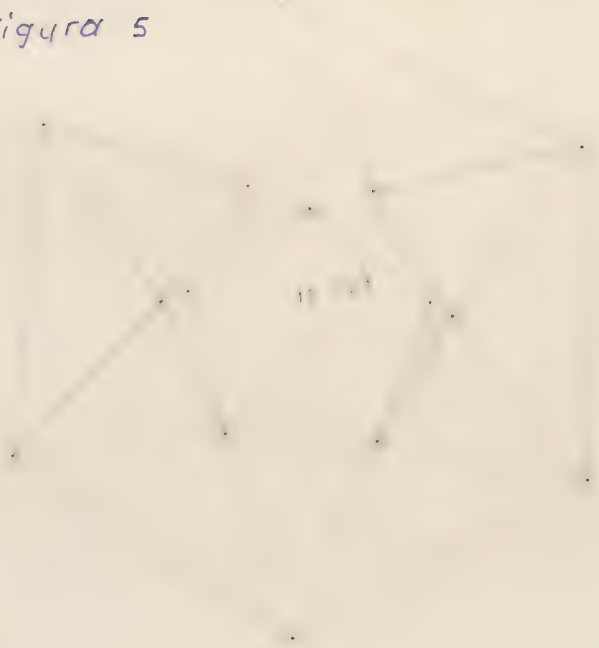


Figura 5



CONSTRUCCION DE POLIEDROS

ARQUIMEDIANO Nº VII

MODELO DE CARAS MACIZAS



CONSTRUCCIÓN DE POLIEDROS

ARQUIMEDIANO N° VII

obtenido del tetraedro regular, por truncadura de sus vértices, tomando 1:3 de la arista de éste, a partir de cada vértice.
($l_4 = 107.79 \text{ mm}$)

MODELO DE CARAS MACIZAS EN EL ARQUIMEDIANO VII Y VACIADAS EN EL TETRAEDRO REGULAR.

ENUNCIADO: Construir el poliedro semiregular convexo "Arquimedeano VII, (ver lám. 39, ejercicio G.P. 3400-?) obtenido de un tetraedro regular, por truncadura de sus vértices, tomando un tercio de la arista de este, a partir del vértice.

En el estudio del modelo n° 39-3, vimos que el Arquimedeano VII puede deducirse de un tetraedro regular generado, de dos formas diferentes, bien por truncadura de sus caras, o bien por truncadura de sus vértices.

El modelo n° 53, se estudia la obtención del mencionado Arquimedeano VII, por truncadura de sus vértices, tomando como radio el radio $r_{C-4} = 110 \text{ mm}$ de la esfera circunscrita al tetraedro generador, de arista $l_4 = 179.63 \text{ mm}$. y $l_{VII} = 59.9 \text{ mm}$, la del Arquimedeano.

Mas según dedujimos en el desarrollo del modelo n° 52, los arquimedeanos obtenidos por truncadura de caras o de vértices de un mismo tetraedro regular de aristas iguales, son desiguales, siendo el mayor el primero que el segundo. Si se desea que el Arquimedeano obtenido sea de igual tamaño en ambos, es preciso variar las aristas de ambos.

En el modelo n° 39-3 se obtuvo un Arquimedeano, de arista $l_{VII} = 35.93 \text{ mm}$, partiendo de un tetraedro regular de arista $l_4 = 179.63$, por truncadura de sus caras.

En el modelo n° 39-4 se obtuvo un Arquimedeano, de arista $l_{VII} = 59.88 \text{ mm}$, partiendo de un tetraedro regular de arista $l_4 = 179.63 \text{ mm}$ por truncadura de sus vértices.

En este modelo n° 39-6 vamos a obtener un Arquimedeano de arista $l_{VII} = 35.93 \text{ mm}$, partiendo de un tetraedro regular de arista $l_4 = 3 \times 35.93 = 107.79 \text{ mm}$, por truncadura de sus vértices (análogo al del modelo n° 53), a fin de conseguir que el Arquimedeano resultante sea del mismo tamaño del del modelo n° 39-3

El radio r_{c-4} de la esfera circunscrita a este tetraedro, será pues (ver fórm. 3)

$$r_{c-4} = \frac{\sqrt{6}}{4} \times l_4 = \frac{\sqrt{6}}{4} \times 107.79 = \underline{66.01 \text{ mm.}}$$

La relación de las aristas de los dos tetraedros generadores y la de los radios de las respectivas esferas circunscritas, es de

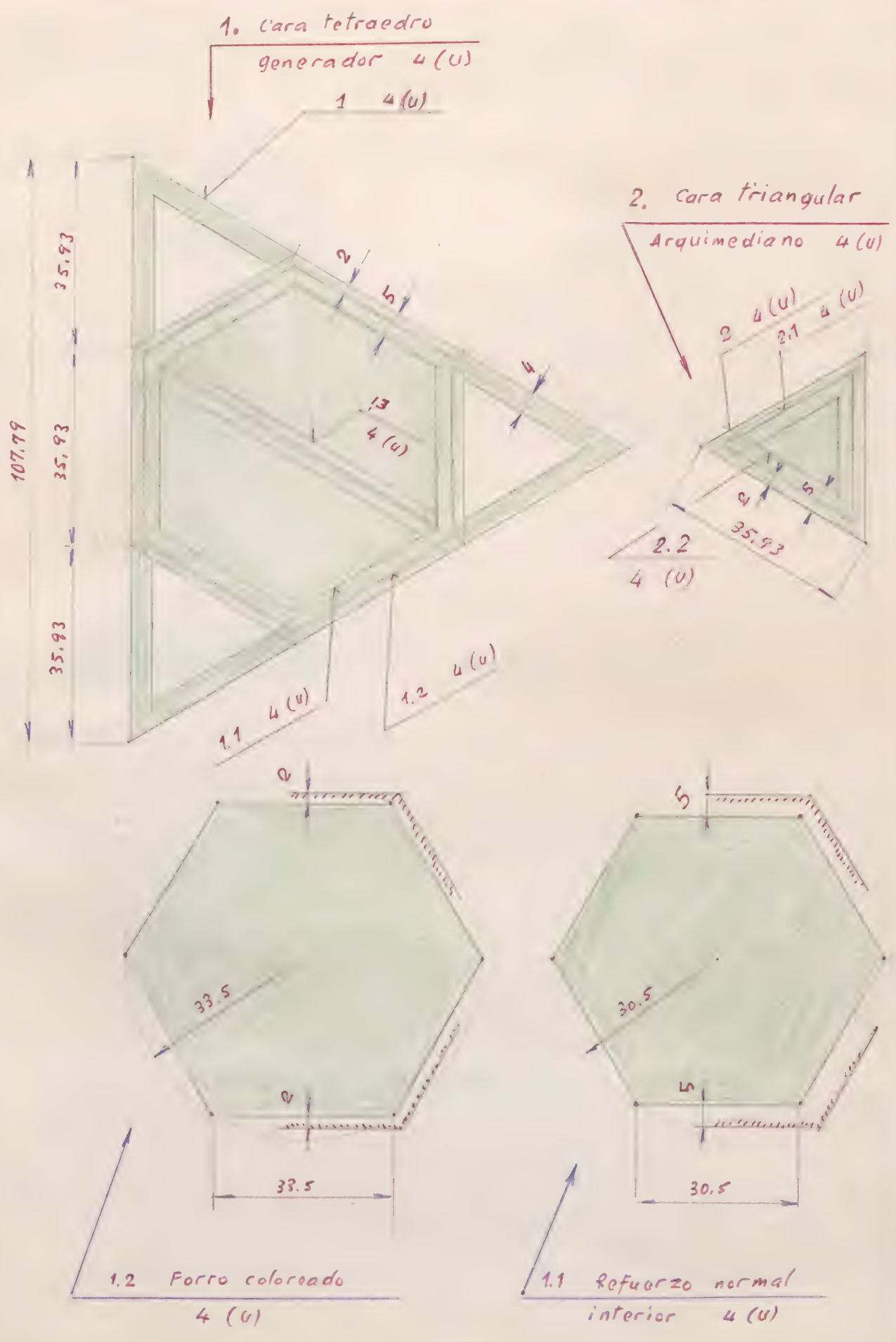
$$\frac{107.79}{179.63} = \frac{66.01}{110} = \frac{3}{5} = 0.6$$



Modelo de caras macizas en el Arquimediano VII y variadas en el tetraedro regular

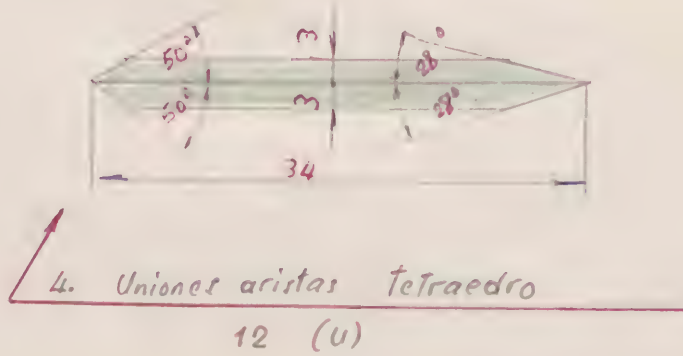
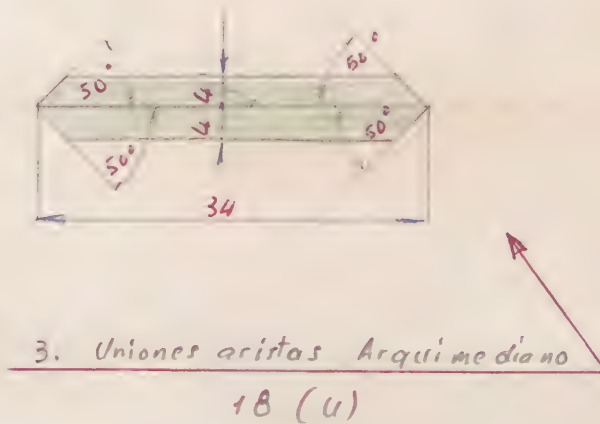
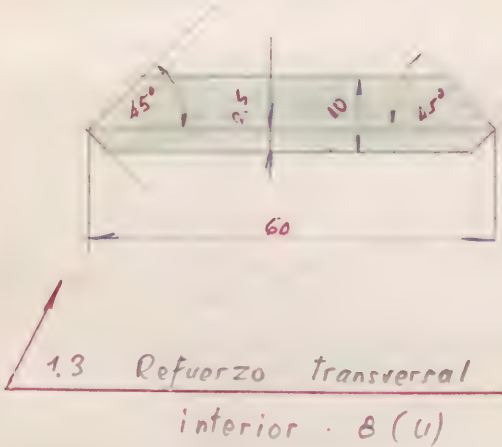
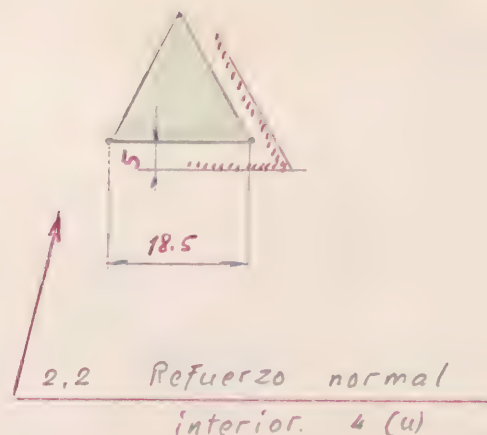
Modelo n° 39-6

ARQUIMEDIANO VII





ARQUIMEDIANO VII





Modelo de caras macizas en el Arquimedio VII y vaciadas en el tetraedro regular

Modelo n° 39-6

ARQUIMEDIANO VII

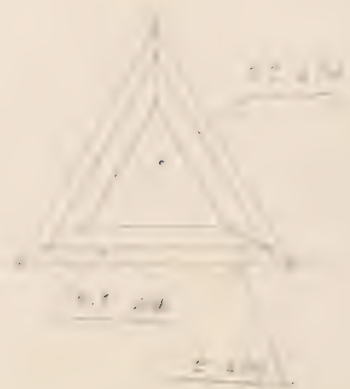
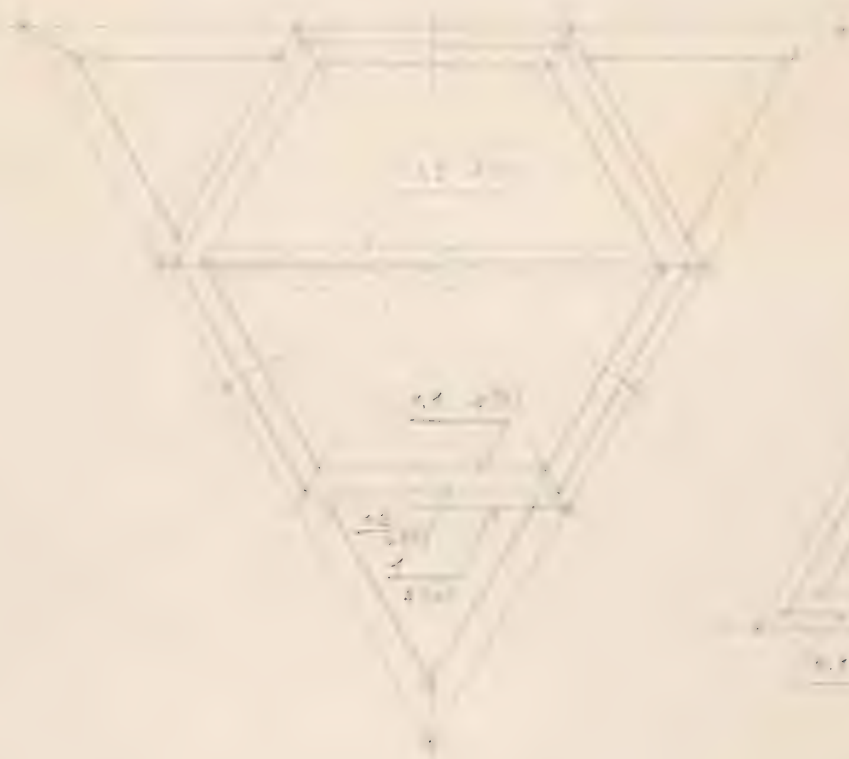
Material necesario para la construcción de un modelo de caras macizas en el Arquimedio VII y vaciadas en el tetraedro regular

A) <u>Caras del tetraedro generador</u>	Marca 1	4 unidades
B) <u>Caras del Arquimedio VII</u>		
Caras triangulares:		
Refuerzo normal interior:	" 2	4 id.
Caras exagonales:		
Refuerzo normal interior:	" 1.1	4 id.
Refuerzo transversal interior:	" 1.3	8 id.
C) <u>Uniones aristas</u>		
Aristas tetraedro generador:	" 4	12 id.
Aristas Arquimedio VII	" 3	18 id.
D) <u>Forro coloreado</u>		
En caras triangulares	" 2.1	4 id.
En caras exagonales	" 1.2	4 id.

NOTA: Este modelo es análogo al modelo n° 53, y representa la obtención del Arquimedio VII, por truncadura de los vértices de un tetraedro regular, inscrito en una esfera de radio $r_{c-4} = 66,01 \text{ mm}$ (arista del tetraedro $l_4 = 107,79 \text{ mm}$). Las aristas de los dos tetraedros, para el mismo Arquimedio, están en la relación 3:5



Asquimediano VII, obtenido del tetraedro regular, por truncadura de sus vértices, tomando un tercio del lado de este, a partir de cada vértice



Modelo de caras necesarias en el Asquimediano VII, recortadas en el tetraedro regular



CONSTRUCCIÓN DE POLIEDROS

ARQUIMEDIANO N° VII

obtenido como sólido común de la intersección de dos tetraedros regulares, de centro y alturas coincidentes. Las aristas de ambos tetraedros están en la relación 3:5, y los vértices de los mismos serán situados sobre sus alturas respectivas con magnitudes iguales a los $\frac{3}{4}$ de las mismas, a partir de su centro común y en direcciones opuestas.

MODELO DE CARAS MACIZAS EN EL ARQUIMEDIANO VII
Y VACIADAS EN LOS DOS TETRAEDROS REGULARES. -

ENUNCIADO: Construir el poliedro semiregular convexo "Arquimédiano VII" (ver lám. 39, ejercicio G.P. 3400-?)
obtenido como sólido común de la intersección de
dos tetraedros regulares de centros y alturas coinci-
dentes. Las aristas de ambos tetraedros están en
la relación 3:5, y los vértices de los mismos serán
situados sobre sus alturas respectivas con magni-
tudes iguales a las $\frac{3}{4}$ de las mismas, a partir de
su centro común y en direcciones opuestas.

Este modelo es análogo a los estudiados en los modelos
nº 39-5 y 39-6.

- A) En el modelo 39-5 se obtiene el Arquimédiano VII, partiendo de un tetraedro regular, por truncadura de sus aristas, al tomar sobre sus aristas las distancias 3:5 a partir de los vértices. La arista de este tetraedro generador es de: $l_4 = 179,63 \text{ mm.}$ La arista del Arquimédiano generado es de: $l_{VII} = 35,93 \text{ mm.}$
- B) En el modelo 39-6, se obtiene también el mismo Arquimédiano VII, partiendo igualmente de un tetraedro regular (menor que el del A), por truncadura de sus vértices, al tomar $\frac{1}{3}$ de la arista de este, a partir de cada vértice. La arista de este tetraedro generador es de $l_4 = 107,79 \text{ mm.}$ La arista del Arquimédiano generado, es igual a la del anterior A, y de valor: $l_{VII} = 35,93 \text{ mm.}$

c) En el modelo n° 39-7, que estamos desarrollando, obtenemos el mismo Aquimediario VII, como intersección de los dos tetraedros generadores A) y B) de los modelos 39-5 y 39-6, respectivamente, con las condiciones de situación mutua que se fijan en el enunciado.

El resultado es un modelo análogo al n° 39-5, con la variante de tener macizas las caras del Aquimediario VII, y vaciadas las de los dos tetraedros generadores.

Las dimensiones de los dos tetraedros generadores, son las siguientes:

1) Tetraedro mayor:

$$\left\{ \begin{array}{l} l_u = 179,63 \quad \text{m m} \\ r_{c-u} = 110 \quad \text{m m} \\ h_u = \frac{\sqrt{6}}{3} l_u = 146,67 \end{array} \right\} = \text{Altura}$$

2) Tetraedro menor:

$$\left\{ \begin{array}{l} l_u = 107,79 \quad \text{m m} \\ r_{c-u} = 66,07 \quad \text{m m} \\ h_u = 88,01 \quad \text{m m} \end{array} \right\} = \text{Altura}$$

3) Aquimediario VII

$$\left\{ \begin{array}{l} l_{VII} = 85,93 \quad \text{m m} \\ r_{c-u} = 49,13 \quad \text{m m} \end{array} \right\}$$



Modelo de caras macizas en el Arquimedeano VII y vaciadas en los dos tetraedros regulares.

MODELO N° 39-7

ARQUIMEDIANO VII

Material necesario para la construcción de un modelo de caras macizas en el Arquimedeano VII y vaciadas en los dos tetraedros regulares.

Del modelo n° 39-3 se toman la siguiente cantidad:

A) <u>Caras del tetraedro mayor</u>	Marca 1	4 unidades
B) <u>Caras del Arquimedeano VII</u>		
Caras triangulares:	" 2	4 id.
Refuerzo normal interior:	" 2.2	4 id.
Caras esagonales:	" 3	4 id.
Refuerzo normal interior:	" 3.2	4 id.
Refuerzo transversal interior:	" 3.3	8 id.
C) <u>Uniones aristas:</u>		
Aristas tetraedro:	" 4	6 id.
Aristas Arquimedeano:	" 5	18 id.
D) <u>Refuerzos:</u>		
Suspension Arquimedeano:	" 6	12 id.
E) <u>Fondo coloreado:</u>		
En caras triangulares:	" 2.1	4 id.
En caras esagonales:	" 3.1	4 id.
F) <u>Del modelo 39-5:</u>	<div> <div></div> <div> <div>" 4 4 id.</div> <div>" 4.1 12 id.</div> </div> </div>	

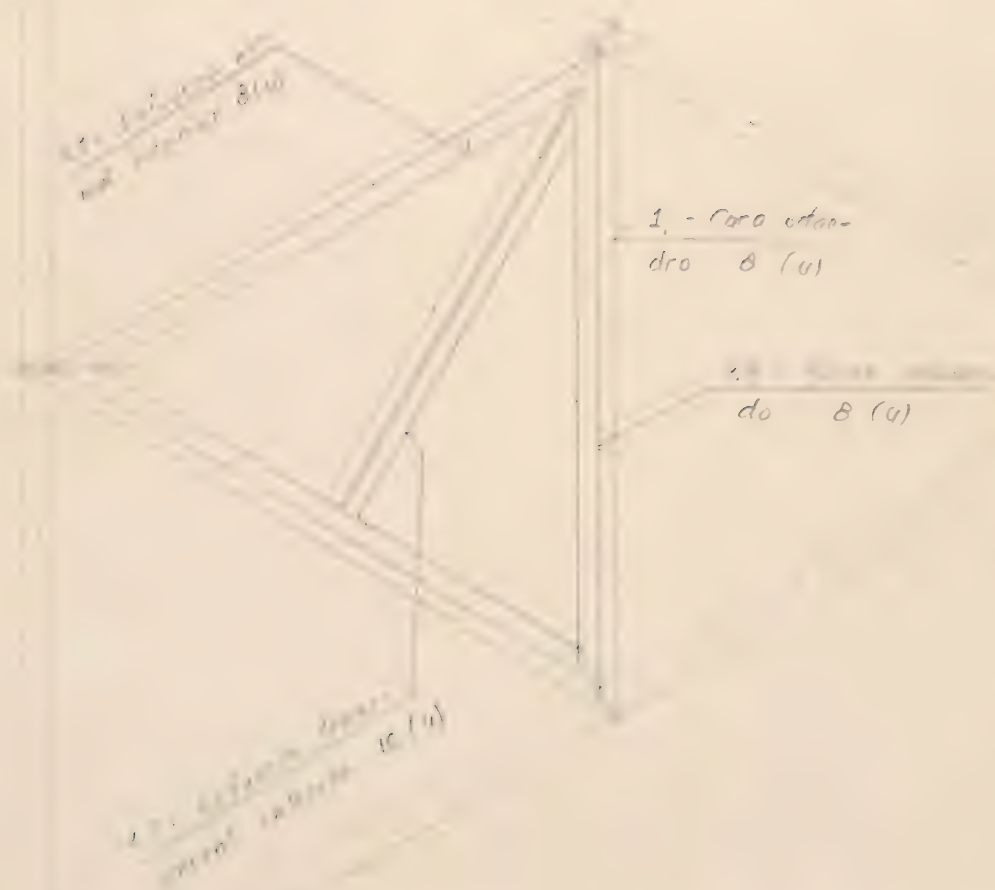




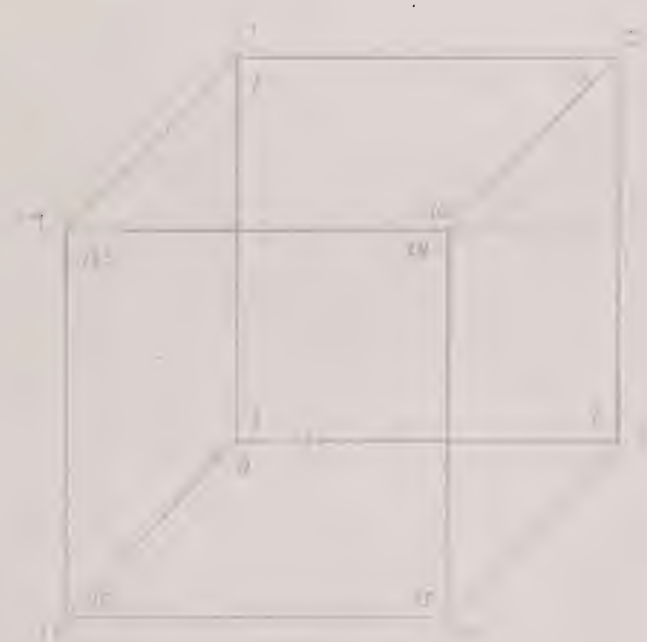
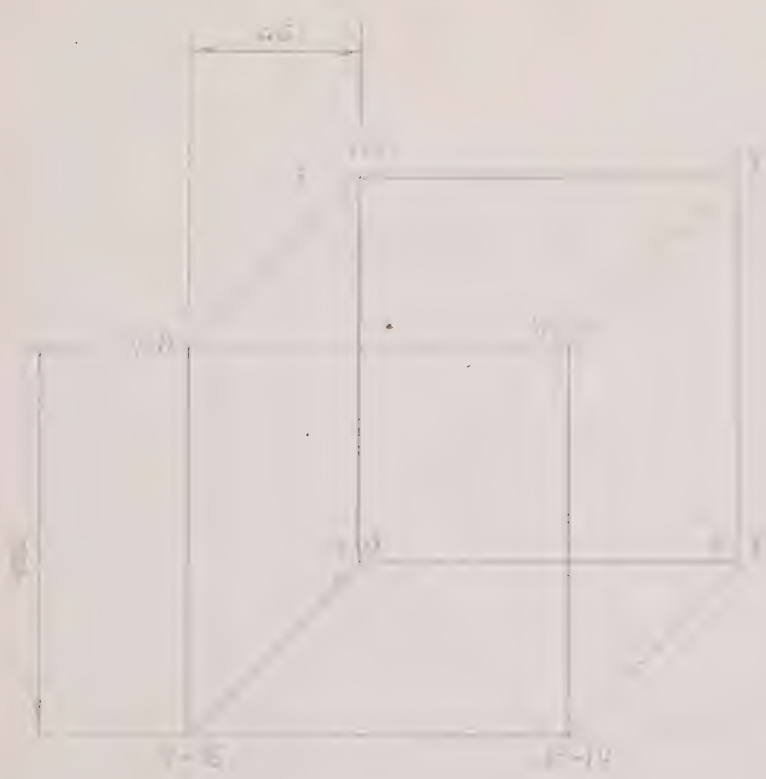


MODELO N° 3-3

Modelo de caras macizas en el octaedro regular, y macizas
en el tetraedro generados.



Octaedro regular convexo, formado del tetraedro regular por truncadura de sus vértices, tomando el centro de cada arista de aquél.

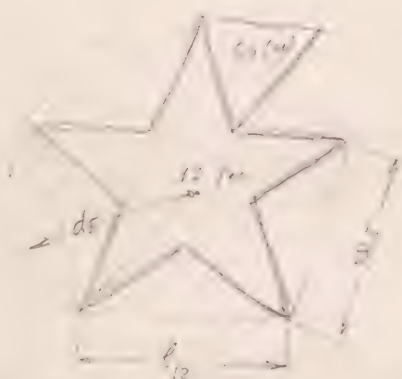


1X



Estudio del poliedro semi-regular, construido con ayuda de

- 1) 12 pentágonos regulares, enlazados de 2 en 2 y de 5 de 5
- 2) 30 triángulos equiláteros.



Cálculo

Radio de la esfera circunscrita: $a = 110 \text{ mm}$

$$l_{12} = \text{lado del dodecaedro regular inscrito} = \frac{110}{1,401259} = 78,50 \text{ mm}$$

$$d_5 = \text{Radio de la circunferencia circunscrita al pentágono regular de una cara del dodecaedro} = 78,5 \times 0,850661 = 66,78 \text{ mm}$$

Estudio del poliedro conicavo, obtenido al construir sobre cada cara de un dodecaedro regular, una pirámide pentagonal regular, cuyas caras son triángulo equilátero.

A) Vértices de las pirámides tomados hacia el exterior de las caras del dodecaedro

l_{12} = lado del dodecaedro regular

l_2 = lado de las caras triangulares regulares

$$\underline{l_{12}} = l_3$$

k_5 = apotema del pentágono regular de lado l_{12}

$$\underline{k_5} = \sqrt{\frac{5+2\sqrt{5}}{20}} l_{12} = 0.688192 \dots l_{12}$$

h_3 = altura de una cara triangular de lado l_3

$$\underline{h_3} = \frac{\sqrt{3}}{2} l_3 = 0.866025 \dots l_3$$

h = altura de la pirámide pentagonal regular de lado l_3

$$\begin{aligned} \underline{h} &= \sqrt{(h_3)^2 - (k_5)^2} = \sqrt{\left(\frac{\sqrt{3}}{2} l_3\right)^2 - \left(\sqrt{\frac{5+2\sqrt{5}}{20}} l_{12}\right)^2} = \left(\text{como } l_3 = l_{12}\right) = \\ &= \sqrt{\frac{3}{4} - \frac{5+2\sqrt{5}}{20}} l_{12} = \sqrt{\frac{15-5-2\sqrt{5}}{20}} l_{12} = \sqrt{\frac{10-2\sqrt{5}}{20}} l_{12} = \sqrt{\frac{5-\sqrt{5}}{10}} l_{12} = \\ &= 0.525731 \dots l_{12} \end{aligned}$$

c_{12} = radio de la esfera inscrita al dodecaedro regular de lado l_{12}

$$\underline{c_{12}} = \sqrt{\frac{25+11\sqrt{5}}{40}} l_{12} = 1.113516 \dots l_{12}$$

a = radio de la esfera circunscrita al poliedro estudiado, que pasa por los vértices de las pirámides.

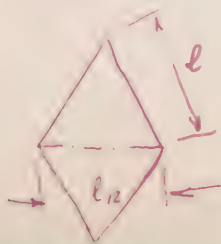
$$a = c_{12} + h = \left[\sqrt{\frac{85 + 11\sqrt{5}}{20}} + \sqrt{\frac{5 - \sqrt{5}}{10}} \right] \rho_{10} = (1.113515 + 0.525721) \rho_{10} \\ = 1.639247 \dots \rho_{12}$$

Para $\left\{ \begin{array}{l} a_{12} = 76.1 \text{ mm.} \\ l_{12} = 54.3 \text{ mm} \end{array} \right\} \quad l_{12} = \frac{76.1}{1.401359} = 54.3 \text{ mm.}$

Para $\left\{ \begin{array}{l} c = 76.1 \text{ mm} \\ l'_{12} = 46.4 \text{ mm} \end{array} \right\} \quad l'_{12} = \frac{76.1}{1.639247} = 46.4 \text{ mm.}$

46.4 mm. es el lado del poliedro a construir (radio de la esfera circunscrita = 76.1 mm.)

Nota: Este poliedro es muy parecido al representado en la Lámina 32, pero i no igual! - (Dos caras contiguas no están.



$l_{12} > l$ en el mismo plano)

B) Vértices de las pirámides tomados hacia el interior de las caras del dodecaedro.

Se obtiene un poliedro cóncavo en el que dos aristas no contiguas de las cinco pirámides que rodean a cada cara del dodecaedro, forman un ^{plano} pentágono regular estrellado de segunda especie; este pentágono estrellado se deriva a su vez de uno regular cuyo lado es la diagonal de la cara del dodecaedro dado. (ver figura 1)

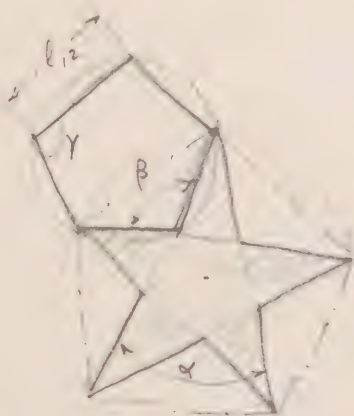


Figura 1

$$\alpha = \frac{1}{2} \times \frac{360^\circ}{5} = 36^\circ$$

$$\beta = \frac{1}{2} \left(\frac{360^\circ}{5} + 2 \times \frac{360^\circ}{5} \right) = 108^\circ$$

$$\underline{\gamma} = \frac{1}{2} \left(3 \times \frac{360^\circ}{5} \right) = 108^\circ = \underline{\beta}$$

Este poliedro se deriva a su vez del "dodecaedro regular estrellado de caras pentagonales estrelladas y doce vértices de ángulos triédicos" considerando todas las aristas de este y las del dodecaedro regular de vértices coincidente con los del estrellado.

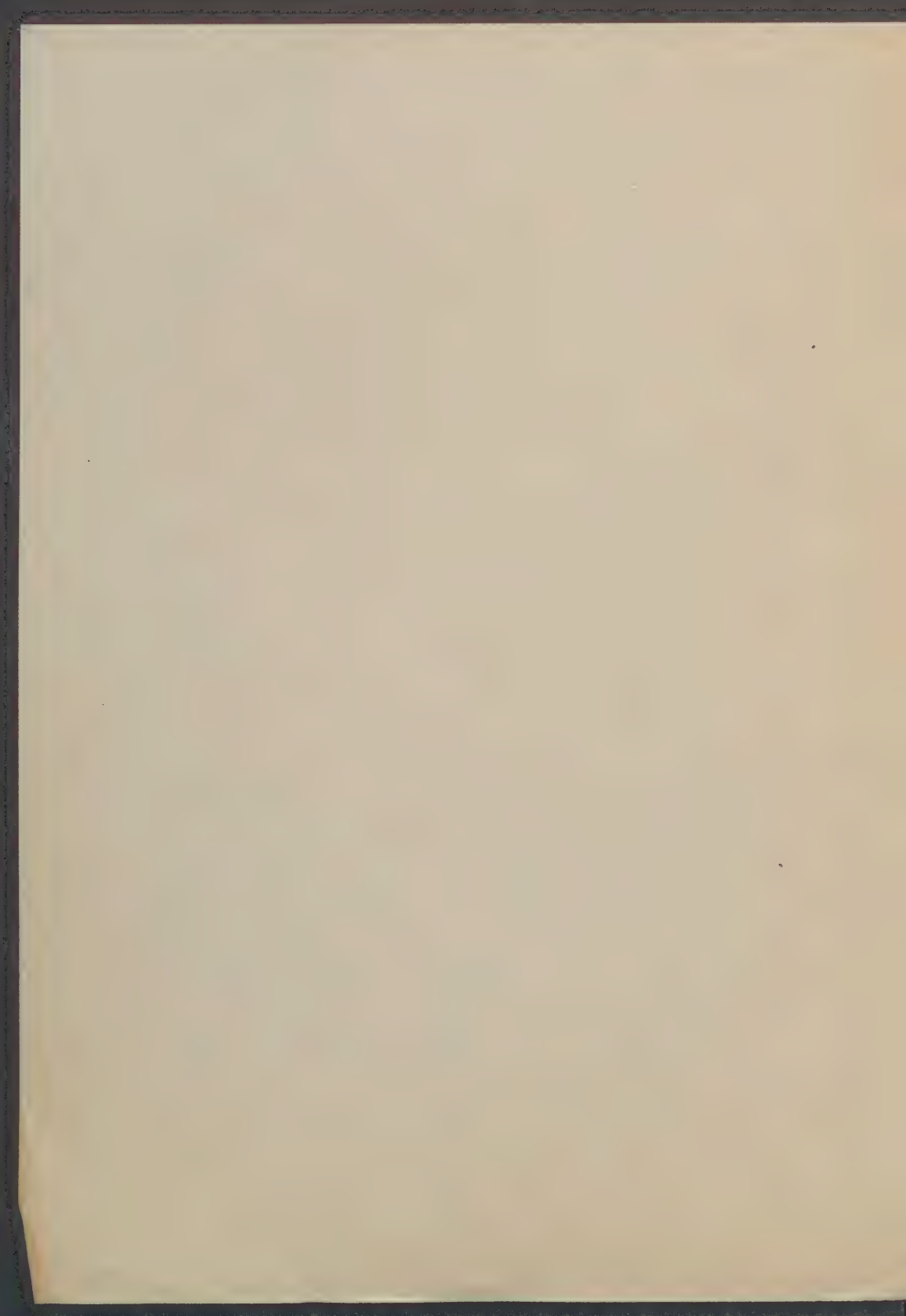
Leucaea

Leucaea subultramarina, Leucaea gracilis (Horn) 2/10/1

Leucaea affinis

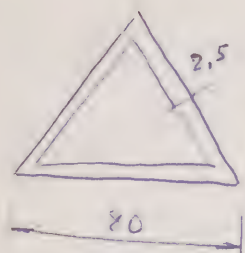
1	1/1	1/1	2/1
2	1/1	1/1	2/1
3	1/1	1/1	2/1
4	1/1	1/1	2/1
5	1/1	1/1	2/1

Leucaea affinis subultramarina (4)

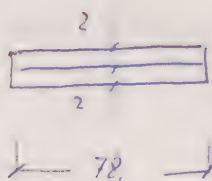


Distad. reg. h.

$$r_1 = 70,1 \text{ mm}$$

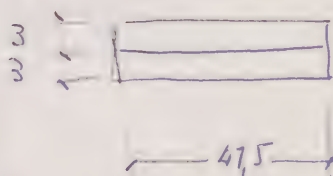
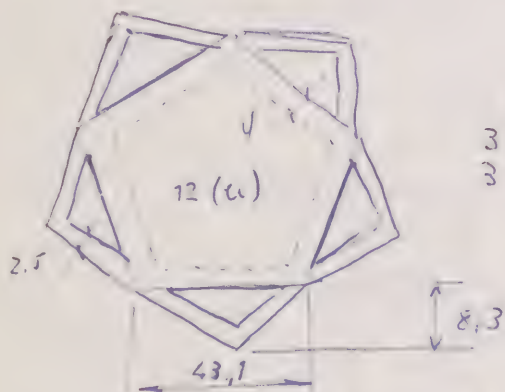


20 (m)



30 (u)

X



30 (u)

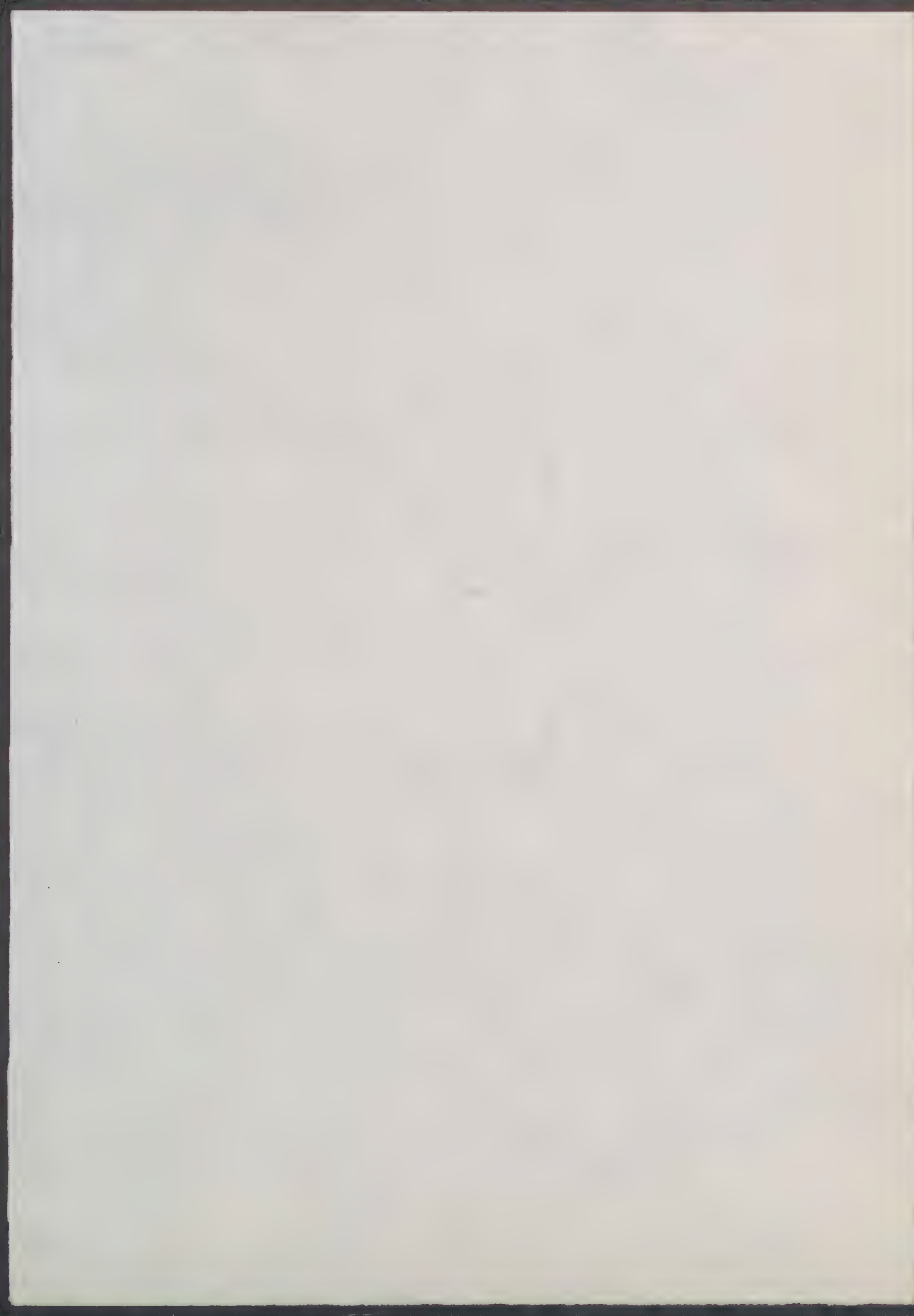
X

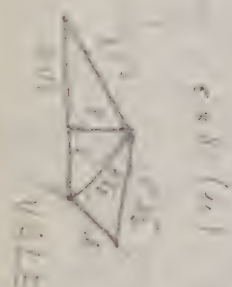
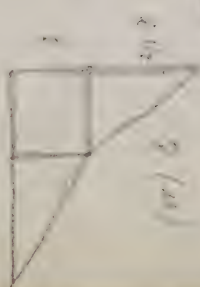
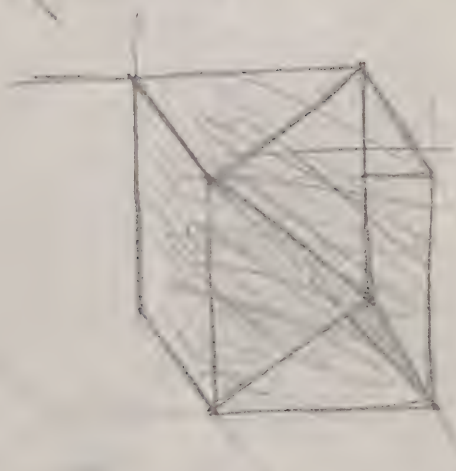
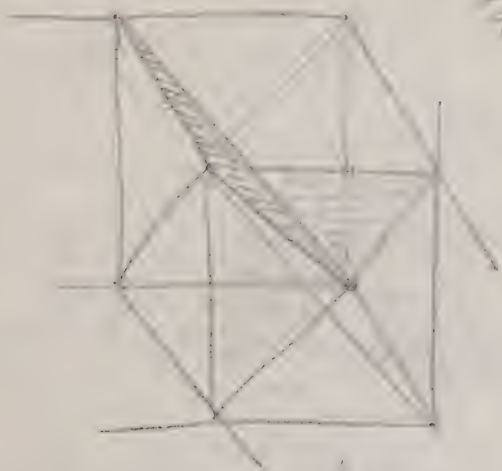
$$h = b_{20} - b_{12} = \begin{cases} 0,809 \times 80 = 64,72 \\ 1,309 \times 43,1 = 56,42 \end{cases}$$

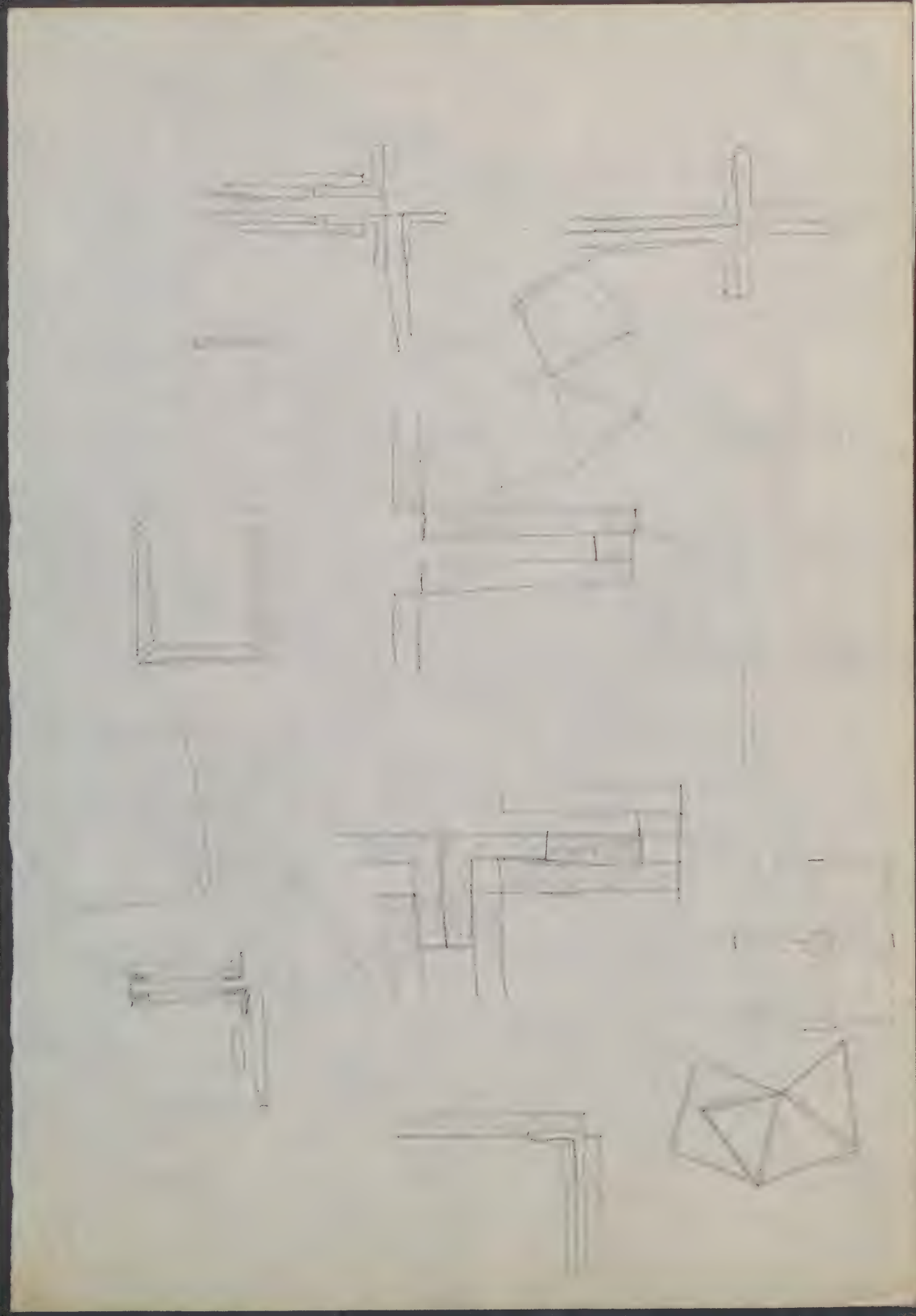
$$\frac{64,72 - 56,42}{2,36}$$

$$k = 0,9,16 \quad d = 30,0$$

100 (u) 70 (m) X









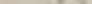
Δ 1. Höhe. ist 124,3 m m.

2 2 refuse

6 *herbacea* alt 6 x 130

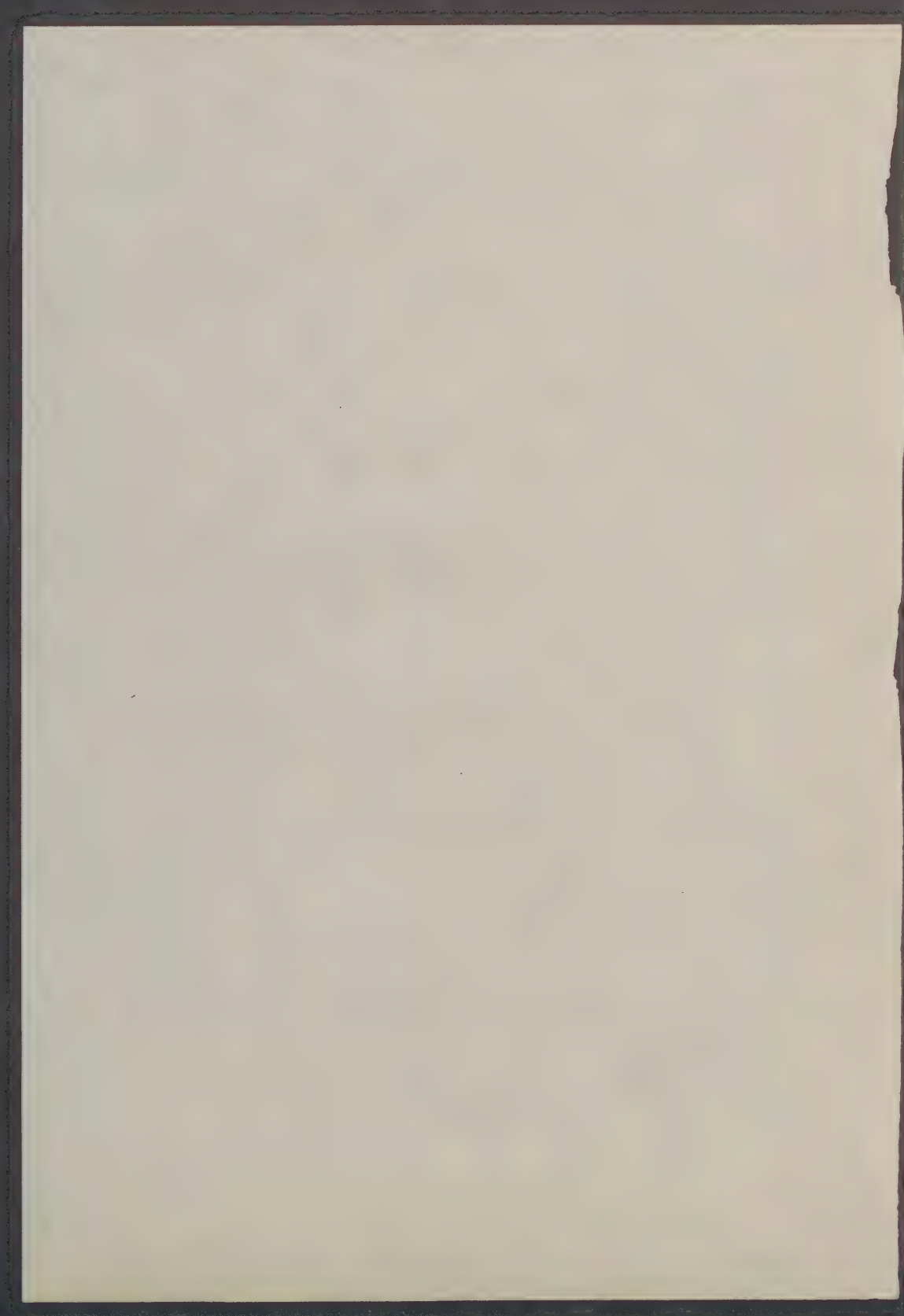
1. Pinus resinosa Mill base



 de 2 triangles, de 60.1 mm.

24 pictures to 6 x 60 mm.

12 $\pi_1(\mathbb{R}P^2) = \mathbb{Z}_2$. Δ



Ver la distancia: - Polígono de 60 mm situado al por encima del centro de cada cara de un hexaedro regular, sobre la superficie circunscrita al cubo, y desde su centro.



$$r_1 = \frac{\sqrt{15} + \sqrt{3}}{4} \quad l_{12} = 1,40 \quad 12,59 \quad l_{12}$$

$$r_2 = \sqrt{\frac{25 + 11\sqrt{5}}{40}} \quad l_{12} = 1,41 \quad 25 \quad 16 \quad l_{12}$$

$$r_4 = \sqrt{\frac{5 + \sqrt{5}}{10}} \quad l_{12} = 0,85 \quad 20 \quad 51 \quad l_{12}$$

$$O_0 = r_1 - r_2 = 76,1 - 60,5 = 15,6 \text{ mm.}$$

$$= 0,28 \quad 77 \quad 43 \quad l_{12} =$$

$$l_{12} = 54,3 \text{ mm}$$

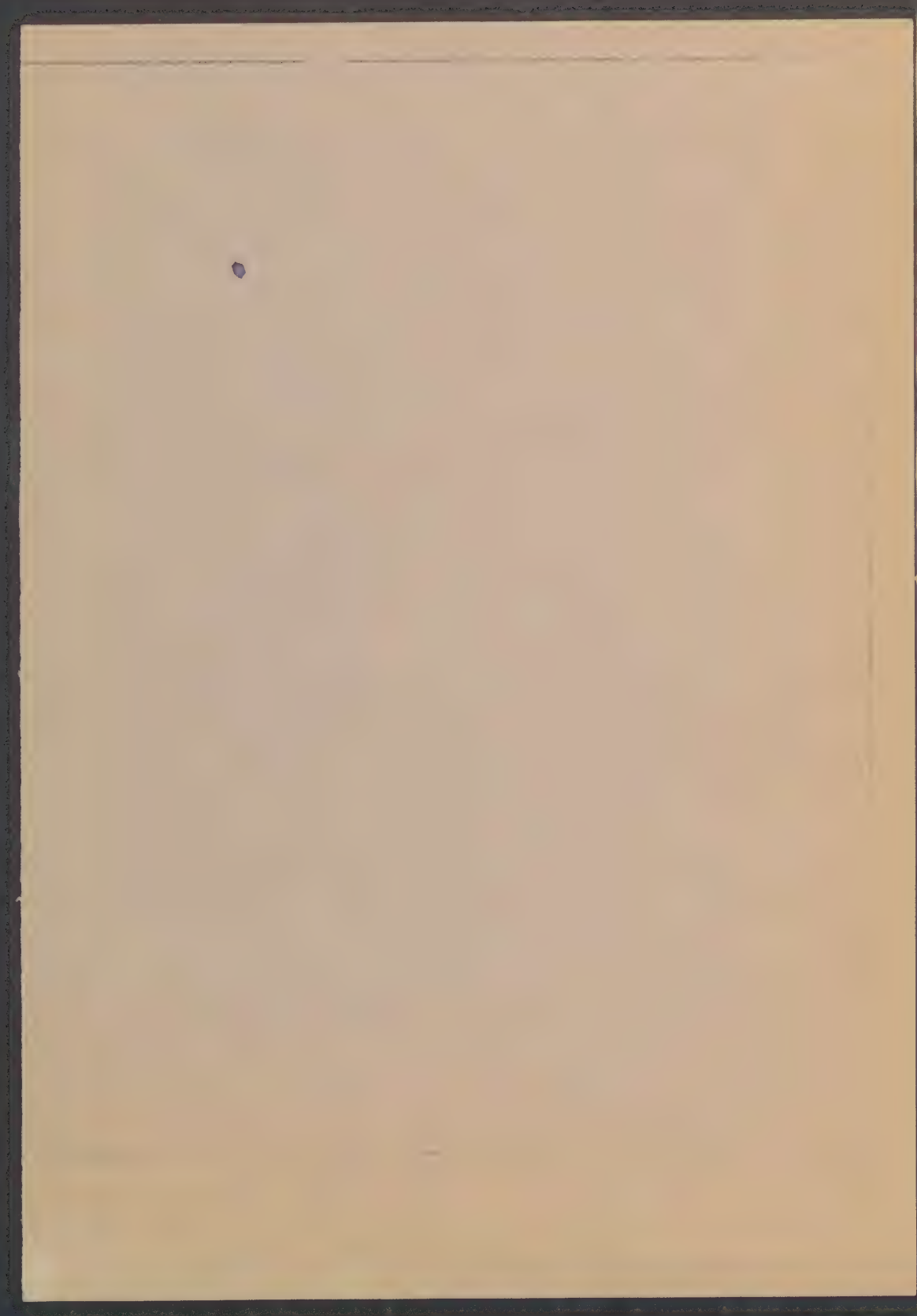
$$r_0 = 0,1 = 46,2 \text{ mm}$$

$$r_1 = 76,1 \text{ mm}$$

$$r_2 = 60,5 \text{ mm}$$

$$1,0^1 = \sqrt{46,2^2 + 15,6^2} = \underline{\underline{48,76 \text{ mm}}}$$

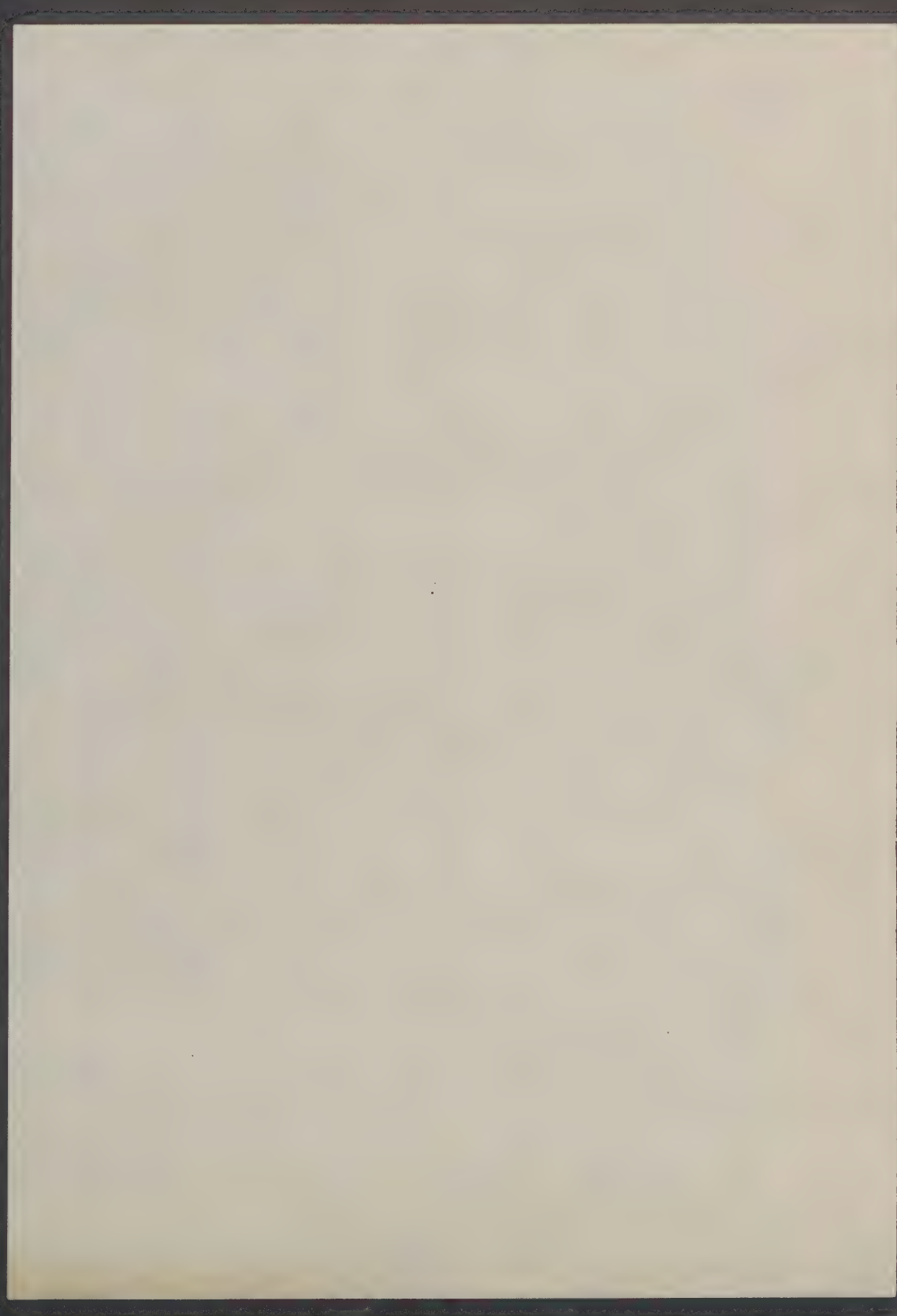
$$\frac{26 \quad 34,44}{2 \quad 41,38} \\ \underline{27 \quad 77,82}$$





$$\begin{array}{r} 136 \\ \times 136 \\ \hline 816 \\ 4080 \\ \hline 18496 \end{array}$$





Calcular a continuación



- 1) Calcular el área en 1.ª columna
- 2) Id. en 2.ª columna
- 3) Suprimir el vértice que quedara de la columna del resto
- 4) Id. vértice con id. del vértice
- 5) Id. vértice con id. del resto y

a) = 76,1 mm.

$$l_4 = \frac{76,1}{0,6124} = 124,34 \text{ m}$$

Para 1 y 2

$$l'_8 = 62,1 \text{ mm.}$$

16 Δ de 12,1

12 vértices de 3 triángulos, cada uno

Para 3, 4 y 5

$$l'_9 = 107,6 \text{ mm.}$$

3 aristas de 12,1

$$6 \times 3 = 18 \square \text{ de } 53,8$$

mm. de lado

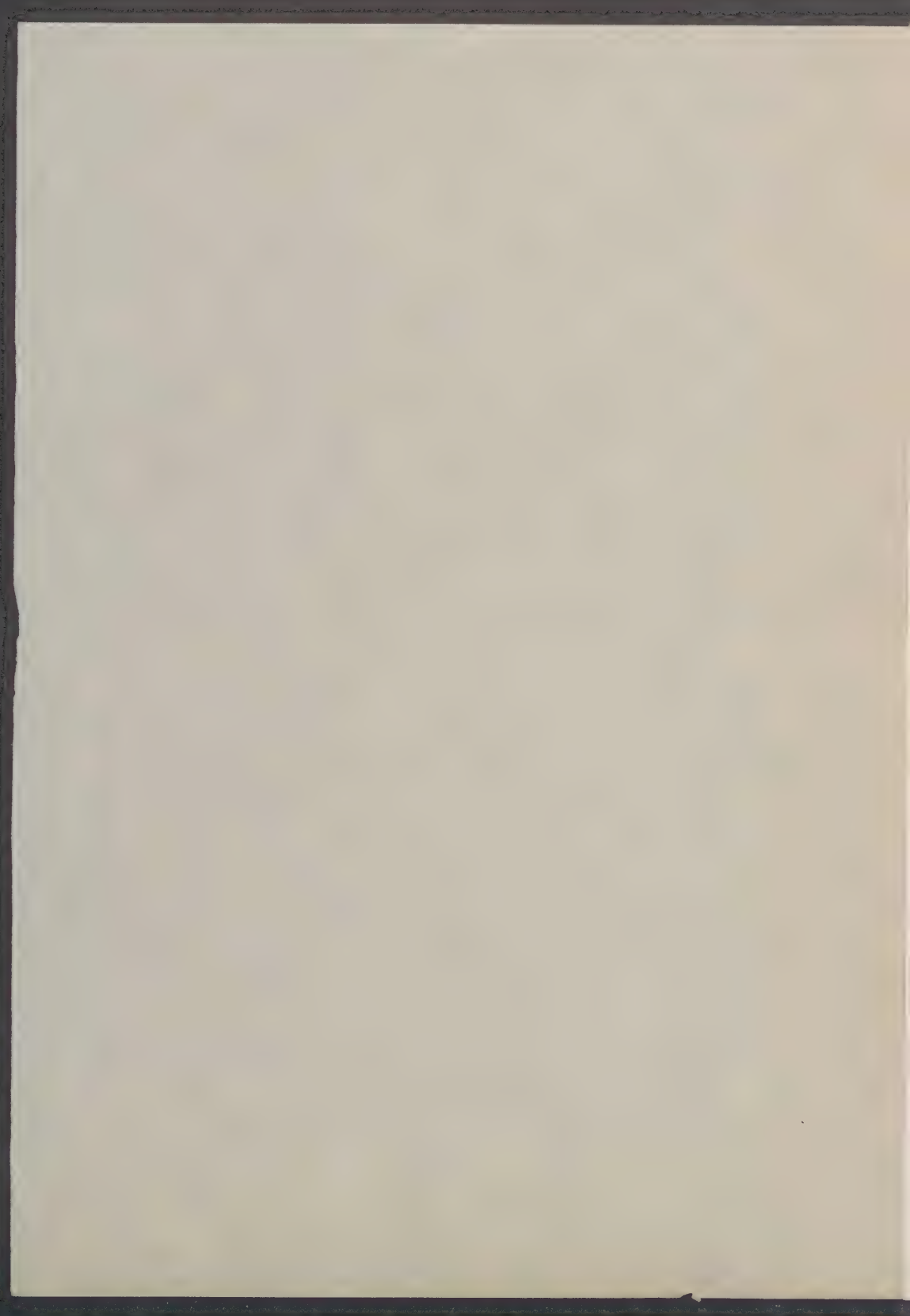
$$8 \times 3 = 24 \Delta \text{ de } 53,8$$

2 x 8 = 16 vértices de 5 triángulos

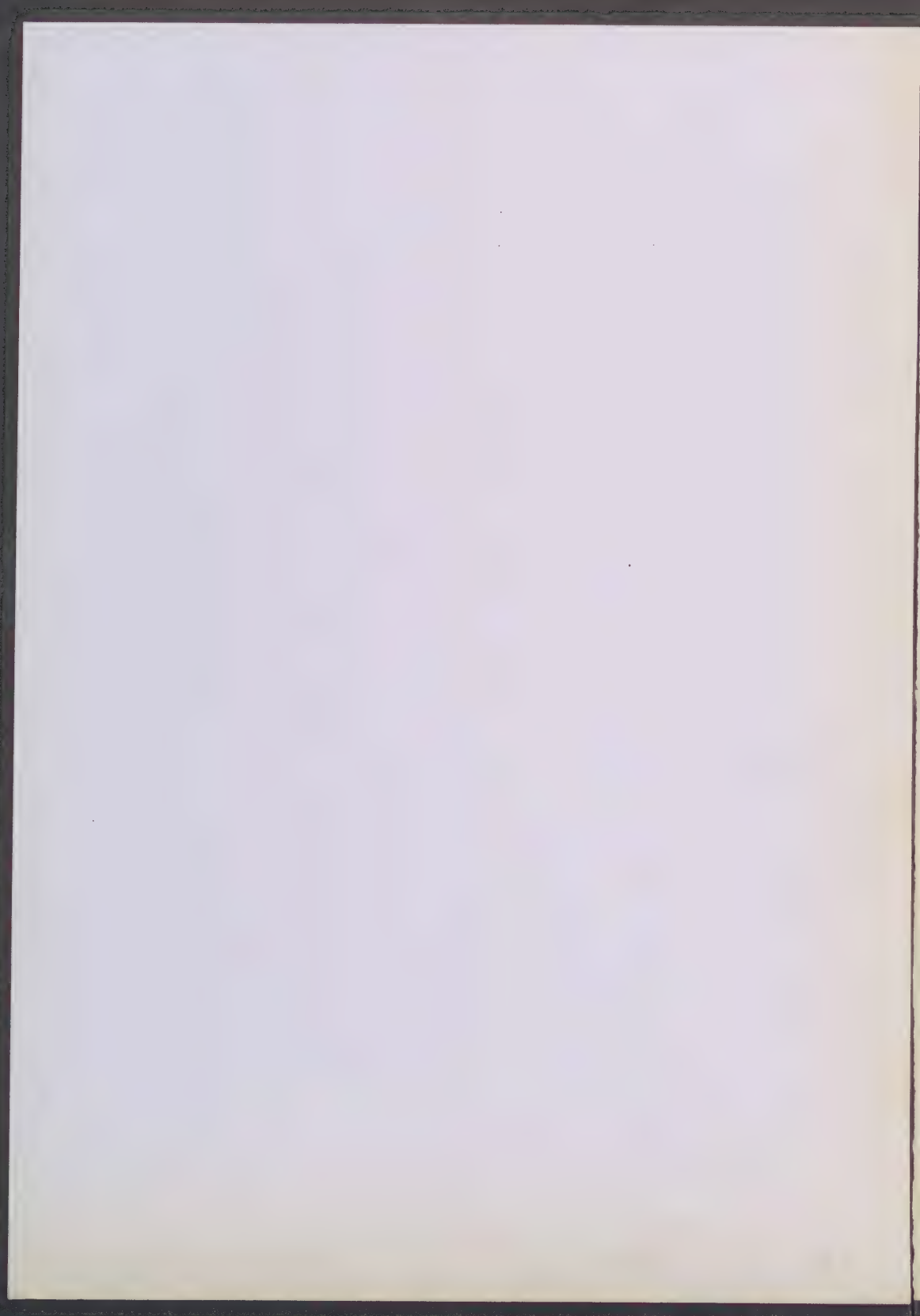


7 x 6 = 42 vértices de 11 triángulos









$$\text{Avg. II.} - \left. \begin{array}{l} 2 c_0 = 140 \\ l_x = 35 \end{array} \right\}$$

$$\left. \begin{array}{l} c_0 = 70 \\ l_0 = 52.9 \end{array} \right\} \text{---} d_0 = 51.5$$

$$\left. \begin{array}{l} c_{II} = 70 \\ l_{II} = 35.3 \end{array} \right\} d_{II} = 30.5$$

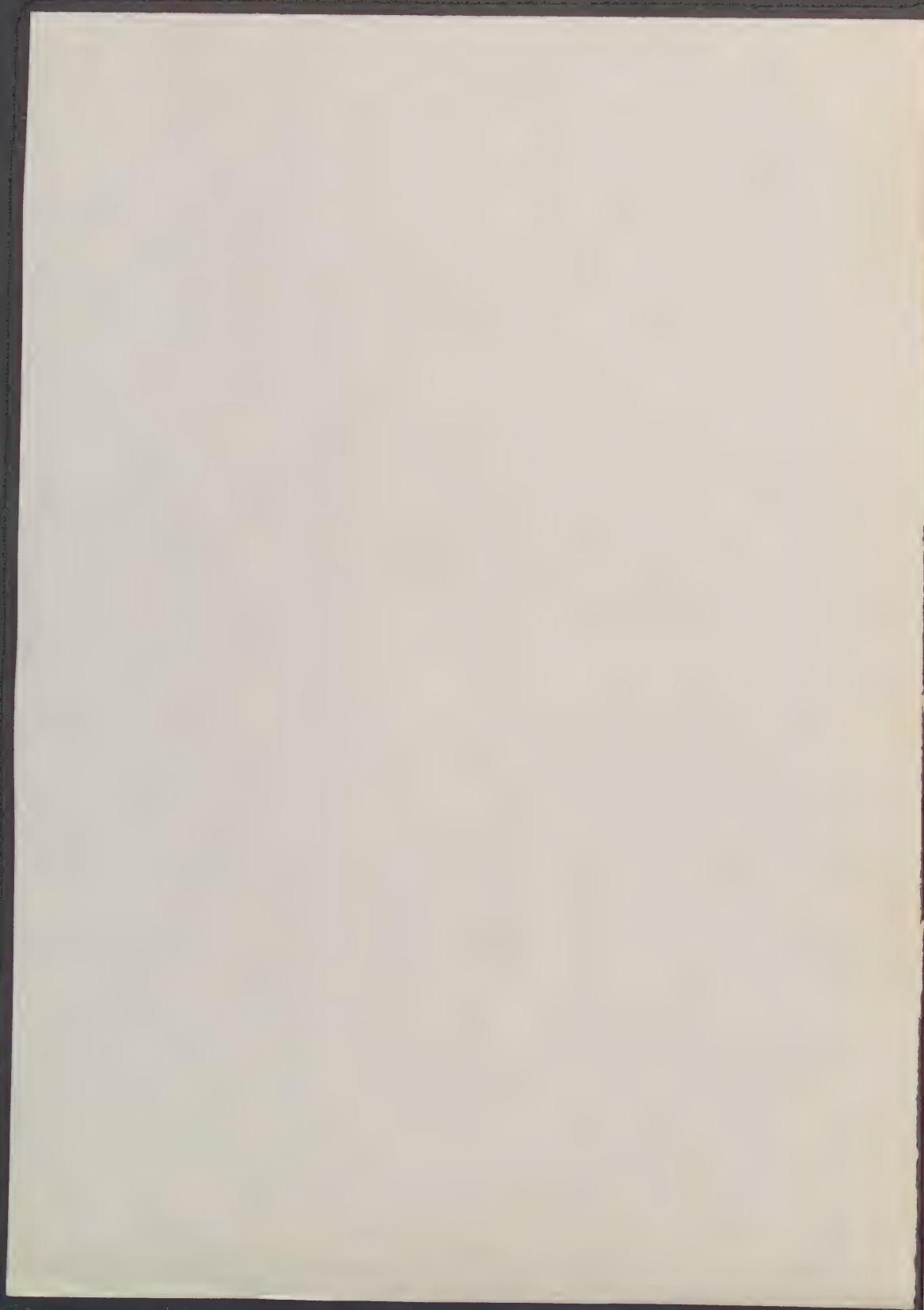
$$\text{Avg. II.} \quad c_{II} = 70 \text{ mm}$$

$$\begin{array}{r} 124.3 \\ 12.1 \end{array}$$

$$43.95$$



$$\begin{array}{r} 124.3 \\ 12.1 \end{array}$$



Red - 0752100 derivation 240
 10.714.5100 254.141

2.40 12 59..

Q. 4.40 12 59 x 54.3 =

110.5000000

radio "a" d. i. i.

radio "i" = 54.3 m

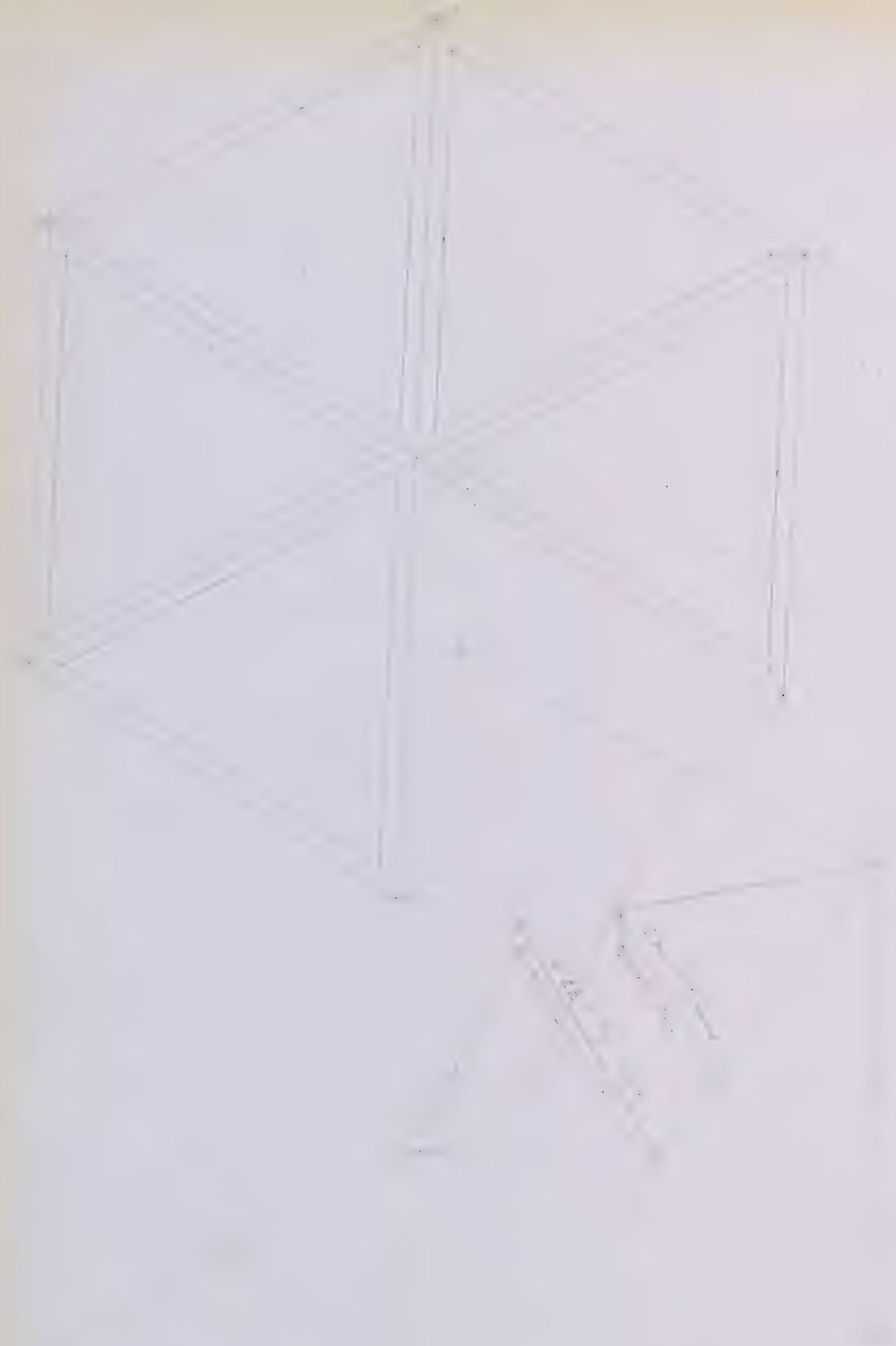
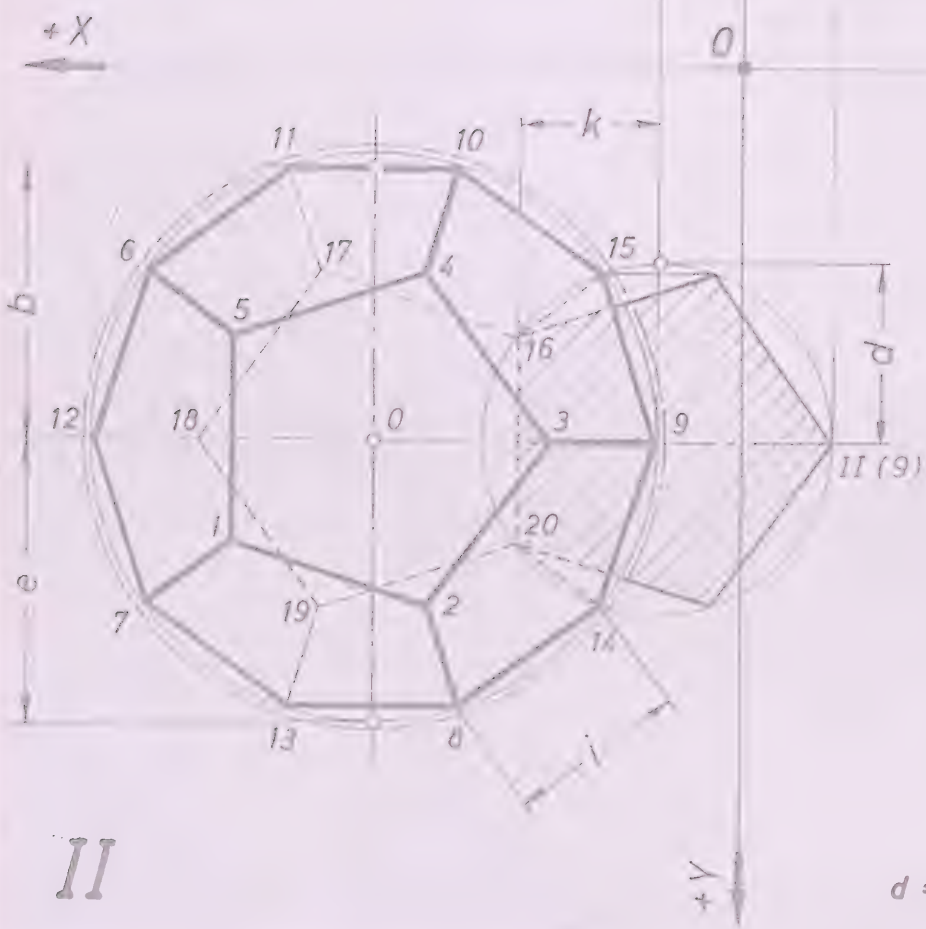
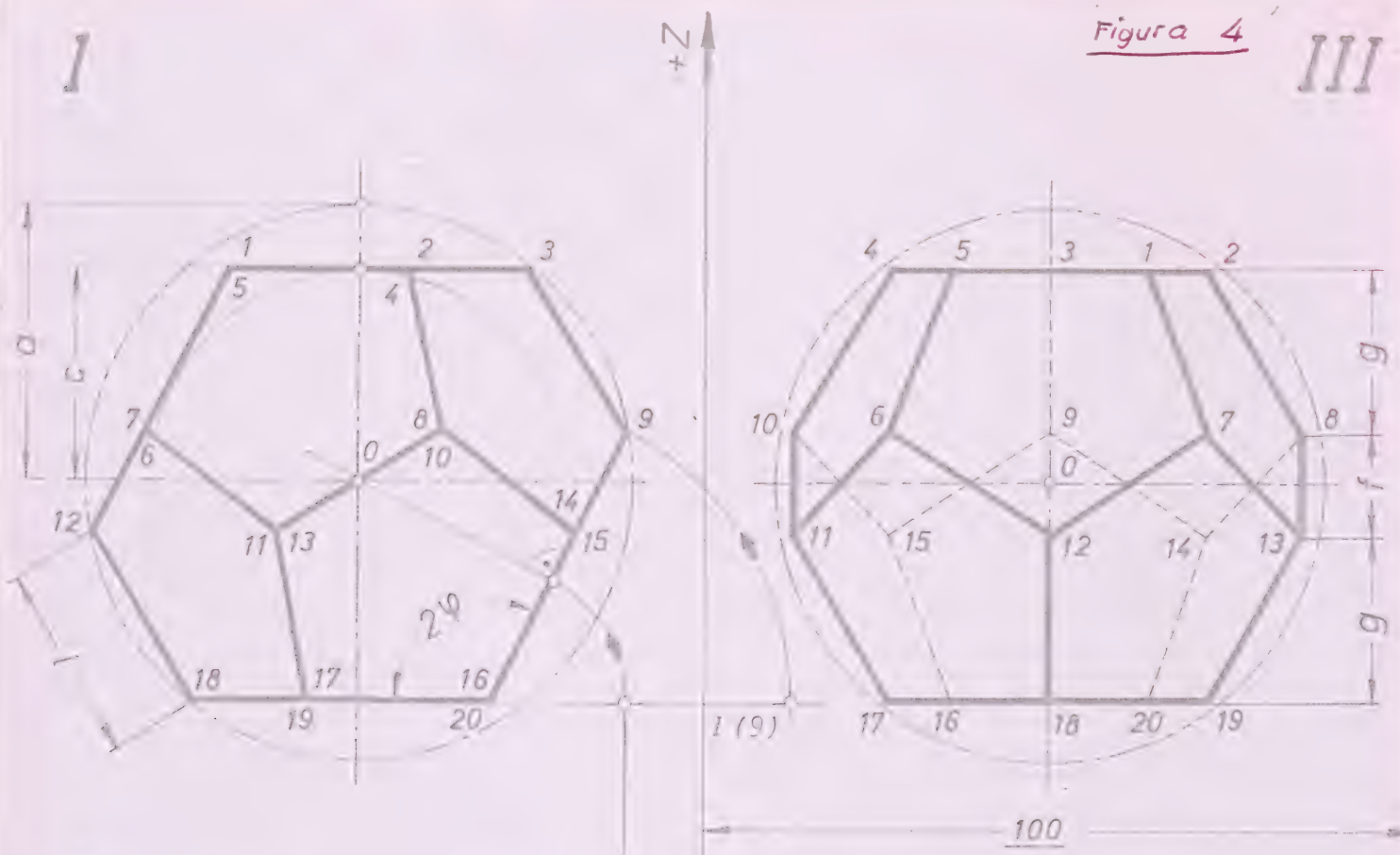


Figura 4

III



DATOS: $\begin{cases} 0 (120, 120, 150) \text{ mm} \\ l = 67,9 \text{ mm} \end{cases}$

RESULTADOS:

- $a = 1,40 \ 12 \ 59 \dots l = 95,1$
- $b = 1,30 \ 90 \ 17 \dots l = 88,8$
- $c = 1,11 \ 35 \ 16 \dots l = 75,6$
- $d = 0,85 \ 06 \ 51 \dots l = 57,7$
- $2\varphi = 116^\circ \ 33' \ 54''$
- $e = 1,37 \ 63 \ 84 \dots l = 93,4$
- $f = 0,52 \ 57 \ 31 \dots l = 35,7$
- $g = 0,85 \ 06 \ 51 \dots l = 57,7$
- $i = 0,85 \ 06 \ 51 \dots l = 57,7$
- $k = 0,68 \ 81 \ 92 \dots l = 46,7$

$d = g = i \quad g + f = 2k = e$

II

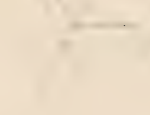
	Propuesta	De entrega	Entregada	Califi- cación	(firma)	Escuela Curso
Fecha:						
Alumno:						
Escala	Dodecaedro regular convexo					Lámina
1:2,5						Curso 19 - 19



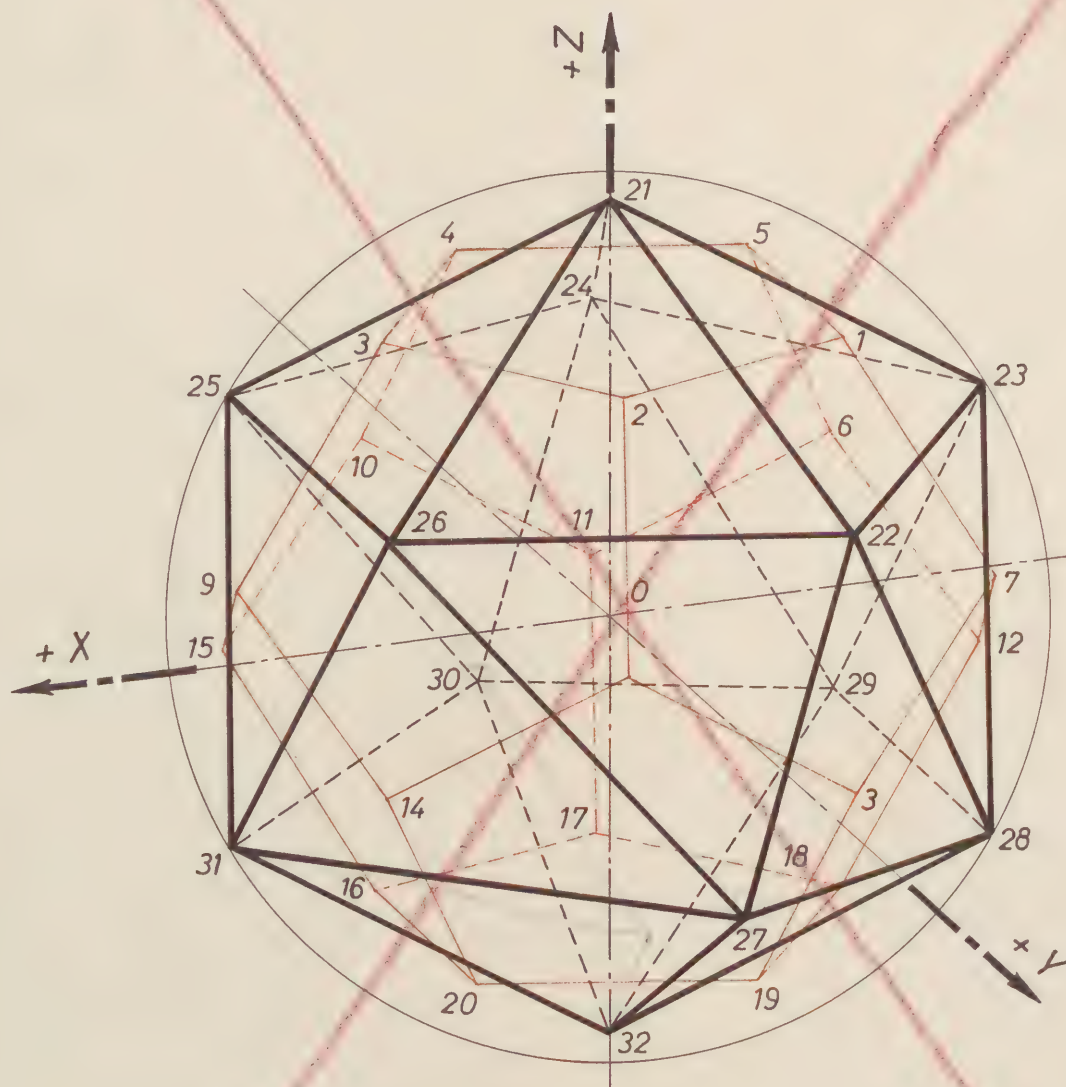






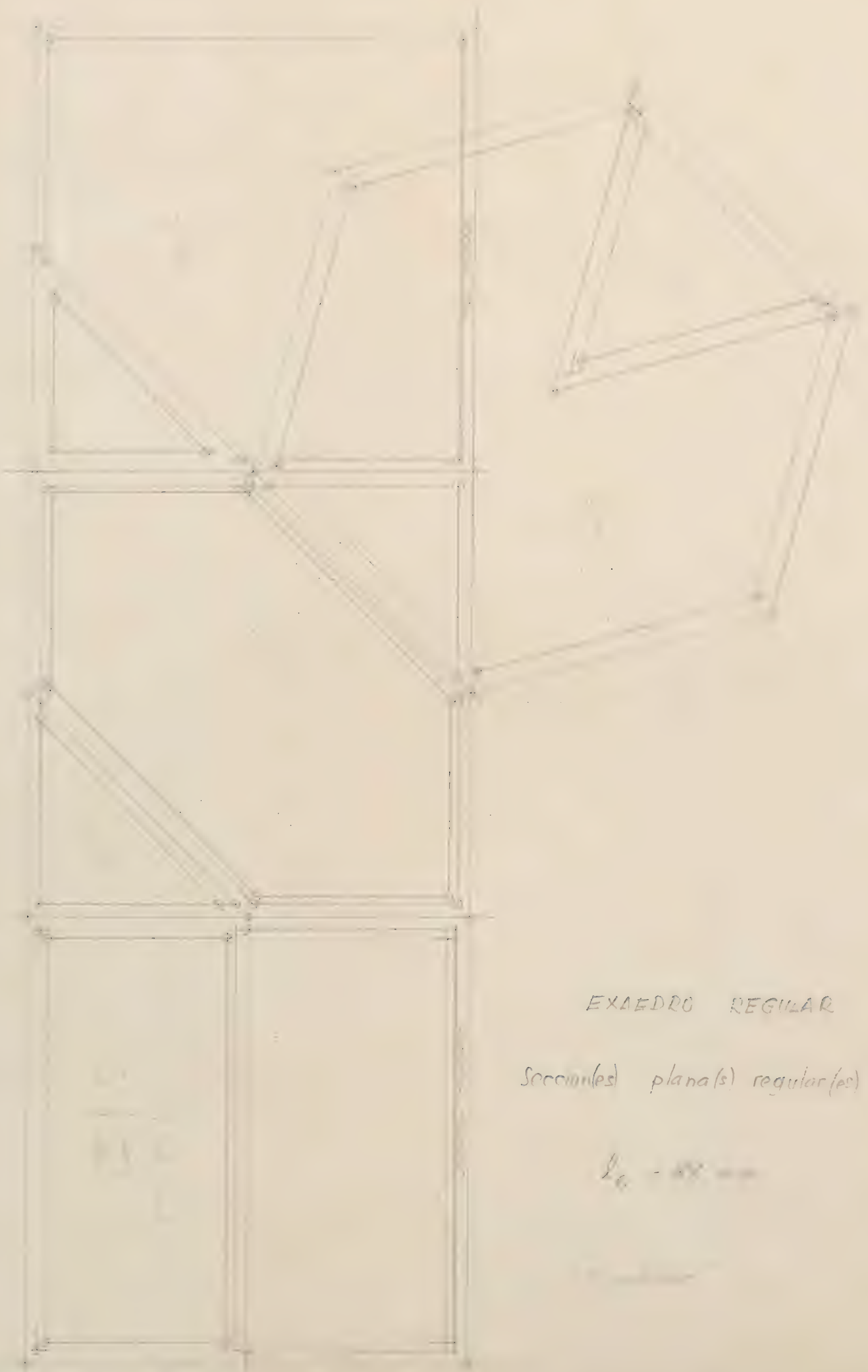


NULO



Poliedros regulares convexos conjugados





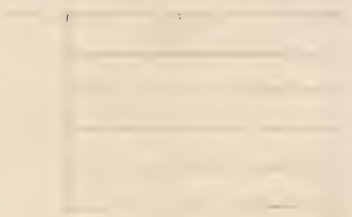
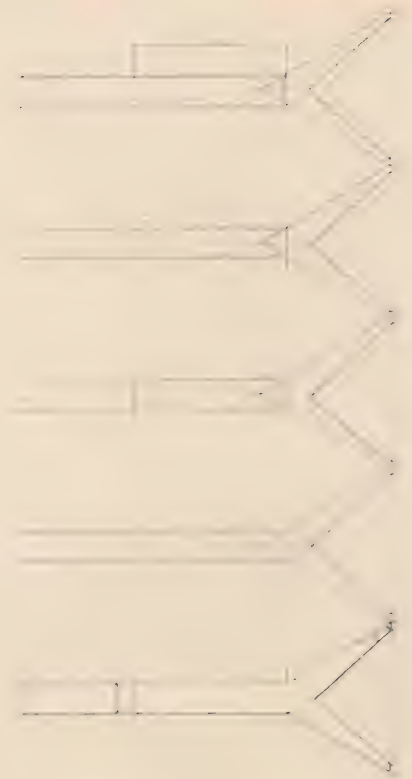
EXAEDRO REGULAR

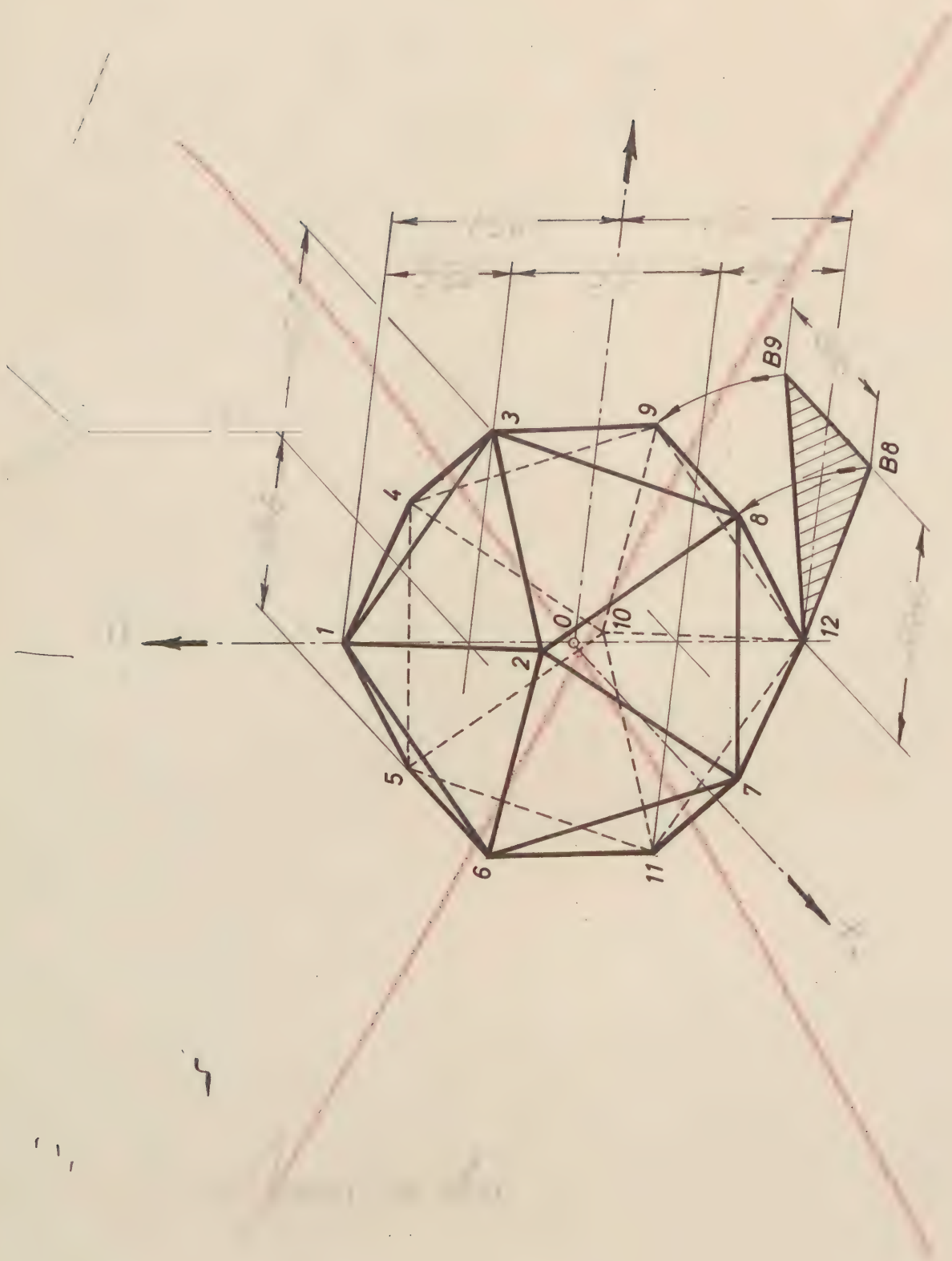
Socinhos plana(s) regular(es)

$l_6 = 100$

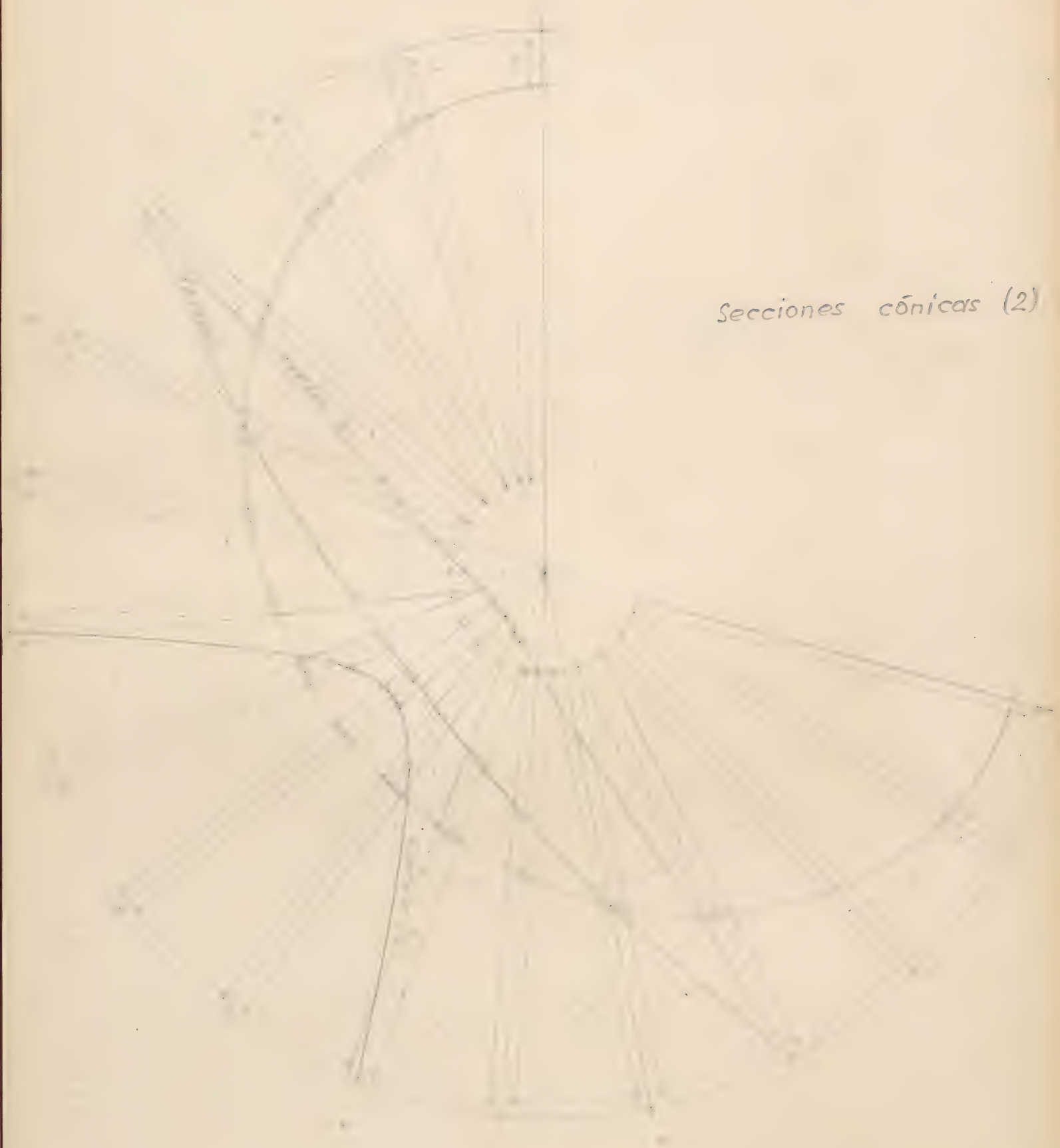
- A) Arquimedeano I, inscrito en el tetraedro regular obtenido al prolongar las caras triangulares de dicho arquimedeano. - Lado del tetraedro, 124,3 mm
- B) Arquimedeano I, inscrito en el tetraedro acutángulo obtenido al prolongar las caras hexagonales de dicho arquimedeano. - Lado del tetraedro, 124,3 mm.

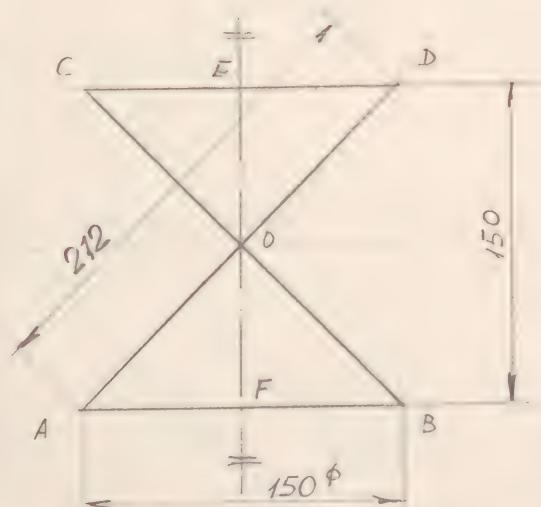






Secciones cónicas (2)





$$AB = CD = 150 \text{ mm}$$

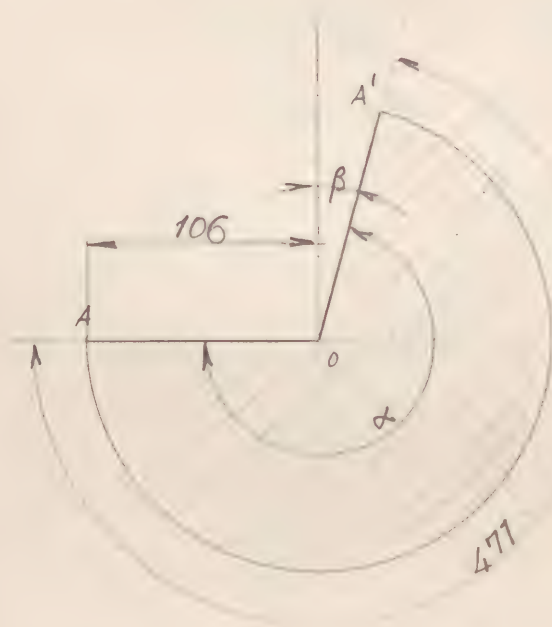
$$EF = 150 \text{ mm}$$

$$AO = 150 \times \sqrt{2} = 212,1 \text{ mm}$$

$$AF = FB = CE = ED = 75 \text{ mm}$$

$$AO = OD = 106 \text{ mm}$$

$$AB \times \pi = 150 \times \pi = 471 \text{ mm}$$



$$\frac{471}{\alpha} = \frac{2\pi \overline{OA}}{360} = \frac{666}{360}$$

$$\alpha = \frac{471 \times 360}{666} = 254,5946^\circ =$$

$$= 254^\circ 35' 46''$$

$$\beta = 15^\circ 24' 19,4''$$

$$\frac{1}{2} \beta = 0,275446$$

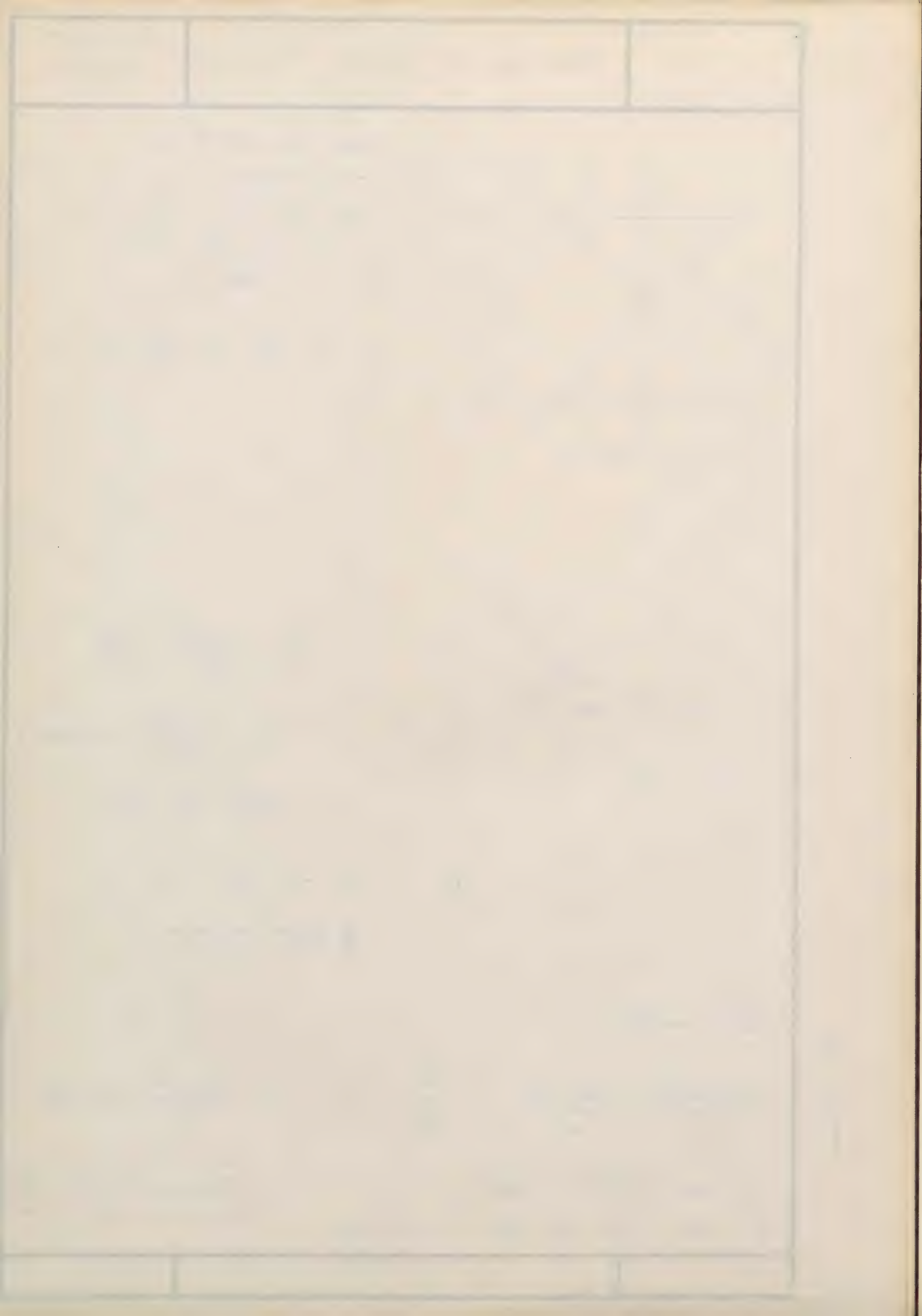
(mais exato)

$$\frac{2\pi \times (\overline{AF} \cdot \sqrt{2})}{360^\circ} = \frac{2\pi \times \overline{AF}}{\alpha^\circ} \quad \frac{\sqrt{2}}{360} = \frac{1}{\alpha^\circ} \quad \alpha = \frac{360^\circ \sqrt{2}}{2} = 180^\circ \sqrt{2}$$

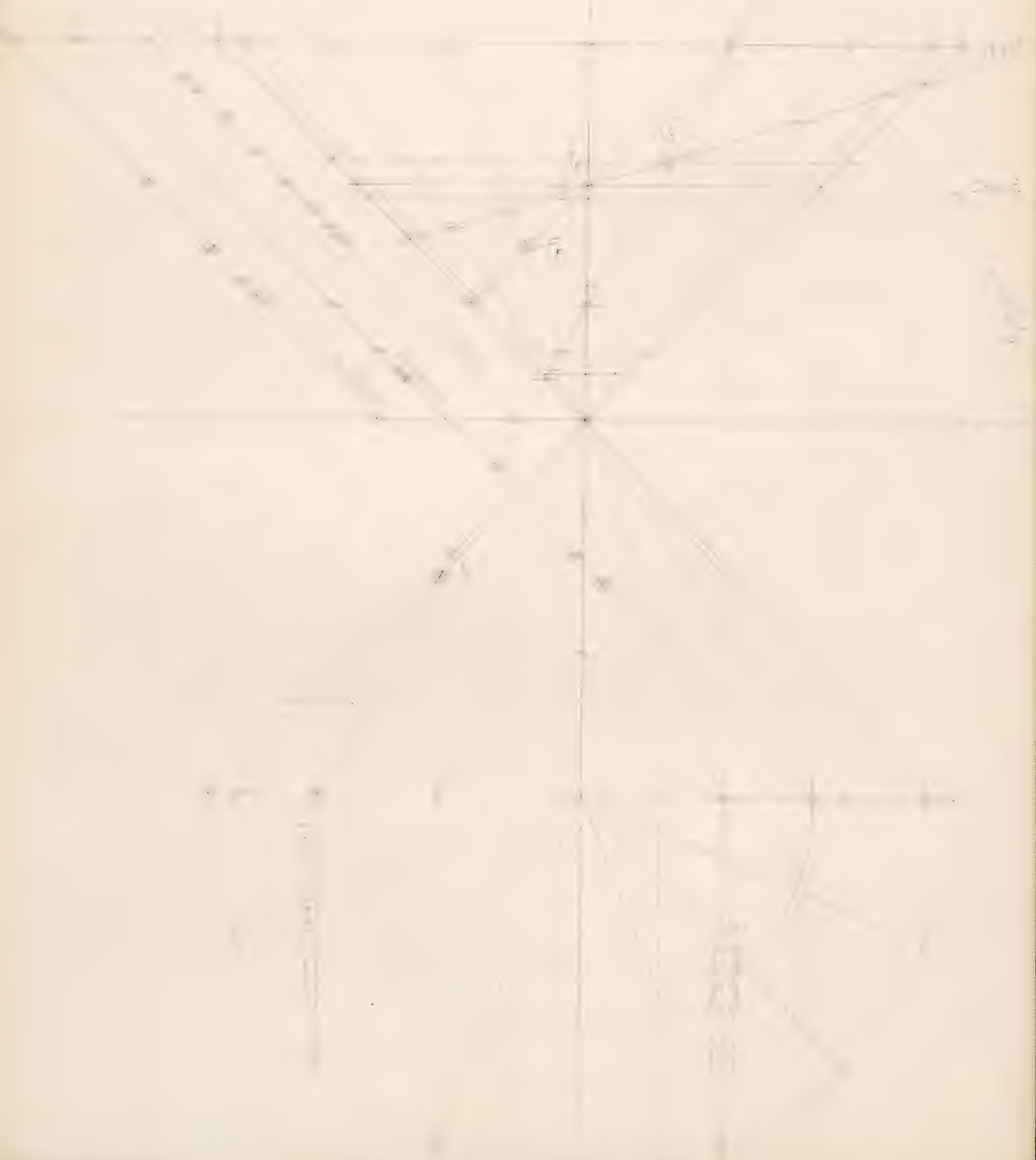
$$\alpha = 254,5578^\circ = 254^\circ 33' 28''$$

$$\beta = 270^\circ - 254^\circ 33' 28'' = 15^\circ 26' 32''$$

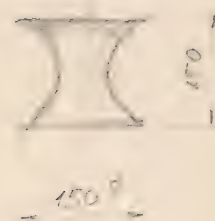
$$\frac{1}{2} \beta = 0,276228$$



Secciones cónicas (1)









TETRA-ICOSAEDRO

l_{20} = lado icosaedro = 80 mm.

$$2r_1 = 152,2 \text{ mm}$$

$$2r_2 = 121,1 \text{ mm}$$

$$d = 68 \text{ mm}$$

$$5-8 = 47 \text{ mm}$$

$1'-2'$ = Apotema cara icosaedro.

$$1'-6' = 6'-2'$$

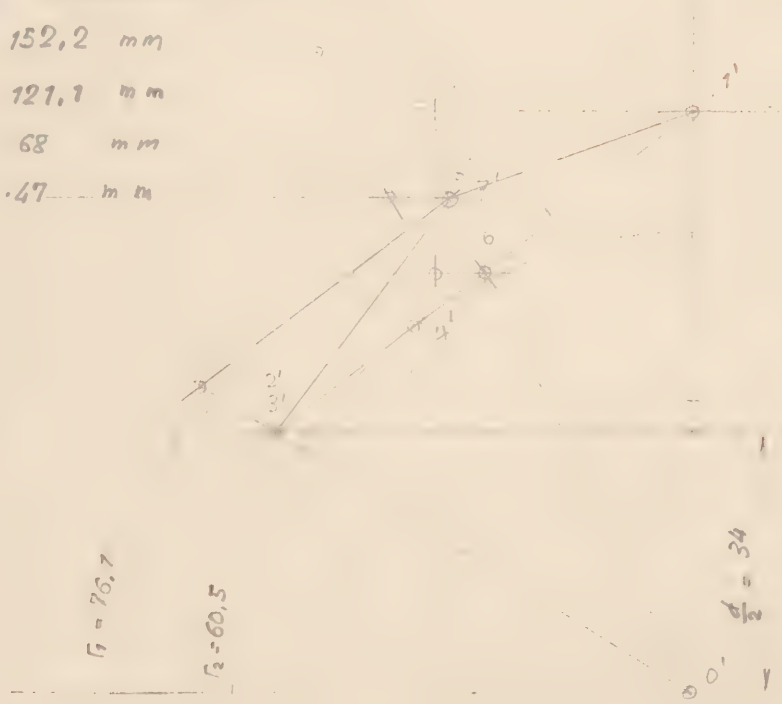
$5'-8'$ paralela a $2'-1'$

$$r_1 = \frac{\sqrt{10 + 2\sqrt{5}}}{4} \times l_{20} = 0,951057 \times l_{20}$$

$$r_2 = \frac{3\sqrt{3} + \sqrt{15}}{18} \times l_{20} = 0,755761 \times l_{20}$$

$$d = \frac{\sqrt{5 + \sqrt{5}}}{10} \times l_{20} = 0,850651 \times l_{20}$$

$$5-8 = 8-7 = 5-7 = \frac{\sqrt{10 - 2\sqrt{5}}}{4} l_{20} \approx 0,587785 l_{20}$$



Def. circums. $r_1 = 76,7 \text{ mm}$.

Def. insc. ($r_2 = 60,5$)

$l_{20} = 80$

Desarrollo

$5-7 = 47 \text{ mm}$

20 (u)

Tetra-icosaedro

Poliedro de 80 caras
obtenido al proyectar
los v rtices y puntos
medios de los lados de
la cara de un icosae-
dro regular, sobre la
esfera circunscrita y
desde su centro.

Caras	= 80
V�rtices	= 42
Aristas	= 120

TETRA - ICOSAEDRO

$$\begin{aligned}
 l_{10} &= r_1 \frac{\sqrt{5}-1}{2} = l_{20} \frac{\sqrt{10+2\sqrt{5}}}{4} \cdot \frac{\sqrt{5}-1}{2} \quad l_{20} = \frac{\sqrt{(10+2\sqrt{5})(5+1-2\sqrt{5})}}{8} l_{20} = \\
 &= \frac{\sqrt{(10+2\sqrt{5})(6-2\sqrt{5})}}{8} l_{20} = \frac{\sqrt{60+12\sqrt{5}-20\sqrt{5}-20}}{8} l_{20} = \frac{\sqrt{40-8\sqrt{5}}}{8} l_{20} = \frac{2\sqrt{10-2\sqrt{5}}}{8} l_{20} = \\
 &= \frac{\sqrt{10-2\sqrt{5}}}{4} l_{20} = \frac{\sqrt{5.5278640450004}}{4} l_{20} = \frac{2.351141}{4} l_{20} = 0.587785 l_{20}
 \end{aligned}$$

El lado l_{10} del triángulo equilátero 5-7-8, es el lado del decágono regular inscrito en un círculo máximo de la esfera circunscrita de radio r_1 .

$$l_{10} = \frac{\sqrt{10-2\sqrt{5}}}{4} l_{20} = 0.587785 l_{20}$$

(cuantitativamente)

Falta determinar el valor de uno de los lados iguales del triángulo isósceles adyacente (p.e. 3-8)

La esfera tangente a las caras en forma de triángulos equiláteros es de radio menor que el de la esfera tangente a las caras en forma de triángulos isósceles.

Las caras triangulares equiláteras son paralelas a las del icosaedro regular.

TETRA - ICOSAEDRO ,
Secciones planas regulares





$$l_c = 87.7 \text{ mm}$$

EXERCISE 100 REGULAR
(Cubo)

$$r_1 = \frac{\sqrt{3}}{2} l_c = 0.866025 \cdot l_c = 75.1 \text{ mm}$$

$$r_2 = \frac{1}{2} l_c = 43.85 \text{ mm}$$

$$r_3 = 43.85 \text{ mm}$$

$$r_4 = 43.85 \text{ mm}$$



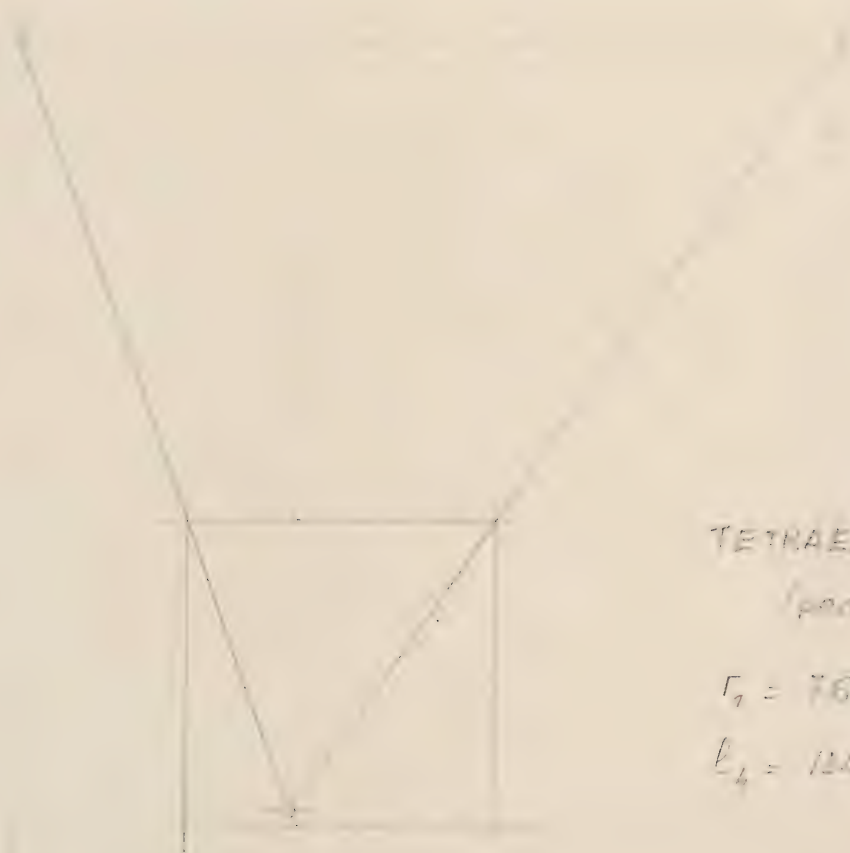




$$l_8 = 107.6 \text{ mm}$$

The figure shows a triangle
 with a point on each side

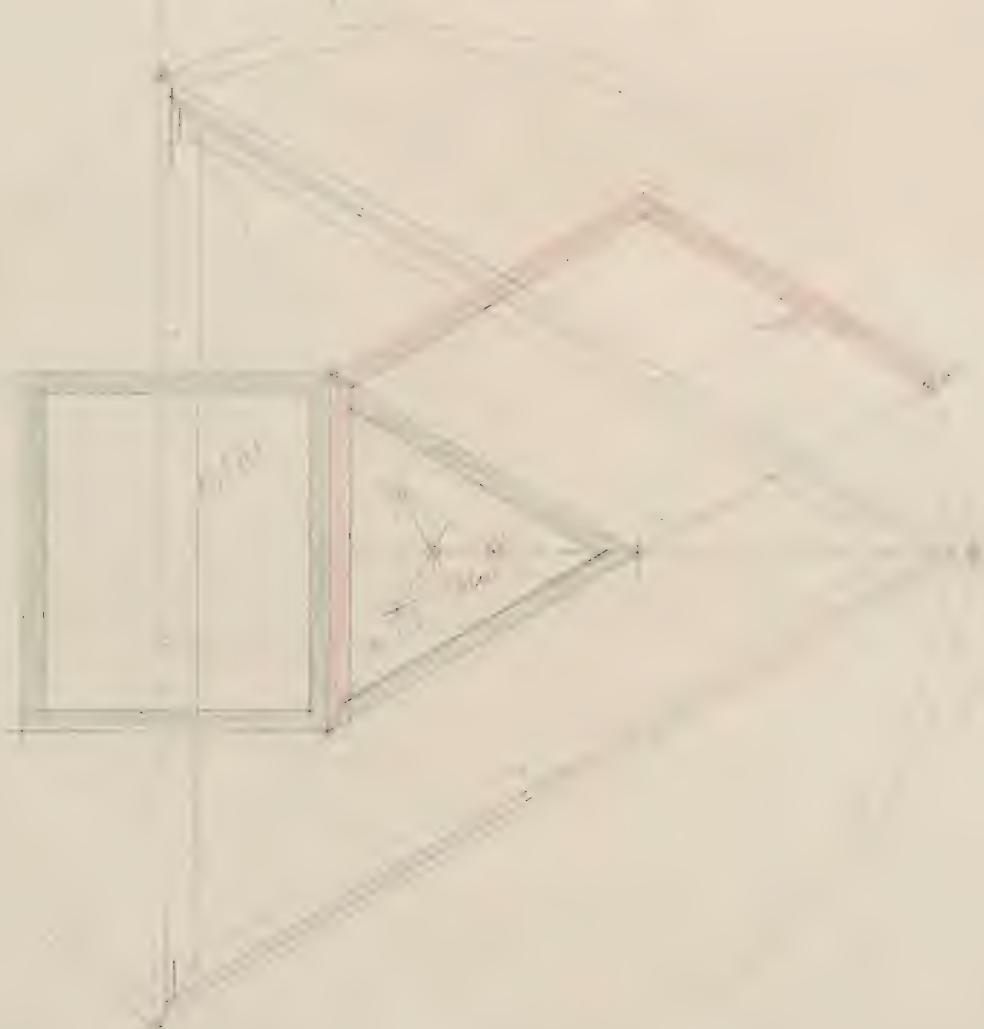




TETRAEDRO REGULAR
(podstata)

$$r_g = 76.1 \text{ mm}$$

$$l_k = 124.3 \text{ mm}$$



$$l_1 = 74.7$$

$$l_2 = 46.2$$

$$l_4 = 74.7 \quad \text{and} \quad 105.6$$

$$l_3 = 105.7$$

$$l_5 = 52.9$$

$$\begin{aligned} l_{10} &= 74.8 \\ l_{12} &= 46.2 \\ l_6 &= 74.7 \\ l_3 &= 105.6 \\ l_8 &= 52.8 \end{aligned}$$



Substrate
 Lower
 Grates
 Systematics
 Semantics

} This figure



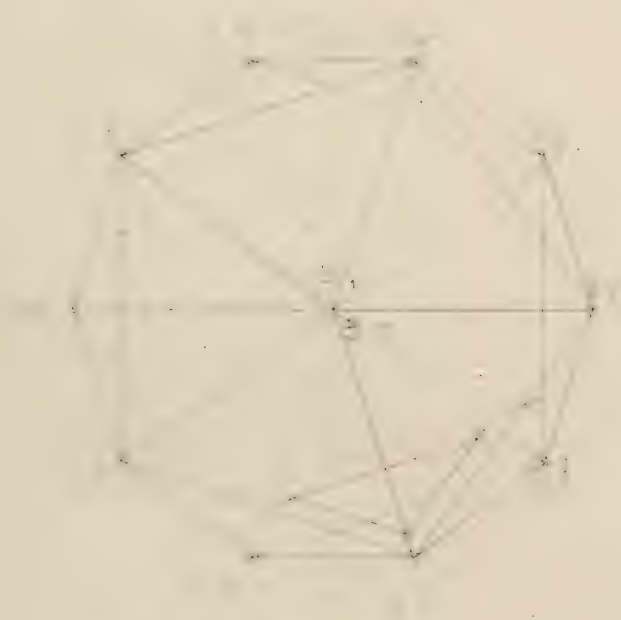
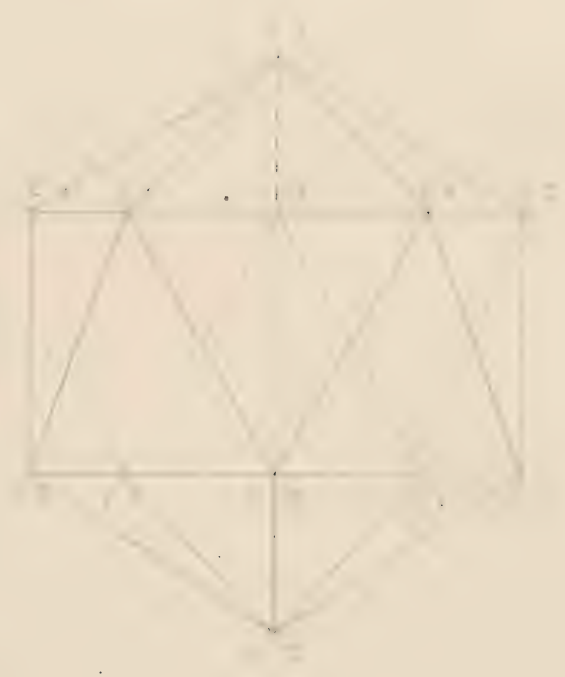
$$l_{12} = 46.2$$

$$l_{25} = 46.2 \times \frac{1.30 \times 17}{1.30 \times 17} = 74.8$$

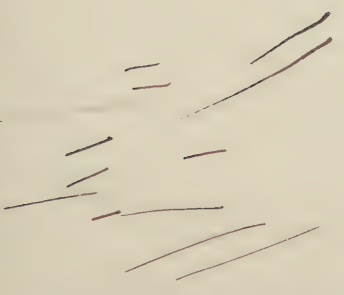
$$l_{25} \times 2 = 46.2 \times 2 = 92.4$$

$$l_3 = 74.7 \times \sqrt{2} = 105.6$$

$$l_8 = \frac{1}{2} l_3$$



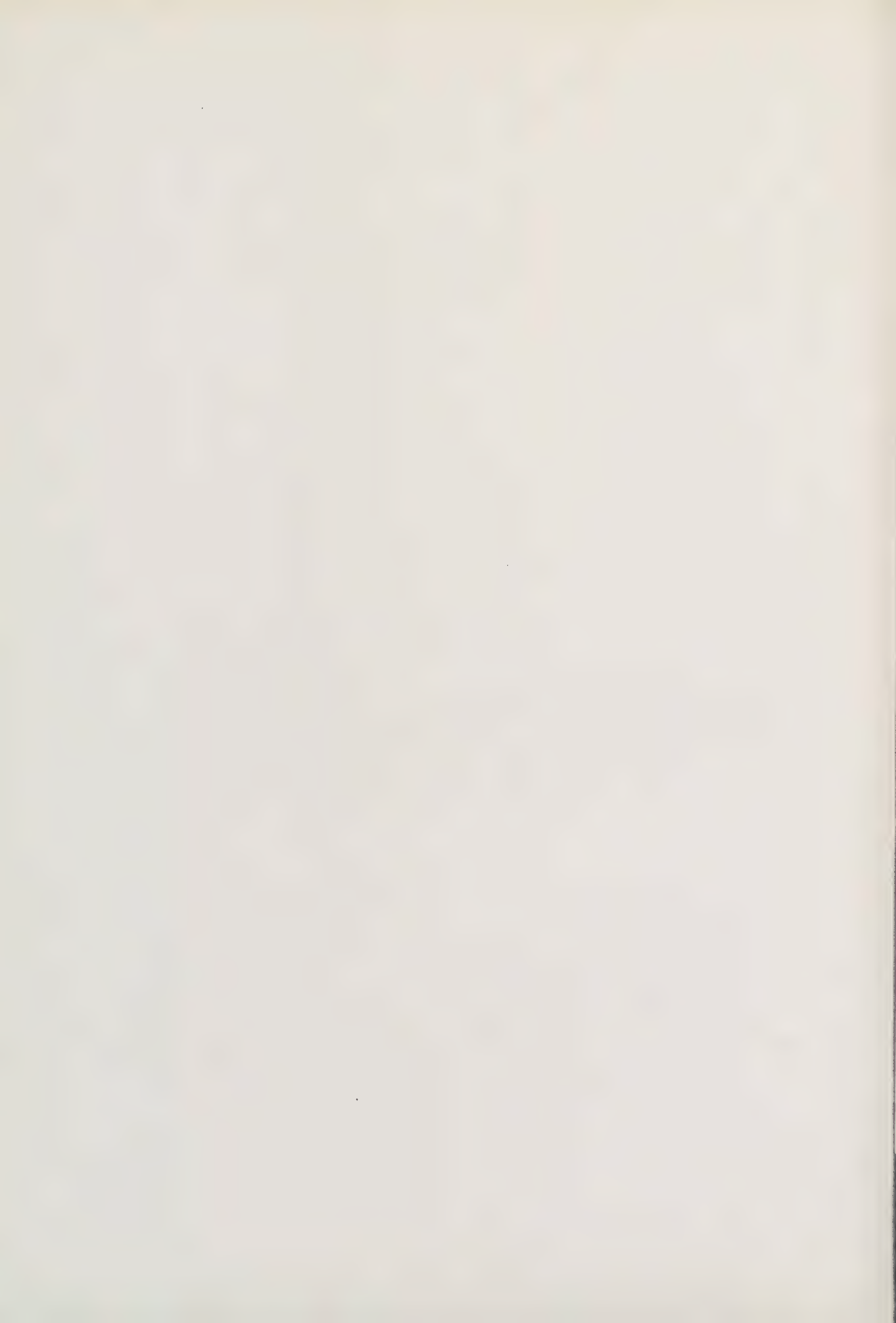
1	2	3	4	5	6	7	8	9	10	11	12	13	14	15	16	17	18	19	20	21	22	23	24	25	26	27	28	29	30	31	32	33	34	35	36	37	38	39	40	41	42	43	44	45	46	47	48	49	50	51	52	53	54	55	56	57	58	59	60	61	62	63	64	65	66	67	68	69	70	71	72	73	74	75	76	77	78	79	80	81	82	83	84	85	86	87	88	89	90	91	92	93	94	95	96	97	98	99	100
---	---	---	---	---	---	---	---	---	----	----	----	----	----	----	----	----	----	----	----	----	----	----	----	----	----	----	----	----	----	----	----	----	----	----	----	----	----	----	----	----	----	----	----	----	----	----	----	----	----	----	----	----	----	----	----	----	----	----	----	----	----	----	----	----	----	----	----	----	----	----	----	----	----	----	----	----	----	----	----	----	----	----	----	----	----	----	----	----	----	----	----	----	----	----	----	----	----	----	-----



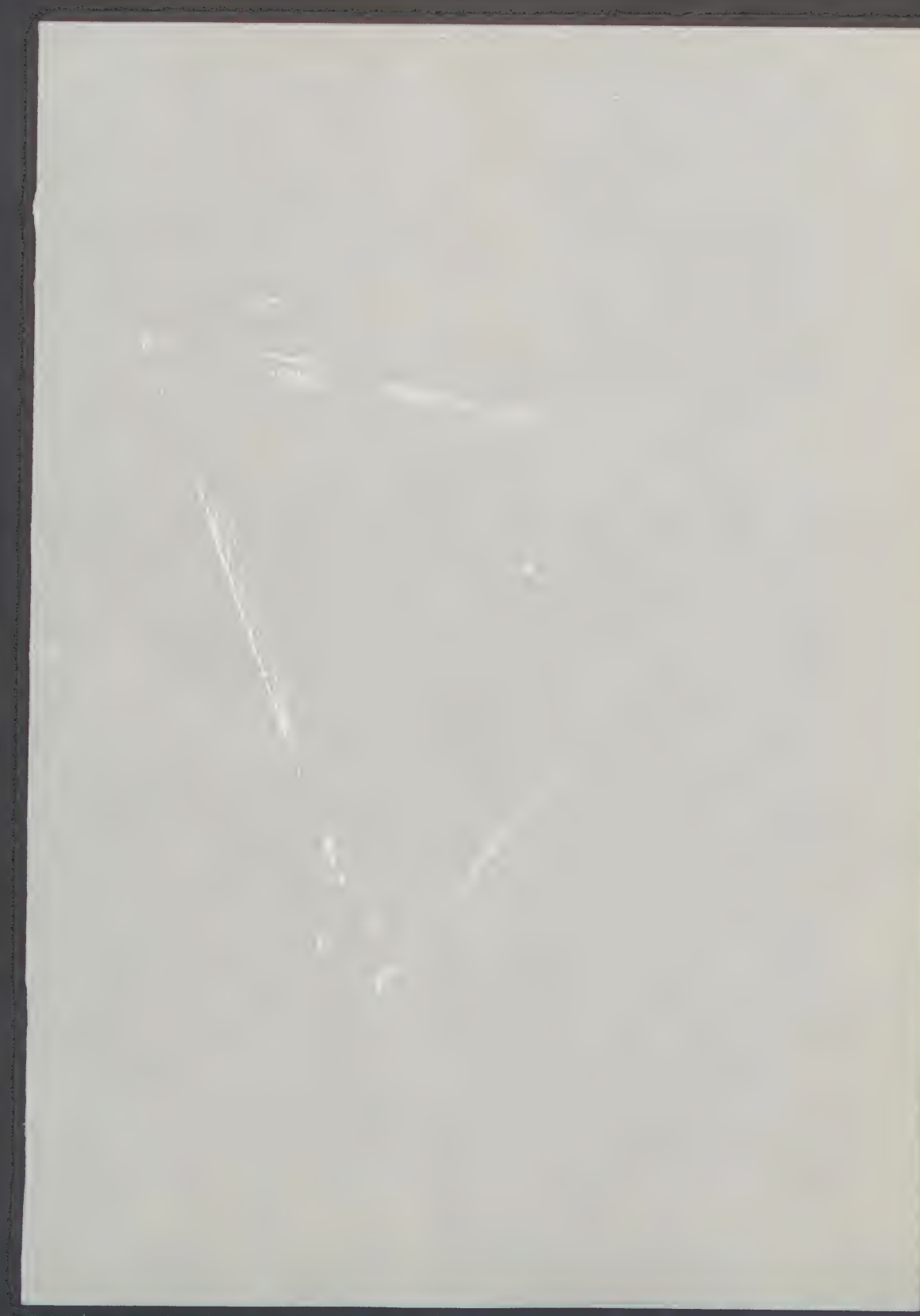


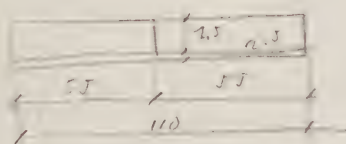
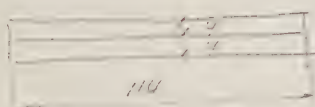
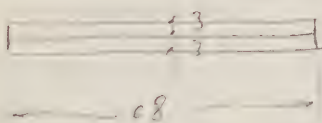
Seções cônicas (3)

4 RUMBLE DIANO W









27

1895. 10. 10. 11. 12. 13. 14. 15. 16. 17. 18. 19. 20. 21. 22. 23. 24. 25. 26. 27. 28. 29. 30. 31.

Chamaeleon *frankii* *mauricio*

Polonium *curie* *pentagon* *Ap.*

Chelonia mydas holbrooki (L.) 40 (21)

W. A. Anderson (8) 12 (a)

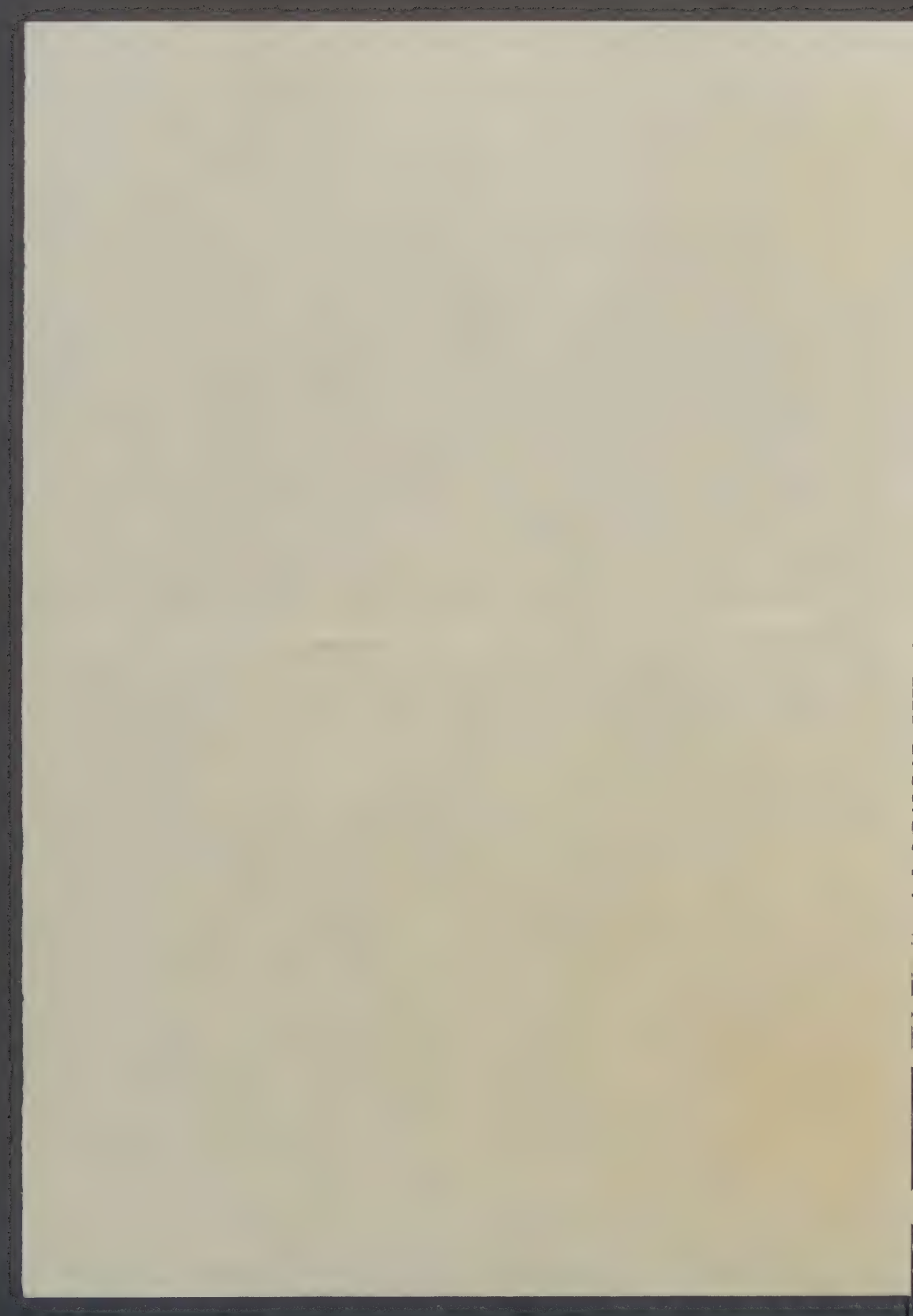
| X (1) | $u(u)$ | X (2) | $u(u)$ | X (3) | $u(u)$ | X (4) | $u(u)$ |
|------------------|--------|------------------|--------|------------------|--------|------------------|--------|
| 59 | | 99 | | | | 10 | |
| 12 | | 5 | | | | | |
| 5 | | 8 | | | | | |
| 0 | | 6 | | | | | |
| 9 | | 9 | | | | | |
| 9 | | 7 | | | | | |
| 7 | | 9 | | | | | |
| 0 | | 99 | | | | | |
| | | 12 | | | | | |
| | | 10 | | | | | |
| | | 1 | | | | | |
| | | 1 | | | | | |

St. John's - 10/10/18 - 10/10/18

St. John's - 10/10/18 - 10/10/18

11

11





$$M_{10} = 115.0000000$$

$$f_{10} = \frac{M_{10}}{S} = 115.0000000$$

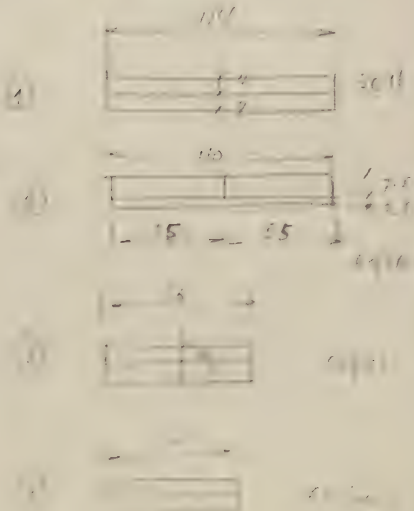
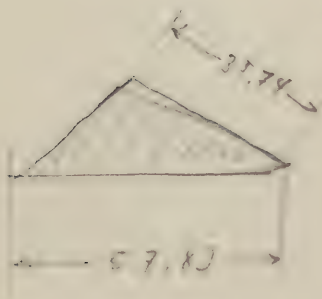
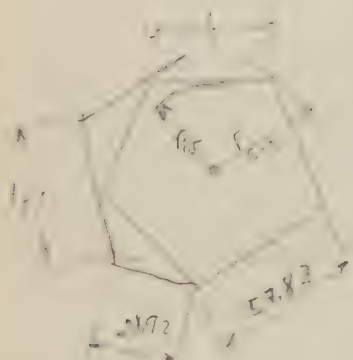
$$r_{10} = 0.850650808 \times f_{10} = 49.19349580$$

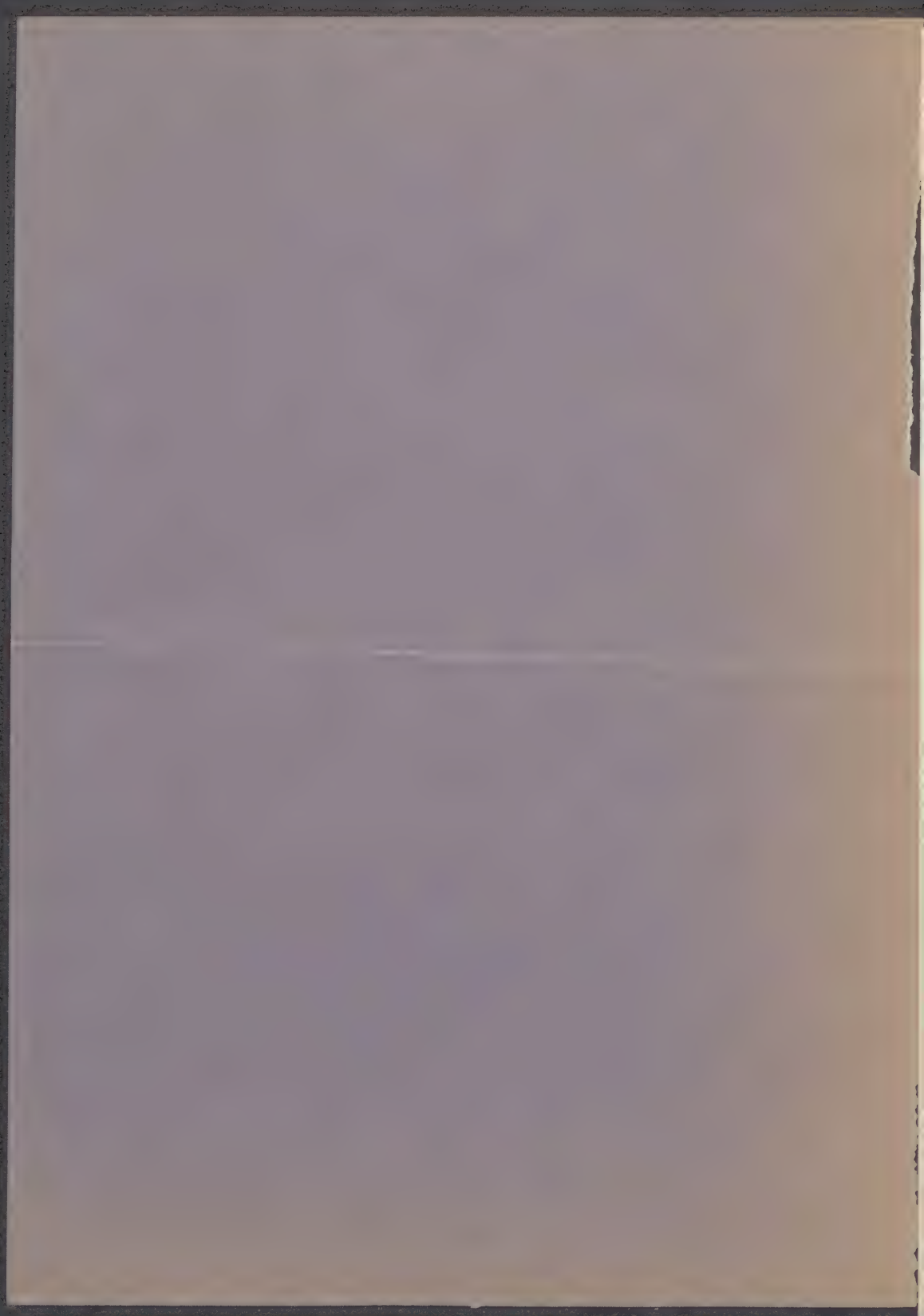
$$r_{15} = 0.688190960 \times f_{15} = 29.79807412$$

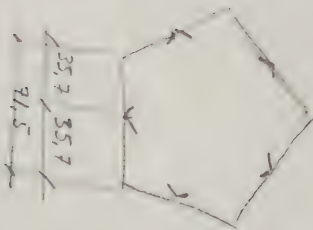
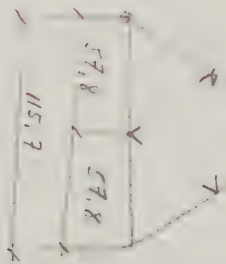
$$L_{15} = \frac{1}{0.688190960} r_{15}$$

$$= 43.20000000$$

$$\frac{L_{15}}{2} = 21.60000000$$







26.5
26.1
58.5

35.7
91.5
35.7

ESTRUCTURAS

EISENBETON

JAIME BALMES - VILLA SAN PABLO

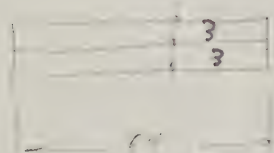
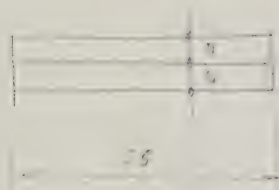
TFNO. 25 03 79

SEVILLA

SU REF.:

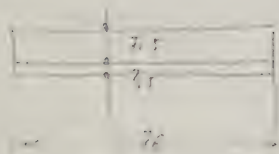
N. REF.:

SEVILLA



5. $\text{poly } X \cong \text{poly } Y$ (10)
 if and only if

esperar 3 m. y



2nd / 1st / 2nd

ESTRUCTURAS EISENBETON

JAIME BALMES - VILLA SAN PABLO
TFNO. 25 03 79
SEVILLA

Sólidos derivados del dodecaedro e icosaedro regulares convexos conjugados por sus aristas, representados en la lámina # 18

CÁLCULOS ANALÍTICOS

DATO: r_{ec}^{20} = Radio de la esfera circunscrita al icosaedro regular convexo = 110 mm.

$$1) \quad a_{20} = \text{Arista del icosaedro regular convexo} = \frac{4}{\sqrt{10 + 2\sqrt{5}}} r_{ec}^{20} =$$

$$= 2 \sqrt{\frac{5 - \sqrt{5}}{10}} r_{ec}^{20} = 1,051462224... \times 110 = \underline{115,6608446...}$$

$$a_{20} \approx 115,66 \text{ mm}$$

2) l_5 = Lado del triángulo equilátero, inscrito en una cara del icosaedro regular convexo (fig. 1) = $\frac{a_{20}}{2}$

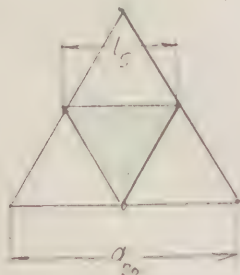


Fig. 1

$$l_5 = \frac{a_{20}}{2} = \underline{57,8304223}$$

$$l_5 \approx 57,83 \text{ mm}$$

3) r_{c-5} = Radio de la circunferencia circunscrita al pentágono regular convexo de lado l_5 (fig. 2)



Figura 2

$$r_{c-5} = \sqrt{\frac{5 + \sqrt{5}}{10}} l_5 = 0,850650808... \times l_5 = \frac{\sqrt{5}}{5} r_{ec}^{20} =$$

$$= 0,447213595... \times 110 = \underline{49,19449549...}$$

$$r_{c-5} \approx 49,19 \text{ mm}$$

- 4) $\underline{r_{i-5}}$ = Radio de la circunferencia inscrita al pentágono regular convexo de lado l_5 (fig. 2)

$$\underline{r_{i-5}} = \frac{\sqrt{5+2\sqrt{5}}}{20} l_5 = \frac{\sqrt{5+2\sqrt{5}}}{20} \cdot \frac{\sqrt{5-\sqrt{5}}}{10} \cdot r_{ec}^{20} =$$

$$= \frac{\sqrt{3+\sqrt{5}}}{40} \cdot 110 = \underline{39.79837387...}$$

$$\underline{r_{i-5} \approx 39.80 \text{ mm}}$$

- 5) $\underline{l_5^I}$ = Lado del pentágono regular convexo, cuya circunferencia inscrita tiene por radio r_{c-5} (Fig. 3).

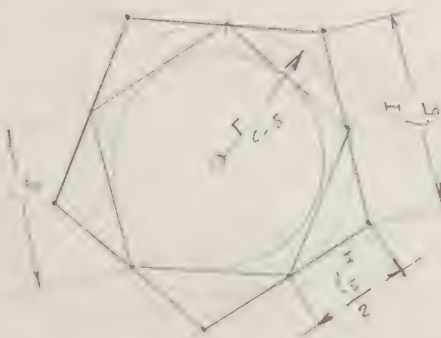


Figura 3

o sea

$$r_{c-5} = \frac{\sqrt{5+2\sqrt{5}}}{20} l_5^I \quad \text{de donde:}$$

$$\underline{l_5^I} = \frac{r_{c-5}}{\frac{\sqrt{5+2\sqrt{5}}}{20}} = \frac{\frac{\sqrt{5}}{5}}{\frac{\sqrt{5+2\sqrt{5}}}{20}} r_{ec}^{20} = 2 \sqrt{\frac{5-2\sqrt{5}}{5}} r_{ec}^{20}$$

$$= 0.649839393... \times 110 = \underline{71.4823323...}$$

$$\underline{l_5^I \approx 71.48 \text{ mm}}$$

- 6) Semilado del pentágono anterior (Fig. 3) : $\frac{l_5^I}{2}$

$$\frac{l_5^I}{2} = \frac{2 \sqrt{\frac{5-2\sqrt{5}}{5}}}{2} r_{ec}^{20} = \sqrt{\frac{5-2\sqrt{5}}{5}} \times 110 = \underline{35.74116662...}$$

$$\underline{l_5^I : 2 \approx 35.74 \text{ mm}}$$



- 7) Γ_{c-5}^I = Radio de la circunferencia circunscrita al pentágono acutángulo convexo de lado l_5

$$\Gamma_{c-5}^I = \sqrt{\frac{5 + \sqrt{5}}{10}} \quad l_5^I = \sqrt{\frac{5 - \sqrt{5}}{10}} \times 2 \sqrt{\frac{5 - 2\sqrt{5}}{5}} \times \Gamma_{ec}^{20} =$$

$$= \sqrt{\frac{2(3 - \sqrt{5})}{5}} \Gamma_{ec}^{20} = 0,552786405... \times 110 = \underline{60,80650452...}$$

$$\Gamma_{c-5}^I \approx 60,81 \text{ mm}$$

- 8) q_{IV} = Arista del Arquimédiano IV = $l_5 = \underline{57,8304223... \text{ mm}}$

- 9) Γ_{ec}^{IV} = Radio de la esfera circunscrita al Arquimédiano IV

$$\Gamma_{ec}^{IV} = \frac{\sqrt{5} + 1}{2} q_{IV} = 1,618033989... \times 57,8304223 =$$

$$= \underline{93,57158888... \text{ mm}}$$

$$\Gamma_{ec}^{IV} \approx 93,57 \text{ mm}$$

- 10) Γ_{et}^{20} = Radio de la esfera tangente a las aristas del icosaedro regular convexo de arista $a_{20} = 115,6608446...$

$$\Gamma_{et}^{20} = \frac{1 + \sqrt{5}}{4} a_{20} = 0,809016994... \times 115,66084466 = \underline{93,57158888}$$

de donde

$$\Gamma_{et}^{20} = \Gamma_{ec}^{IV}$$



11) $r_{e-t(3)}^{IV}$ Radio de la esfera tangente a las caras triangulares del Arquimediario IV, de arista $a_{IV} = 57,83\ 04\ 22\ 3...$

$$r_{e-t(3)}^{IV} = \frac{3\sqrt{3} + \sqrt{15}}{6} a_{IV} = 1,51\ 15\ 22\ 52\ 8... \times 57,83\ 04\ 22\ 3... =$$

$$= 87,41\ 19\ 91\ 89...$$

$$r_{e-t(3)}^{IV} \approx 87,41\ mm$$

12) r_{e-t}^{20} Radio de la esfera tangente a las caras del icosaedro regular-convexo de arista $a_{20} = 115,66\ 08\ 44\ 6...$

$$r_{e-t}^{20} = \frac{3\sqrt{3} + \sqrt{15}}{12} \times a_{20} = 0,75\ 57\ 61\ 31\ 4... \times 115,66\ 08\ 44\ 6... =$$

$$= 87,41\ 19\ 91\ 89... mm$$

de donde

$$r_{e-t(3)}^{IV} = r_{e-t}^{20}$$

13) $r_{e-t(5)}^{IV}$ Radio de la esfera tangente a las caras pentagonales del Arquimediario IV, de arista $a_{IV} = 57,83\ 04\ 22\ 3...$

$$r_{e-t(5)}^{IV} = \sqrt{\frac{5+2\sqrt{5}}{5}} \times a_{IV} = 1,37\ 63\ 81\ 92\ 0... \times 57,83\ 04\ 22\ 3... =$$

$$= 79,59\ 67\ 47\ 68...$$

$$r_{e-t(5)}^{IV} \approx 79,60\ mm$$

16) a_{12} = Arista del dodecaedro regular convexo, en el que el radio de su esfera inscrita es de $r_{c-i}^{12} = r_{c-i}^{TV}$ o sea el del radio de la esfera tangente a las caras pentagonales del Arquimedeano TV, de arista $a_{14} = 57,8304223... \text{ mm}$.

$$\underline{a_{12}} = \frac{1}{\sqrt{\frac{35 + 11\sqrt{5}}{40}}} \times a_{14} = 0,898055954... \times 57,8304223...$$

$$= \underline{71,4823322...} \quad \text{de donde}$$

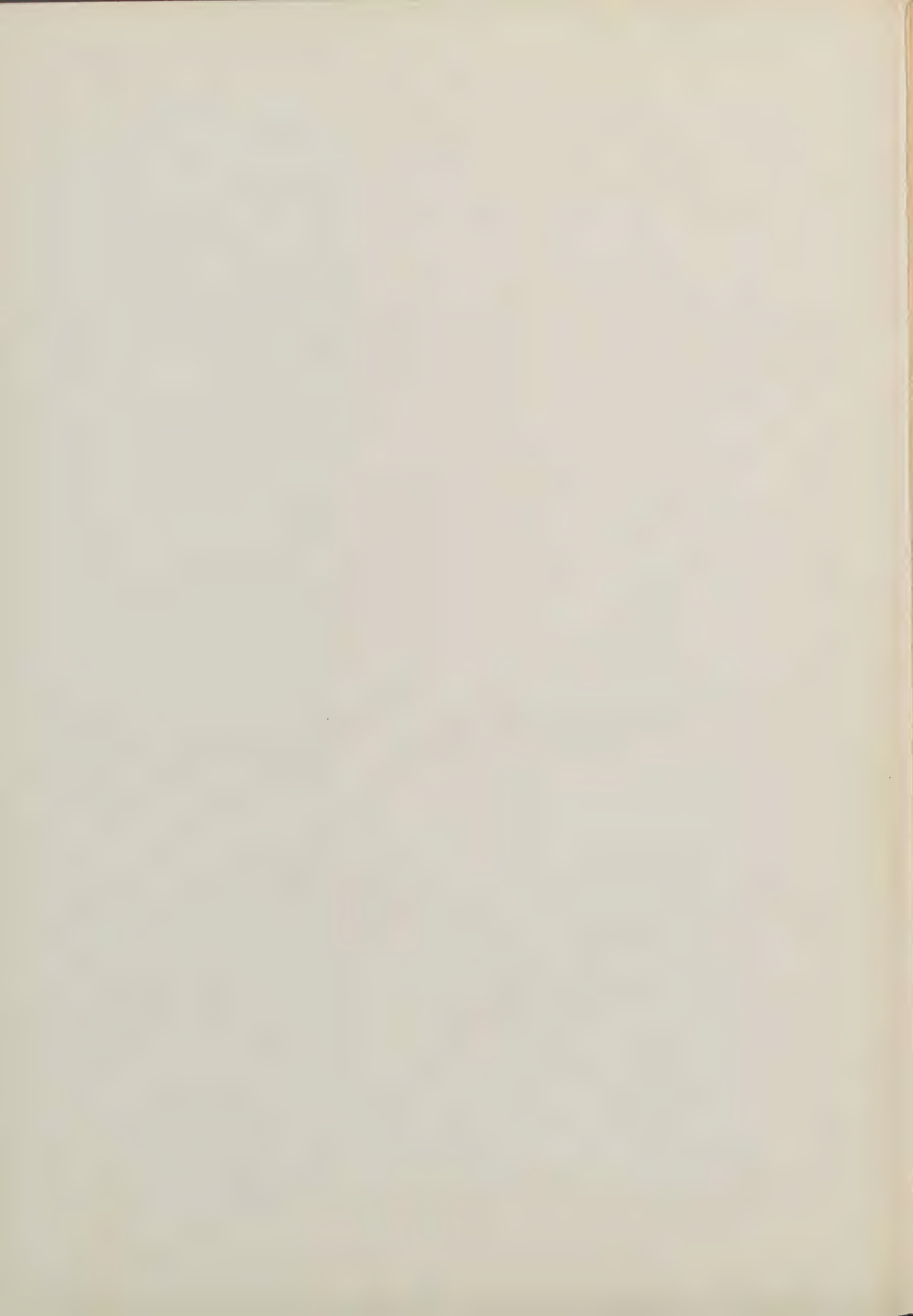
$$a_{12} \approx 71,48 \text{ mm}$$

$$a_{12} = l_5^I$$

POLIEDROS

REGULARES

Constantes numéricas



lados de los polígonos regulares inscritos en una es.
 para el radio $r_c = 110$ mm.

$$179,6 \text{ mm} \quad a_{11} = \frac{2\sqrt{2}}{3} \times 110 = 1,632992152 \times 110 = 179,6290478$$

$$127, \text{ " } \quad a_{10} = \frac{2\sqrt{3}}{3} \times 110 = 1,547005299 \times 110 = 127,0170593$$

$$155,6 \text{ " } \quad a_8 = \sqrt{2} \times 110 = 1,414213562 \times 110 = 155,5634918$$

$$78,5 \text{ " } \quad a_{12} = \frac{\sqrt{15} - \sqrt{3}}{3} \times 110 = 0,7136479 \times 110 = 78,5012769$$

$$115,7 \text{ " } \quad a_{14} = 2 \sqrt{\frac{5-\sqrt{5}}{10}} \times 110 = 1,051462224 \times 110 = 115,6608446$$

Curso resumen de cálculo de magnitudes en los cinco poliedros regulares convexos

| 1. TETRAEDRO $n = 4$ | | | 2. EXAEDRO $n = 6$ | | | 3. OCTAEDRO | | | 4. DODECAEDRO | | | 5. ICOSAEDRO | | |
|--|--|--|--|--|--|-----------------------------|--|---|---|--|---|--|--|---|
| Magnitud | Valor exacto | Valor decimal aproximado | Magnitud | Valor exacto | Valor decimal aproximado | Magnitud | Valor exacto | Valor decimal aproximado | Magnitud | Valor exacto | Valor decimal aproximado | Magnitud | Valor exacto | Valor decimal aproximado |
| $r_{ec}^n \rightarrow a$
r_{ec}^4 | $\frac{\sqrt{6}}{4} l$ | $0.61\ 23\ 72 \dots l$ | a
r_{ec}^6 | $\frac{\sqrt{3}}{2} l$ | $0.86\ 60\ 25 \dots l$ | a | $\frac{\sqrt{2}}{2} l$ | $0.70\ 71\ 07 \dots l$ | a | $\frac{\sqrt{15} + \sqrt{3}}{4} l$ | $1.40\ 12\ 59 \dots l$ | a | $\frac{\sqrt{10} + 2\sqrt{5}}{4} l$ | $0.95\ 10\ 57 \dots l$ |
| $r_{el}^n \rightarrow b$
r_{el}^4 | $\frac{\sqrt{2}}{4} l$ | $0.35\ 35\ 53 \dots l$ | b | $\frac{\sqrt{2}}{2} l$ | $0.70\ 71\ 07 \dots l$ | b | $\frac{1}{2} l$ | $0.50\ 00\ 00 \dots l$ | b | $\frac{3 + \sqrt{5}}{4} l$ | $1.30\ 90\ 17 \dots l$ | b | $\frac{1 + \sqrt{5}}{4} l$ | $0.80\ 90\ 17 \dots l$ |
| $r_{el}^n \rightarrow c$
r_{el}^4 | $\frac{\sqrt{6}}{12} l$ | $0.20\ 41\ 24 \dots l$ | c | $\frac{1}{2} l$ | $0.50\ 00\ 00 \dots l$ | c | $\frac{\sqrt{6}}{6} l$ | $0.40\ 82\ 48 \dots l$ | c | $\sqrt{\frac{25 + 11\sqrt{5}}{40}} l$ | $1.11\ 35\ 16 \dots l$ | c | $\frac{3\sqrt{3} + \sqrt{15}}{12} l$ | $0.75\ 59\ 61 \dots l$ |
| $r_{el}^n \rightarrow d$
r_{el}^4 | $\frac{\sqrt{3}}{3} l$ | $0.57\ 73\ 50 \dots l$ | d | $\frac{\sqrt{2}}{2} l$ | $0.70\ 71\ 07 \dots l$ | d | $\frac{\sqrt{3}}{3} l$ | $0.57\ 73\ 50 \dots l$ | d | $\sqrt{\frac{5 + \sqrt{5}}{10}} l$ | $0.85\ 06\ 51 \dots l$ | d | $\frac{\sqrt{3}}{3} l$ | $0.57\ 73\ 50 \dots l$ |
| φ_n | 2φ
$\text{sen } \varphi = \frac{\sqrt{3}}{3}$ | $0.57\ 73\ 50$
$2\varphi = 70^\circ\ 31'\ 43.4''$ | 2φ | $\text{sen } \varphi = \frac{\sqrt{2}}{2}$ | $0.70\ 71\ 07 \dots l$
$2\varphi = 90^\circ\ 00'\ 00''$ | 2φ | $\text{sen } \varphi = \frac{\sqrt{6}}{3}$ | $0.81\ 64\ 97 \dots l$
$2\varphi = 109^\circ\ 28'\ 16.6''$ | 2φ | $\text{sen } \varphi = \sqrt{\frac{5 + \sqrt{5}}{10}}$ | $0.85\ 06\ 51 \dots l$
$2\varphi = 116^\circ\ 33'\ 54.2''$ | 2φ | $\text{sen } \varphi = \frac{\sqrt{15} + \sqrt{3}}{6}$ | $0.93\ 41\ 72 \dots l$
$2\varphi = 138^\circ\ 11'\ 12.8''$ |
| | - | - | - | - | - | - | - | - | e | $\sqrt{\frac{5 + 4\sqrt{5}}{5}} l$ | $1.37\ 53\ 82 \dots l$ | e | $\sqrt{\frac{5 + \sqrt{5}}{10}} l$ | $0.85\ 06\ 51 \dots l$ |
| | - | - | - | - | - | - | - | - | f | $\sqrt{\frac{5 - \sqrt{5}}{10}} l$ | $0.52\ 57\ 31 \dots l$ | f | $\sqrt{\frac{5 + \sqrt{5}}{10}} l$ | $0.85\ 06\ 51 \dots l$ |
| | - | - | - | - | - | - | - | - | g | $\sqrt{\frac{5 + \sqrt{5}}{10}} l$ | $0.85\ 06\ 51 \dots l$ | g | $\sqrt{\frac{5 - \sqrt{5}}{10}} l$ | $0.52\ 57\ 31 \dots l$ |
| | h | $\frac{\sqrt{6}}{3} l$ | h | $1 l$ | $1.00\ 00\ 00 \dots l$ | - | - | - | - | - | - | h | $\sqrt{\frac{5 + 2\sqrt{5}}{20}} l$ | $0.69\ 01\ 31 \dots l$ |
| | - | - | - | - | - | - | - | - | i | $\sqrt{\frac{5 + \sqrt{5}}{10}} l$ | $0.85\ 06\ 51 \dots l$ | i | $\sqrt{\frac{5 - \sqrt{5}}{10}} l$ | $0.52\ 57\ 31 \dots l$ |
| r_{l3} | k | $\frac{\sqrt{3}}{6} l$ | k | $\frac{1}{2} l$ | $0.50\ 00\ 00 \dots l$ | k | $\frac{\sqrt{3}}{6} l$ | $0.28\ 86\ 75 \dots l$ | k | $\sqrt{\frac{5 + 2\sqrt{5}}{20}} l$ | $0.68\ 81\ 91 \dots l$ | k | $\frac{\sqrt{3}}{6} l$ | $0.28\ 86\ 75 \dots l$ |
| s_n | S | $\sqrt{3} l^2$ | S | $6 l^2$ | $6.00\ 00\ 00 \dots l^2$ | S | $2\sqrt{3} l^2$ | $3.46\ 41\ 02 \dots l^2$ | S | $3\sqrt{\frac{25 + 10\sqrt{5}}{4}} l^2$ | $20.64\ 57\ 29 \dots l^2$ | S | $5\sqrt{3} l^2$ | $8.66\ 02\ 54 \dots l^2$ |
| v_n | V | $\frac{\sqrt{2}}{12} l^3$ | V | $1 l^3$ | $1.00\ 00\ 00 \dots l^3$ | V | $\frac{\sqrt{2}}{3} l^3$ | $0.47\ 14\ 05 \dots l^3$ | V | $\frac{7\sqrt{5} + 15}{4} l^3$ | $7.66\ 31\ 19 \dots l^3$ | V | $\frac{15 + 5\sqrt{5}}{12} l^3$ | $2.18\ 16\ 95 \dots l^3$ |
| Relaciones entre magnitudes | | | Relaciones entre magnitudes | | | Relaciones entre magnitudes | | | Relaciones entre magnitudes | | | Relaciones entre magnitudes | | |
| $h = a + c$
$a = 3c$
$h = \frac{4}{3} a$
$h = 4c$
$d = 2k$ | | | $c = k$
$b = d$
$h = 2k$
$h = 2k$ | | | $d = 2k$
$l = 2b$ | | | $e = 2k$
$d = g = i$
$g + f = 2k$ | | | $g = i$
$2k = d$
$e = f$
$g + f = 2h$ | | |

ICOSAEDRO REGULAR.- $C=20$; $V=12$; $A=30$

20 triángulos equiláteros de 30 mm. de lado

$$\text{Radio de la esfera circunscrita} = r_1 = \frac{\sqrt{10+5\sqrt{5}}}{4} l_{20} =$$

$$0,251057... l_{20} = 76,085 \text{ mm.}$$

$$\text{Ángulo diedro de dos caras consecutivas} = 138^\circ 11' 29,75''$$

DODECAEDRO REGULAR.- $C=12$; $V=20$; $A=30$

12 pentágonos regulares de 54,3 mm. de lado.

$$\text{Radio de la esfera circunscrita} = r_1 = \frac{\sqrt{15+\sqrt{3}}}{4} l_{12} =$$

$$1,401259... l_{12} = 76,1 \text{ mm.}$$

$$\text{Ángulo diedro de dos caras consecutivas} = 116^\circ 33' 54,3''$$

OCTAEDRO REGULAR.- $C=8$; $V=6$; $A=12$

8 triángulos equiláteros de 107,6 mm de lado

$$\text{Radio de la esfera circunscrita} = r_1 = \frac{\sqrt{2}}{2} l_8 =$$

$$= 0,707105... l_8 = 76,1 \text{ mm}$$

$$\text{Ángulo diedro de dos caras consecutivas} = 109^\circ 28' 16,4''$$

EXAEDRO REGULAR.- $C=6$; $V=8$; $A=12$

6 cuadrados de 87,9 mm de lado

$$\text{Radio de la esfera circunscrita} = \frac{\sqrt{3}}{2} l_6 =$$

$$= 0,866025... l_6 = 76,1 \text{ mm}$$

$$\text{Ángulo diedro de dos caras consecutivas} = 90^\circ$$

TETRAEDRO REGULAR.- $C=4$; $V=4$; $A=6$

4 triángulos equiláteros de 124,3 mm de lado

$$\text{Radio de la esfera circunscrita} = \frac{\sqrt{6}}{4} l_4 =$$

$$= 0,612372... l_4 = 76,1 \text{ mm.}$$

$$\text{Ángulo diedro de dos caras} = 70^\circ 31' 43,6''$$

Los valores de los diedros del octaedro y tetraedro regulares, son suplementarios:

$$\begin{array}{r} 109^\circ 28' 16,4'' \\ + 70^\circ 31' 43,6'' \\ \hline 180^\circ \end{array}$$

colorchecker classic



calibrite